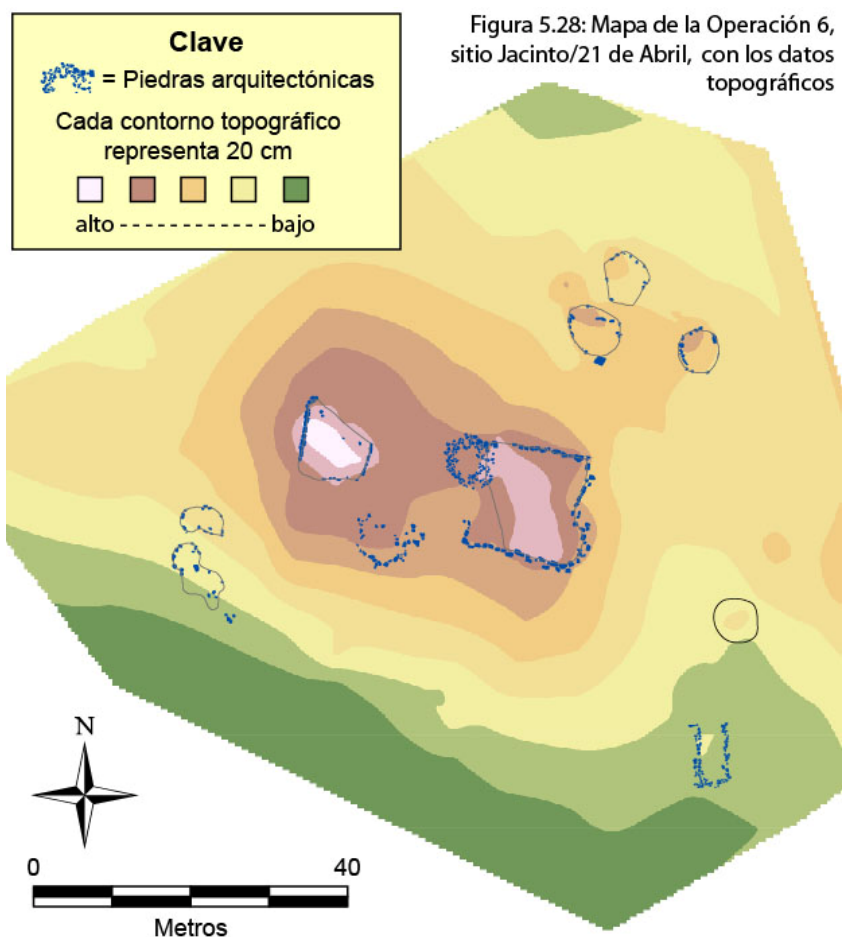


Proyecto Arqueológico *Sacbé* de Ucí/Cansahcab (PASUC)
Tercera temporada de campo

Informe Técnico Anual al Consejo de Arqueología del
Instituto Nacional de Antropología e Historia

Diciembre 2010



Dr. Scott R. Hutson
Departamento de Antropología
Universidad de Kentucky
Lexington, KY 40506-0024
scotthutson@uky.edu

Con contribuciones de Rocío Elizabeth Flores Pech y Iliana Ancona Aragón

Contenido

Agradecimientos.....	4
Lista de figuras.....	5
Capítulo 1: Introducción.....	9
Capítulo 2: Métodos	15
Capítulo 3: Excavaciones en Ticopó-2 (Motul 10-UK).....	18
Operación 1.....	20
Operación 2.....	25
Operación 3.....	27
Operación 4.....	38
Capítulo 4: Excavaciones en Santa Teresa (16Q-d(5):71).....	47
Operación 1.....	49
Operación 2.....	64
Operación 3.....	67
Operación 4.....	69
Operación 5.....	73
Capítulo 5: Excavaciones en Jacinto/21 de Abril (Motul 4-UK).....	77
Operación 1.....	78
Operación 2.....	88
Operación 3/4.....	90
Operación 5.....	91
Operación 6.....	98
Operación 7.....	105

Operación 8.....	106
Operación 9.....	109
Capítulo 6: Conclusiones.....	112
Apéndice A: Cerámica.....	115
Apéndice B: Otros artefactos.....	145
Bibliografía.....	146

Agradecimientos

Agradecemos a la Fundación Wenner Gren para los fondos y al Consejo de Arqueología para el permiso para llevar a cabo la temporada de campo. En Ucí, agradecemos a Don Damian Chim, el comisario municipal, y Don Alfonso Pech Chan el comisario ejidal, para su ayuda durante todas las etapas del proyecto. En Kini, agradecemos a Don Tomas Pool, el comisario ejidal, para permitir a nosotros entrar y trabajar dentro de los terrenos ejidales de Kini. En Motul, Agradecemos a Arcadio Camayo Angelo, el comisario ejidal, y su secretaria, don Pascual Pinto Escobedo para permitirnos trabajar in el sitio de Santa Teresa. También agradecemos a Don Jacinto Herrera y Don Raimundo Chan para permitirnos trabajas en sus terrenos, donde se encuentran porciones del sitio Jacinto/21 de Abril. En la Facultad de Antropología, UADY, agradecemos a Socorro Jiménez Álvarez para su apoyo en el análisis cerámico. Finalmente, agradecemos a todos los trabajadores que nos ayudaron durante la temporada de campo de 2010: Felipe Tec Euan (Kancabal), Iginio Tec Cham, Marcelino Leon Ichim, Felipe May, Ambrosio May Ku, Ildefonso Tec Noh, Juan Manuel Tec, Augusto Herrera, Wilber Cetz, Maximiliano Tec Tamay, Eligio Keh Kam, Gabriel Cetz Kam, Henry Abam Balam, Luiser Abam Balam, Jacinto Herrera, y Galvin Maciel Amaro Kan Herrera.

Figuras

Capítulo 1

Figura 1.1: Mapa de la región de Ucí mostrando los sitios que recibieron excavación en 2010

Capítulo 3

Figura 3.1: mapa del sitio de Ticopo-2

Figura 3.2: Croquis de la estructura T158, operación 1, Ticopó-2.

Figura 3.3: Foto del lado norte de la estructura T158, mirando al sur.

Figura 3.4: Foto del lado oeste de la estructura T158, mirando al este. Se ve que la parte norte (a la izquierda) de la estructura es más alta que la parte sur.

Figura 3.5: Foto del pozo A, operación 1, Ticopó-2

Figura 3.6: Perfil sur del pozo A, operación 1, Ticopó-2.

Figura 3.7: Mapa de las estructuras T205 y T206, operación 2

Figura 3.8: Foto del lado este la estructura T206, mirando al oeste.

Figura 3.9: Foto de la esquina sureste de la estructura T205, mirando al noroeste

Figura 3.10: Mapa de las estructuras T202, T203, T203a y T207, operación 3

Figura 3.11: Foto del lado oeste de la estructura T203, mirando al norte

Figura 3.12: Foto de la extensión al norte de la estructura T203, mirando al sur

Figura 3.13: Los dos metates de la estructura T203: m1 (a la izquierda) y m2 (a la derecha)

Figura 3.14: La estructura T202, mirando al noroeste

Figura 3.15: Operación 3, Pozo A, mirando al norte

Figura 3.16: Operación 3, Pozo A, mirando al este

Figura 3.17: Operación 3, Pozo B, mirando al este

Figura 3.18: Operación 3, Pozo B, perfil del muro este

Figura 3.19: Operación 3, Pozo C, mirando al norte

Figura 3.20: Operación 3, Pozo C, perfil del muro norte

Figura 3.21: Operación 3, Pozo C, fragmento de obsidiana

Figura 3.22: Operación 3, Pozo D, perfil del muro sur

Figura 3.23: Operación 3, Pozo D, mirando al noroeste.

Figura 3.24: Operación 3, Pozo E, mirando al norte.

Figura 3.25: Operación 3, Pozo E, perfil del muro norte

Figura 3.26: Mapa de la estructura T180 y los pozos de Operación 4.

Figura 3.27: Foto de la estructura T180, lado norte, mirando al oeste

Figura 3.28: Operación 4, Pozo A, mirando al oeste

Figura 3.29: Operación 4, Pozo A, perfil oeste

Figura 3.30: Metate al suroeste de la estructura T180

Figura 3.31: Operación 4, Pozo B, mirando al sur

Figura 3.32: Operación 4, Pozo B, perfil sur

Figura 3.33: Obsidiana de la Operación 4, Pozo B

Figura 3.34: Operación 4, Pozo C, mirando al oeste

Figura 3.35: Operación 4, Pozo C, perfil norte

Figura 3.36: Operación 4, Pozo D, mirando al suroeste

Figura 3.37: Operación 4, Pozo D, perfil

Capítulo 4

Figura 4.1: Mapa topográfico de una porción del sitio Santa Teresa, mostrando las ubicaciones de las operaciones y los nombres de las estructuras

Figura 4.2: Callejón del juego de pelota del sitio 16Q-d(5):71, Santa Teresa, mirando al sur

Figura 4.3: Foto de la Estructura 8a, mirando al este y mostrando dos técnicas constructivas

Figura 4.4: Foto del lado oeste de la Estructura 8a, mirando al sur y mostrando el cambio de inclinación.

Figura 4.5: Mapa de las estructuras 8a y 8b con la ubicación de los pozos de prueba

Figura 4.6: Operación 1, Pozo A, perfil del muro norte

Figura 4.7: Operación 1, Pozo A, fondo con roca madre y lajas.

Figura 4.8: Operación 1, Pozo B, perfil del muro sur

Figura 4.9: Operación 1, Pozo B, fondo con roca madre y piedras planas.

Figura 4.10: Operación 1, Pozo C, mirando al oeste.

Figura 4.11: Operación 1, Pozo C, perfil del muro sur

Figura 4.12: Operación 1, Pozo D, mirando al norte.

Figura 4.13: Operación 1, Pozo E, perfil del muro norte.

Figura 4.13b: Densidad de cerámica distribuida por el juego de pelota

Figura 4.14: Operación 1, Pozo F, perfil del muro sur

Figura 4.15: Operación 1, Pozo F, mirando al sur

Figura 4.16: Operación 1, Pozo G, perfil del muro este

Figura 4.17: Operación 1, Pozo H, perfil del muro norte

Figura 4.18: Mapa de la Operación 2, Santa Teresa, estructuras 28a y 28b

Figura 4.19: Operación 2, Pozo A, perfil del muro norte

Figura 4.20: Operación 2, Pozo A, mirando al norte

Figura 4.21: Mapa de la Operación 3, Santa Teresa, estructura 15

Figura 4.22: Foto de la estructura 15, lado norte, mirando al sur

Figura 4.23: Operación 3, pozo A, perfil del muro sur

Figura 4.24: Operación 3, pozo A,

Figura 4.25: Mapa de la Operación 4, Santa Teresa, estructuras 27a y 27b

Figura 4.26: Operación 4, estructura 27a, muro norte con piedras megalíticas, mirando al este.

Figura 4.27: Estructura 27b, muro megalítico, mirando al norte

Figura 4.28: Operación 4, Pozo A, mirando al noroeste

Figura 4.28a: Operación 4, Pozo A, perfil del muro sureste.

Figura 4.29: Mapa de la Operación 5, Santa Teresa, estructuras 7a, 7b, y 7c

Figura 4.30: Foto de la estructura 7b (a la derecha), lado norte, mirando al este. Se ve el pozo A (Op. 5) llenado después de excavación

Figura 4.31: Operación 5, pozo A, perfil del muro norte

Figura 4.32: Operación 5, Pozo A, mirando al sur

Capítulo 5

Figura 5.1 Mapa del sitio de 21 de Abril (Jacinto) mostrando la colocación de las operaciones.

Figura 5.2: Mapa del conjunto arquitectónico de la operación 1, 21 de Abril

Figura 5.3: Mapa de la operación 1 mostrando la topografía y ubicación de Pozos A y B

Figura 5.4: Lado sur de la estructura 38s14, sitio 21 de Abril, mirando al norte

Figura 5.5: Lado este de la estructura 38s23, mirando al oeste (se ve la estructura 38s21 atrás)

- Figura 5.6: Lado norte de la estructura 38s27, mirando al sur
 Figura 5.7: Metate encontrado al norte de la estructura 38s21
 Figura 5.8: Densidad de cerámica distribuida por la operación 1
 Figura 5.9: Operación 1, Pozo A, muro oeste
 Figura 5.10: Operación 1, Pozo A, perfil oeste
 Figura 5.11: Operación 1, Pozo B, muro oeste
 Figura 5.12: Operación 1, Pozo A, perfil oeste
 Figura 5.13: Operación 2, estructura 38s16, lado sureste mirando al oeste
 Figura 5.14: Operación 2, estructura 38s16, lado noroeste mirando al sur
 Figura 5.15: Mapa de las estructuras de la Operación 3/4
 Figura 5.16: Levantamiento topográfico de las estructuras 39n5 y 39n4, operación 3/4
 Figura 5.17: Mapa de la estructura 41s2 y los pozos de la operación 5 (21 de abril)
 Figura 5.18: Lado sur de la Estr. 41s2, mostrando piedras megalíticas, mirando al oeste.
 Figura 5.19: Lado este de la Estr. 41s2, mirando al oeste
 Figura 5.20: Metate de la Estr. 41s2, Operación 5
 Figura 5.21: Operación 5, Pozo A, perfil norte
 Figura 5.22: Operación 5, Pozo A, muro sur
 Figura 5.23: Operación 5, Pozo B, perfil sur
 Figura 5.24: Operación 5, Pozo B, muro sur
 Figura 5.25: Operación 5, Pozo C, perfil oeste
 Figura 5.26: Operación 5, Pozo C, muro oeste
 Figura 5.27: Mapa de la Operación 6, mostrando las estructuras
 Figura 5.28: Mapa de la Operación 6, con los datos topográficos
 Figura 5.29: La estructura 42s2 con muro megalítico, mirando al este
 Figura 5.30: La estructura 42s2, lado oeste, mirando al sur
 Figura 5.31: Estructura 43s3: ejemplo de los montículos chicos alrededor de la 42s2
 Figura 5.32: Estructura 43s2: ejemplo de los montículos chicos alrededor de la 42s2
 Figura 5.33: Operación 6, Pozo A, perfil sur
 Figura 5.34: Operación 6, Pozo A, mirando al este
 figura 5.35: Densidad de cerámica distribuida por la operación 6
 Figura 5.36: Operación 7, Estructura 42n1, lado este, mirando al oeste
 Figura 5.37: Mapa de la Estructura 42n2, operación 8, mostrando Pozo A
 Figura 5.38: Estructura 42n2, lado sur, mirando al norte
 Figura 5.39: Operación 8, pozo A, perfil del lado este
 Figura 5.40: Mapa de las estructuras de la operación 7
 Figura 5.41: Estructura 40n2, lado este, mirando al oeste
 Figura 5.42: Sascabera que pertenece a las estructuras de la operación 9
 Figura 5.43: Operación 9, Pozo A, mirando al norte

Apéndice A

- Figura 1: Cronología de los asentamientos del Proyecto PASUC
 Figura 2: Cronología de los asentamientos del Proyecto PASUC.
 Figura 3. Horizontes cerámicos del sitio Ticopó-2. 6 % de materiales Tihosuco
 Figura 4: Complejos cerámicos del sitio 21 de Abril
 Figura 5: Fotos de tiestos diagnósticos
 Figura 6: Fotos de tiestos diagnósticos

Figura 7: Dibujos de tiestos diagnósticos

Figura 8: Muna Pizarra, del sitio Ticopo-2, Operación 4, pozo A, capa 2

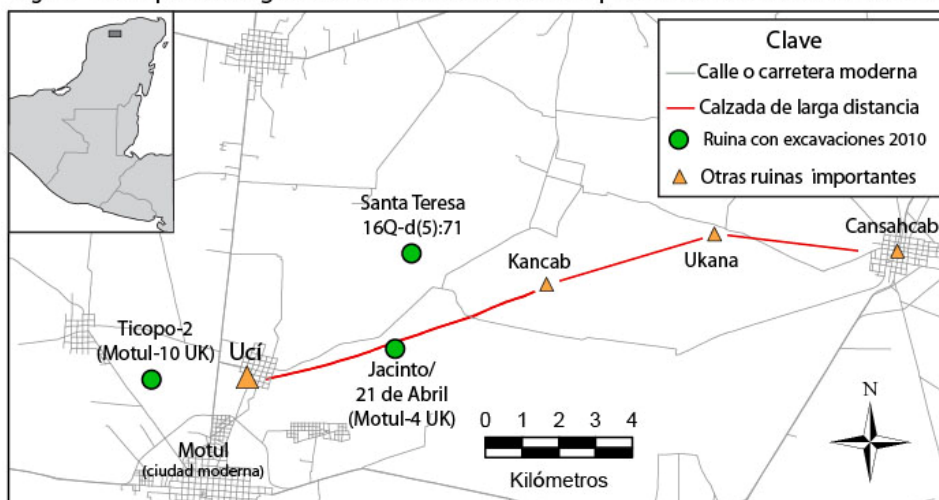
Figura 9: Batres Rojo, del sitio Ticopo-2, Operación 4, pozo A, capa 2

Figura 10: Muna Pizarra, del sitio Ticopo-2, Operación 4, pozo B, capa 1

Capítulo 1: Introducción

Este informe presenta los resultados de la tercera temporada de campo del Proyecto Arqueológico *Sacbé* de Ucí/Cansahcab (PASUC). La temporada de campo fue corta: tuvimos solamente cinco semanas de trabajo. El Consejo de Arqueología nos otorgó permiso para excavar pozos de sondeo afuera de montículos en tres sitios pequeños alrededor del sitio de Ucí. Estos sitios son Santa Teresa (16Q-d(5):71), Ticopó-2, y Motul 7-UK (Jacinto/21 de Abril) (ver figura 1.1). Dentro de las cinco semanas, tuvimos éxito en llevar a cabo excavaciones en los tres sitios, aunque en el sitio Motul 7-UK (Jacinto/21 de Abril) el número de pozos fue bastante menos que proponemos en la solicitud.

Figura 1.1: Mapa de la región de Ucí mostrando los sitios que recibieron excavación en 2010



Dado el hecho de que ninguno de los pozos de sondeo tocaron arquitectura, las excavaciones fueron bastante sencillas. Además, los suelos en esta parte de Yucatán no son profundos y por eso las excavaciones pronto terminaron en roca madre. En fin, estas condiciones resultaron en pozos que no son muy difíciles para interpretar.

La única sorpresa de la temporada fue la cantidad baja de artefactos. En muchos pozos de sondeo, no salieron ningunos artefactos. Por eso, el trabajo de gabinete fue corto también. En el

capítulo 6, presentamos unas hipótesis para explicar la falta de artefactos. La carencia de artefactos tuvo un impacto en la capacidad para responder a las preguntas que presentamos en la propuesta de trabajo. Las preguntas más importantes son:

- 1) Entender mejor el fechamiento y economía doméstica de dos sitios—Ticopó-2 y Santa Teresa (16Q-d(5):71)—cerca de Ucí pero afuera del *sacbé*.
- 2) Entender mejor el fechamiento y economía doméstica de un sitio pequeño—21/de Abril/Jacinto (Motul 7-UK)—pegadito al *sacbé*.
- 3) Entender el uso de espacio alrededor del juego de pelota del sitio Santa Teresa y compararlo con el uso de espacio en un contexto doméstico.

La meta de fechar los asentamientos no fue difícil lograr. Aunque la cantidad de cerámica que salió de las excavaciones era poco, estos tiestos pertenecen a tipos que son cronológicamente diagnósticos. Sin embargo, la muestra de artefactos que salió de las excavaciones no fue bastante grande para permitirnos comparar las economías domésticas de los sitios diferentes. En el futuro, esperamos excavar unas plataformas residenciales para poder investigar la organización económica y social.

Para entender mejor el contexto de estas tres metas, ahora se presentan los antecedentes del trabajo de campo. El PASUC está enfocado en el tema de transformaciones históricas con el objetivo de entender las fuerzas políticas, sociales y económicas que precipitan estas transformaciones y los afectos precipitados por tales transformaciones. La transformación más importante en la vecindad de Ucí fue la construcción de un *sacbé* que tiene 18km de largura y conecta Ucí al oeste con Cansahcab al este. De todos los sitios alrededor del *sacbé*, Ucí es el más grande. No se sabe el tamaño de Cansahcab porque estas ruinas han sido casi completamente destruidas por la construcción del pueblo moderno de Cansahcab. Entre Ucí y Cansahcab, el

sacbé pasa por dos sitios con arquitectura monumental pero menos grande que Ucí: Kancab (localizado 8km al este de Ucí) y Ukana (localizado 13km de Ucí).

Otros arqueólogos han comentado que la construcción del *sacbé* representa una integración política en el sentido de que los sitios conectados por el *sacbé* se pusieron sujetos al dominio de Ucí. En esta hipótesis, el extento del *sacbé* representa el extensión del territorio de Ucí. Además, la construcción del *sacbé* representa la consolidación del dominio de Ucí. El PASUC tiene la meta de investigar esta hipótesis y otras hipótesis, como la posibilidad de que la integración de la región también tenía efectos económicos. Para poder investigar estas hipótesis se necesita estudios de unidades domésticas de sitios de todos los rangos en la jerarquía de asentamiento y no solamente en sitios pegaditos al *sacbé* sino también en sitios afuera del *sacbé*. En esta temporada

Los primeros pasos de la investigación consistieron en mapeo y recorrido. El PASUC se dedicó a tales pasos en las primeras dos temporadas de campo: 2008 y 2009. En 1979, Rubén Maldonado levantó un croquis (no publicado) de 13 estructuras grandes en el centro de Ucí. Para entender mejor la topografía del centro de Ucí, el PASUC logró mapear 32 hectáreas del centro de Ucí con una estación total. Para conocer mejor la distribución y extensión del asentamiento afuera del centro de Ucí, el PASUC llevó a cabo mapeo con brújula, cinta métrica, y GPS. Estos esfuerzos indican que Ucí cubrió entre 7.5 y 11.2 km², de lo cual hemos mapeado 4.53km² (Hutson 2010). En total, hemos documentado más de 500 estructuras que pertenecen a Ucí.

Además del mapeo de Ucí, El PASUC ha levantado mapas de dos sitios al oeste de Ucí (Ticopó-1 (15Qd(5):13) y Ticopó-2 (Motul 10-UK)), un sitio al norte de Ucí (16Q-d(5):14), y varios sitios al este de Ucí, en la dirección del *sacbé*: Santa Teresa (16Q-d(5):71), Chunhuayum (Motul 4-UK), 16Q-d(5):72, Jacinto/21 de Abril (Motul 7-UK), y una porción de Kancab.

Además de estos sitios, hemos mapeado un polígono de 8km por 0.5km que sigue el *sacbé* entre Ucí y Kancab.

Para 2010, escogimos tres de estos sitios para excavaciones. Como se nota arriba, las metas de las excavaciones incluyen el fechamiento de los tres sitios y un entendimiento de sus actividades económicas. Para poder distinguir el impacto de la construcción del *sacbé*, era necesario comparar un sitio conectado por el *sacbé*, un sitio cerca del *sacbé* pero no conectado, y un sitio más lejos del *sacbé*. El sitio 21 de Abril/Jacinto sirve como buen ejemplo de un sitio conectado por el *sacbé*. No tenemos datos sobre la cronología del asentamiento alrededor del *sacbé*. ¿Apareció este asentamiento antes de la construcción del *sacbé*, o después de la construcción del *sacbé*? Con recolección de superficie y excavaciones en el sitio (Motul 7-UK (Jacinto/21 de Abril), podemos empezar a responder a esta pregunta. Además, necesitamos entender la cronología de sitios unos kilómetros afuera del *sacbé*. ¿Creció la cantidad de asentamiento después de la construcción del *sacbé*? ¿Hay cambios en la ubicación de unidades residenciales después de la construcción del *sacbé*? Si Ucí fuera la capital de la entidad política representada por el *sacbé*, anticiparíamos un crecimiento en el tamaño de Ucí y quizás el abandono de sitios más lejos de Ucí. Con recolección de superficie y excavaciones en los sitios de Ticopó-2 (a dos km al oeste de Ucí: se encuentra en el mapa de figura 2) y Santa Teresa 16Q-d(5):71 (a dos seis km al noreste de Ucí: se encuentra en el mapa de figura 2), podemos responder a esta pregunta.

Estas excavaciones también permiten una evaluación de los cambios económicos precipitados por la construcción del *sacbé* y la creación de las entidades políticas encabezadas por Ucí, Cansahcab, y Izamal. Por ejemplo, mientras que el poder de Ucí creció, ¿Hubo cambios en la producción doméstica de las unidades habitacionales de Ucí? Además, ¿Hubo cambios en

la producción doméstica de las unidades habitacionales de otros sitios en el *sacbé*, por ejemplo Kancab y San Jacinto? Y, si hubo aumentos en la producción doméstica, ¿a que se deben estos aumentos? ¿Se deben a la necesidad de pagar tributo a Ucí o a Izamal? ¿Se deben a nuevas oportunidades comerciales que resultaron de la integración de la región? Las excavaciones de 2010 no fueron suficientes para identificar cambios en la producción doméstica y por esto vamos a proponer una continuación de las excavaciones en los años 2011, 2012 y 2013.

Las excavaciones en el sitio de Santa Teresa (16Q-d(5):71) ayudan a proporcionar datos sobre el desarrollo del sistema político en la región de Ucí porque este sitio tiene un juego de pelota. El descubrimiento de la cancha del juego de pelota en el sitio de Santa Teresa, que se encuentra a 6km al noreste de Ucí y 2km al norte del *sacbé* (ver figura 1.1) presenta una oportunidad para evaluar si 1) el juego de pelota funcionaba como lugar de ceremonias políticas y rituales; y, 2) si la construcción del juego de pelota tiene una relación cronológica al evento de integración. Investigaciones del juego de pelota en otras regiones de Mesoamérica sugieren que el juego fue acompañado por banquetes y actividad política (Fox 1996; Kowalewski et al. 1991).

Para resumir, las excavaciones de pozos de sondeo afuera de estructuras en Ticopó-2, Santa Teresa, y Jacinto/21 de Abril se llevaron a cabo con las metas de entender cambios cronológicos en el asentamiento alrededor del *sacbé*, de entender la economía doméstica en los sitios periféricos de Ucí, y de entender la relación del juego de pelota en Santa Teresa con la política de la integración encabezado por Ucí. Como se describe en la conclusión (Capítulo 6), las investigaciones solamente proporcionaron datos para hablar de la primera y la tercera meta.

Los métodos se presentan en el segundo capítulo. Los resultados se dividen en tres capítulos: El capítulo 3 presenta los datos de Ticopó-2. El capítulo 4 presenta los datos de Santa

Teresa. El capítulo 5 presenta los datos de Jacinto/21 de Abril. Además, los datos cerámicos se presentan en el Apéndice A y los datos sobre otros artefactos se encuentran en el apéndice B.

Capítulo 2: Métodos

Para lograr las metas, se necesita excavación de basureros para conseguir cerámica y restos de herramientas domésticas. El mapeo de las primeras dos temporadas (2008 y 2009) ha mostrado que hay muy poca cerámica en la superficie de Ucí y otros sitios. Por esto se necesita excavación. El Consejo de Arqueología nos dio permiso para excavar pozos de prueba. El tamaño más común de los pozos es 2m por 1m, aunque también se excavaron unos pozos de otros tamaños, por ejemplo 1m por 1m. Cada grupo arquitectónico que investigamos recibió un número de operación.

Antes de excavar, cortamos la maleza y vegetación para poder ver mejor los detalles de la operación. En el mapeo de 2008 y 2009, la meta fue mapear todo que se puede en el tiempo restringido de las temporadas de campo. Por esto, muchas veces no hubo oportunidad para limpiar la maleza encima de cada estructura. En 2010, limpiamos toda la maleza, y esto nos dio la oportunidad de hacer mapas mucho más detallados. Por ejemplo, aprovechamos la disponibilidad de una estación total para levantar mapas topográficos de las operaciones 1, 3/4, y 6 del sitio Jacinto/21 de Abril y todas las operaciones (1, 2, 3, 4, 5) en el sitio Santa Teresa. Además, en las operaciones 2 y 3 de Ticopó-2 y las operaciones 1 y 6 de Jacinto/21 de Abril hicimos dibujos arquitectónicos que incluyeron cada piedra grande que parecía ser parte de la arquitectura.

Los pozos de prueba fueron ubicados afuera de los edificios, para que no se toquen ninguna arquitectura. Por eso, las estructuras quedarán completamente preservadas. Toda la tierra de las excavaciones fue cernida por una criba con aperturas de 0.5cm. Dado que no

encontramos muchos artefactos, el trabajo de gabinete fue corto y incluyó fotografía, medidas, dibujos y clasificación.

Una meta importante (la meta #3 arriba) fue conseguir un entendimiento del uso de espacio en contextos domésticos y públicos, específicamente en el juego de pelota del sitio Santa Tereas. Por esto, excavamos más pozos por el juego de pelota que en los contextos domésticos pero intentamos comparar los resultados del análisis del juego de pelota con lo de las operaciones 1 y 6 del sitio Jacinto/21 de abril. Los raíces del estudio del uso de espacio y de áreas de actividades crecieron de las investigaciones de pisos preservados en el Valle de Oaxaca (por ejemplo, Flannery 1976). Dado que el presente proyecto no se puede involucrar excavaciones sobre estructuras (ver Oficio Núm C.A. 401-36/0706), las investigaciones se enfocaron en espacios afuera de estructuras. En el área Maya, Linda Manzanilla (1987) inició este tipo de estudio en el sitio de Cobá, con la colaboración de Luis Barba. Los estudios pioneros de Manzanilla respondieron al hecho de que los Mayas realizaron muchas de sus actividades en los espacios exteriores de las estructuras y que los desechos de estas actividades se encuentran alrededor de las estructuras (Barba y Manzanilla 1987: 107; Manzanilla y Barba 1990). Trabajos etnoarqueológicos en el área Maya y en otras partes de Mesoamérica dan apoyo a la perspectiva de Manzanilla y Barba. Por ejemplo, los modelos del uso de espacio en unidades domésticas en las zonas rurales de Chiapas (Deal 1985), Veracruz (Arnold 1990; Killion 1992), Yucatán (Alexander 1999), y las tierras altas de Guatemala (Hayden and Cannon 1983) han demostrado que la mayoría de los desechos domésticos se depositan afuera de las casas y los patios. Estudios arqueológicos siguiendo los pasos de Manzanilla y Barba han documentado que, con frecuencia, los Mayas limpiaban bien los interiores de sus casas: la mayoría de artefactos se encuentra afuera de los edificios (Webster y otros, 1997; Hutson y Stanton 2006). Esto significa que un análisis

exitoso de las actividades domésticas y el uso del espacio tiene que enfocarse no solamente en la arquitectura, sino en espacios no arquitectónicos.

Para estudiar tales espacios sin arquitectura, se necesita desarrollar una técnica de muestreo. Desafortunadamente, el mapeo en las temporadas de 2008 y 2009 mostró que no se encuentra cerámica ni otros artefactos en la superficie de los sitios propuestos para excavación en la temporada de 2010. Los espacios sin arquitectura son grandes—en los sitios yucatecos con albarradas que rodean las unidades habitacionales (Mayapan, Coba, Chunchucmil), tales unidades tienen un promedio de hasta 3,000 m²—y por esto solo se puede excavar una fracción del espacio.

La metodología utilizado por Manzanilla y Barba en Coba incluyó muestras en las esquinas de una cuadrícula que cubrió el espacio entero de dos solares prehispánicos. Otras investigaciones en el área Maya (Ball y Kelsay 1992; Robin 2002; Wells 2004; Hutson y otros 2007) y otras partes de Mesoamérica (Krueger 2000; Pool 2003) también han seguido este método arqueológico. De hecho, el muestreo arqueológico con pozos en una cuadrícula también se usa con frecuencia en otras partes de Norteamérica (ver, por ejemplo, Wobst 1983; McManamon 1984; Lightfoot 1986; Nance y Ball 1986). La aplicación de estos métodos en los sitios de Jacinto/21 de Abril y Santa Teresa permite la documentación del uso de espacio doméstico, áreas de actividad fuera de estructuras, y la posible función de la cancha del juego de pelota como lugar para banquetes prehispánicas. Además, guardamos muestras de suelo para análisis químicos en el futuro.

Capítulo 3: Ticopó-2

El sitio de Ticopó-2 fue descubierto en la temporada de 2009. El sitio se encuentra casi 3km al oeste del centro de las ruinas de Ucí, y un kilómetro al este/sureste del pueblo moderno de Kini. El nombre de este sitio viene de la hacienda Ticopó, cuyo casco se encuentra un kilómetro al norte. Otro sitio en los terrenos de Ticopó fue documentado anteriormente en el Atlas Arqueológico de Yucatán como 15Q-d(5):2 (Garza y Kurjack 1980). La parte del sitio antiguo de Ticopó-2 que hemos mapeado (figura 3.1) contiene 13 mojoneras de *chi'ich*, 24 plataformas y nivelaciones, y 3 superestructuras. No sabemos los límites exactos del sitio, y es posible que el sitio se extienda al norte. Ticopó-2 es un sitio del rango más bajo--rango IV—en el sistema de Garza y Kurjack (1980). El sitio no tiene edificios públicos. La densidad de estructuras en la zona mapeada es 185 por km².

En la propuesta para trabajo de campo de 2010, solicitamos excavaciones alrededor de cinco estructuras: T158, T206, T203, T180, y T185 (ver figura 3.1). En el campo, muchas veces las estructuras indicadas para excavación no tenían ninguna cerámica en la superficie. Por ejemplo, no se encuentran pedazos de cerámica alrededor de las estructuras T185 y T206. Por esto, decidimos no poner pozos alrededor de las estructuras T185 y T206. Para compensar, llevamos a cabo más pozos de prueba alrededor de W180 y T203, donde se encuentra muchísima la cerámica en la superficie. En otras palabras, las estructuras T185 y T206 no recibieron pozos de prueba. Los pozos anticipados para estas dos operaciones fueron trasladados al terreno alrededor de las estructuras T203 y T180, donde hubo más posibilidad de encontrar artefactos.

Figura 3.1 : Los cinco lugares donde se propusieron excavaciones en el sitio de Ticopó-2, en fin, solamente tres lugares recibieron pozos de prueba



Cada lugar donde pusimos pozos de excavación recibió un número de operación. Aunque no hubo pozos de prueba por la estructura T206, hicimos un mapa muy detallado de esta estructura y su gemelo, T205, y por esto las dos estructuras recibieron un número de operación.

Números de operación fueron otorgados en la manera siguiente:

Ticopó-2 operación 1: excavación alrededor de la estructura T158

Ticopó-2 operación 2: las estructuras T205 y T206

Ticopó-2 operación 3: excavación alrededor de la estructura T203

Ticopó-2 operación 4: excavación alrededor de la estructura T180

Ticopó-2 operación 1

La operación 1 se enfoca en la estructura T158. Tal estructura mide aproximadamente 18m norte/sur por 9m este/oeste (figura 3.2). En la figura 3.1, se ve que hay cuatro estructuras chicas cerca de la estructura T158. Estas son T165d (3m x 3m x 0m, ubicada 14m al noroeste), T165c (4m x 4m x 0m, ubicada 21m al noroeste), T164 (11m x 3.3m x 0.3m, ubicada 16m al oeste) y T160 (3m x 3m x 0.1m, ubicada 12m al sur). No se observaron ningunos metates cerca de estas estructuras.

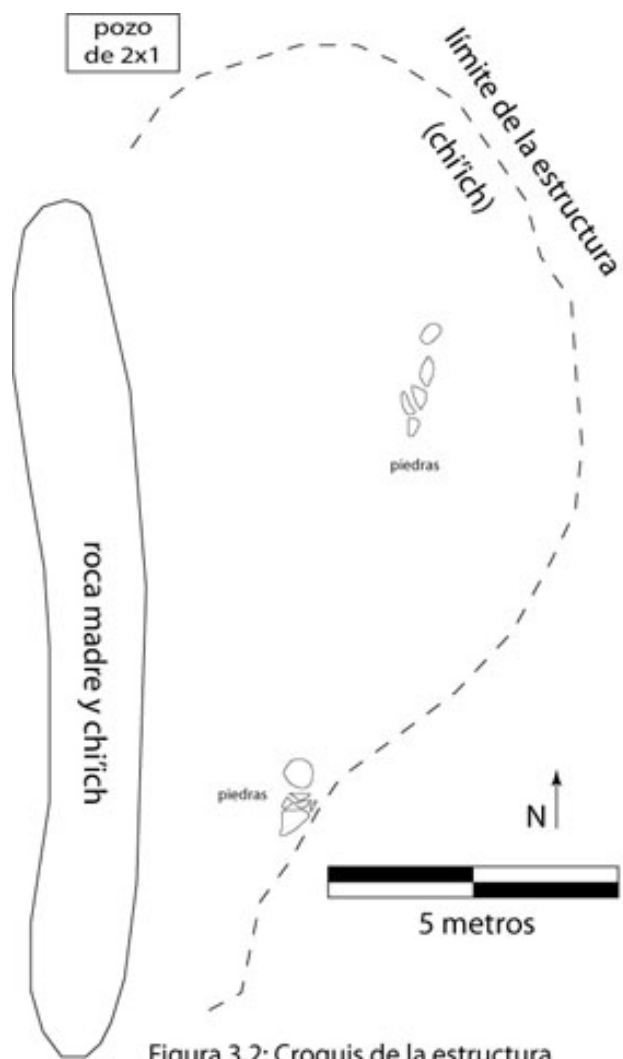


Figura 3.2: Croquis de la estructura T158, operación 1, Ticopó-2

Figura 3.3: Foto del lado norte de la estructura T158, mirando al sur



Figura 3.4: Foto del lado oeste de la estructura T158, mirando al este. Se ve que la parte norte (a la izquierda) de la estructura es más alta que la parte sur.

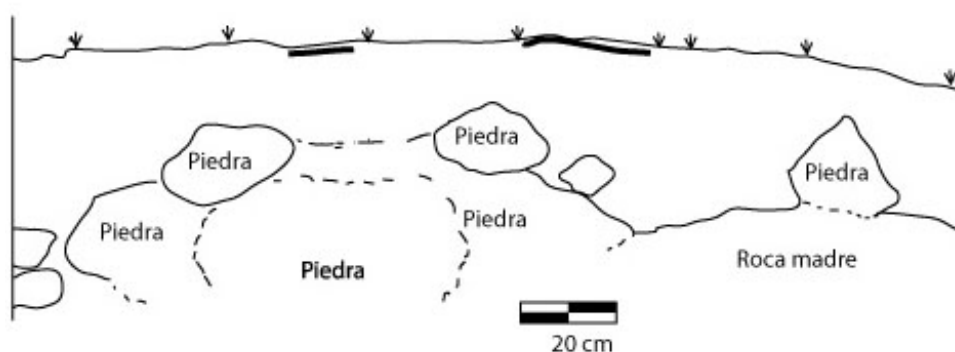


La parte norte de la estructura T158 es la parte más ancha y más alta: llega a una altura de 60cm (figura 3.3). La parte sur tiene una altura de 30 cm y una anchura de aproximadamente 4m (figura 3.4). Los Mayas antiguos de Ticopó-2 utilizaron una plataforma natural de roca madre como base de la estructura al lado oeste. Se excavó un pozo que mide 2m por 1m al lado noroeste de la estructura. Este pozo lleva el nombre pozo A. El pozo contenía solamente una capa antes de llegar a roca madre: tierra arenosa con arcilla. Esta capa contiene muchas piedras hasta de 10cm de largo. El color del suelo es 7.5 YR 3/2. Después de excavar 20cm, aparecen algunas piedras de más de 50cm de largura en el centro del pozo (figura 3.5). Puede ser que estas piedras han tumbado de la estructura T158. En el lado oeste del pozo, la roca madre se presenta a una profundidad de 35cm. En el lado este, la roca madre se presenta a una profundidad de 55cm. Muy poca cerámica salió de este pozo: 150g en total. La cerámica fecha mayormente para la época Clásico Temprano.

Figura 3.5: Foto del pozo A, operación 1, Ticopó-2



Figura 3.6: Perfil sur del pozo A, operación 1, Ticopó-2



Ticopó-2 operación 2: W205 y W206

Excavaciones fueron programados para los suelos alrededor de estas dos estructuras, pero dado la ausencia completa de artefactos en la superficie, se decidió no llevar a cabo pozos de prueba por este área. En vez de excavar por acá, vale la pena guardar el esfuerzo para lugares con buenas indicadores de la presencia de artefactos.

Sin embargo, hicimos un mapa detallado (figura 3.7) de este par de estructuras porque conjuntos de esta forma son escasos por Ucí: normalmente hay más espacio entre estructuras. Solamente un metro de espacio separa las dos estructuras. Además, estas dos estructuras no son parte de un conjunto grande. El vecino más cerca es una mojonera de chi'ich ubicada unos 30m al noreste. La forma de construcción consiste en piedras hasta de 80cm de largo que forman un muro de contención de una plataforma de 30cm de altura (figuras 3.8 y 3.9). Aunque algunas piedras son grandes, estas dos estructuras no son ejemplos buenos de la arquitectura megalítica porque plataformas megalíticas normalmente son más grandes y tienen más piedras megalíticas. La figura 3.7 muestra que el lado norte de la estructura W205 no tiene ningunas piedras: el límite de la plataforma está marcada por chi'ich.

Figura 3.7: Mapa de las estructuras T205 y T206

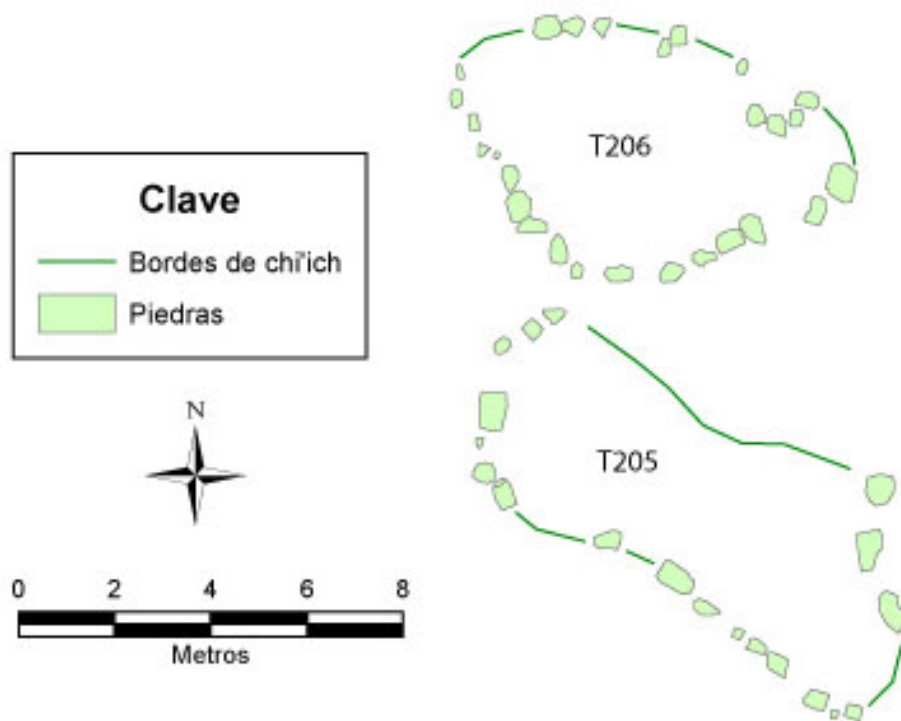


Figura 3.8: Foto del lado este la estructura T206, mirando al oeste.



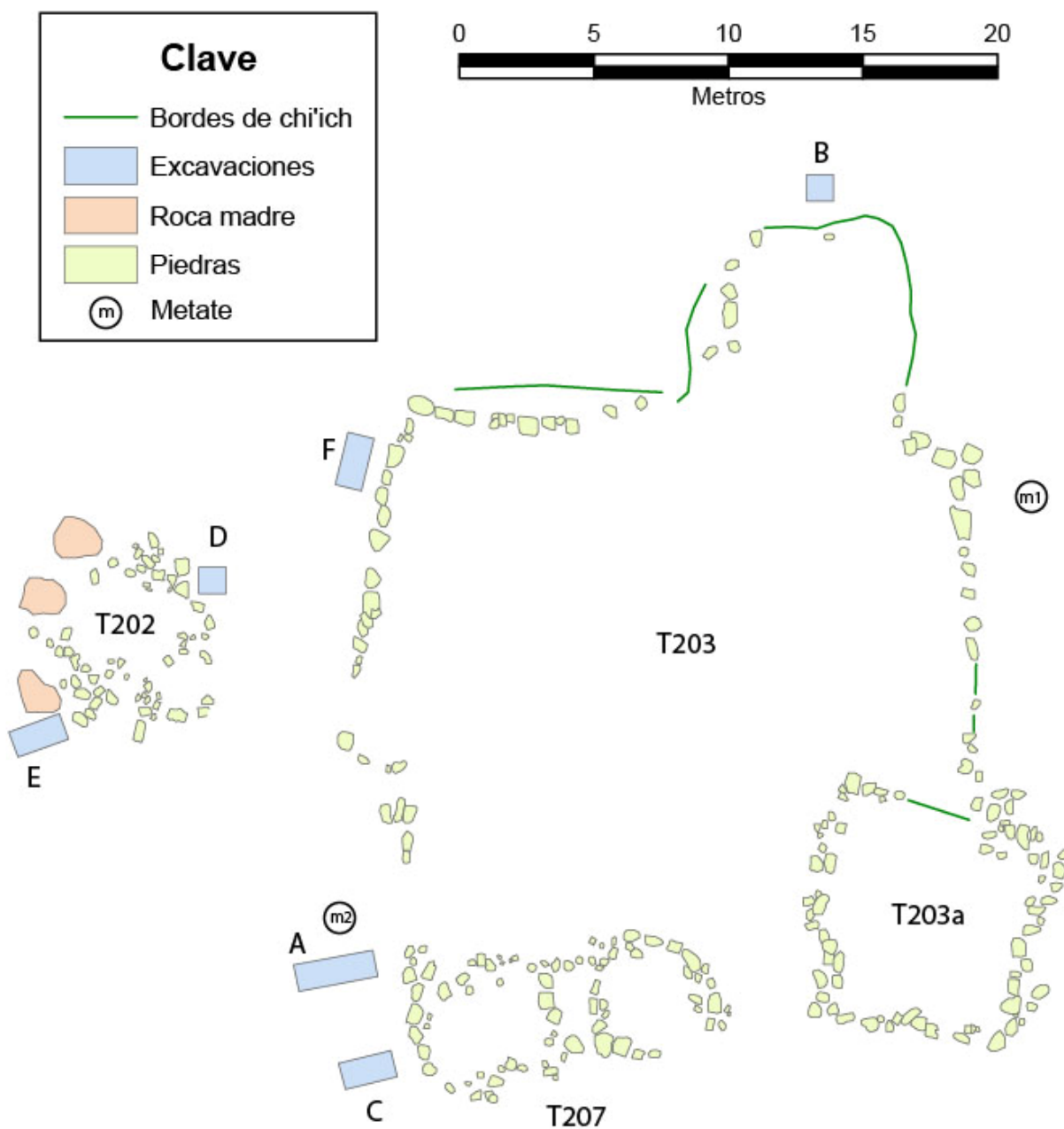
Figura 3.9: Foto de la esquina sureste de la estructura T205, mirando al noroeste



Ticopó-2 operación 3: T203

En la temporada de 2009, el mapeo alrededor de la estructura T203 encontró solamente la plataforma de T203, una superestructura al lado este de la plataforma (T203a) y un cimiento--T202--al oeste de la plataforma. Después de regresar a la T203 en 2010 y limpiar la maleza al sur de la plataforma, encontramos otra estructura al sur de la plataforma. Esta estructura nueva tiene el nombre T207. En 2010, se hizo un mapa muy preciso que muestra todas las piedras que parecen ser parte de las estructuras T202, T203 y T207. El mapa se encuentra en la figura 3.10. Como se ve en el mapa, la estructura T203 es una nivelación con tres lados: oeste, norte, y este. Al sur de la nivelación se encuentran las estructuras T203a y T207. De este a oeste,

Figura 3.10: Mapa de las estructuras T202, T203, T203a y T207



la nivelación mide 22m. El lado oeste es el mejor preservado y exhibe una línea de piedras megalíticas que extiende para 10m (figura 3.11). Al lado norte, la nivelación tiene una extensión que mide aproximadamente 6m x 6m. Piedras grandes son escasas en los límites de esta

Figura 3.11: Foto del lado oeste de la estructura T203, mirando al norte



extensión: la figura 3.12 muestra la cantidad de chi'ich (figura 3.12). Dos metates fueron encontrados alrededor de la estructura T203 (ver la figura 3.10), uno al lado este, el otro por la esquina suroeste (figura 3.13). La estructura T203a es una superestructura, construida arriba de la nivelación. Tiene una forma cuadrada y mide 8.0 m norte/sur por 7.8m este/oeste. Tiene una elevación de 0.4m arriba de la nivelación T203. La estructura T202 es una agregación de piedras que mide aproximadamente 5.5m por 5.5m (figura 3.14). No se puede adivinar si la forma de la estructura fue circular o cuadrada porque las piedras no son bien ordenadas. El lado noroeste del

Figura 3.12: Foto de la extensión al norte de la estructura T203, mirando al sur



Figura 3.13: Los dos metates de la estructura T203: m1 (a la izquierda) y m2 (a la derecha)



cimiento carece de piedras, pero utiliza la roca madre. La estructura T207 tiene la forma de una bicicleta o de lentes (ver figura 3.10). Esta forma es poca común en otros sitios yucatecos (Smith et al. 1998; Hutson 2004). La T207 tiene dos cuartos. A su lado oeste, donde se encuentra un

metate, se nota mucha cerámica en la superficie. El primer pozo de prueba—Pozo A—se puso al lado sur del metate, en el área donde se encuentra mucha cerámica. El pozo empezó como un



2m por 1m, pero fue extendido a un 3m por 1m dado la gran cantidad de cerámica que salió de este lugar.

La estratigrafía del Pozo A es sencilla y poca profunda: el promedio de profundidad es de 15cm arriba de roca madre. La única capa de suelo era de tierra suelta con muchas piedras de 7 a 10cm. Las figuras 3.15 y 3.16 muestran la forma y estratigrafía del Pozo A. En total, 0.932 kg de cerámica salió de este pozo. Aunque esto no es mucho, es una gran cantidad comparado con otras excavaciones de esta temporada. Los tiestos identificados del Poza A pertenecen a los grupos Chencoh, Dzudzuquil, Huachinango, Maxcanu, Oxil, y Sierra. Estos grupos fechan para el Preclásico Tardío y el Clásico Temprano, aunque la cerámica Maxcanu sigue hasta el Clásico Tardío.

Figura 3.15: Operación 3, Pozo A, mirando al norte

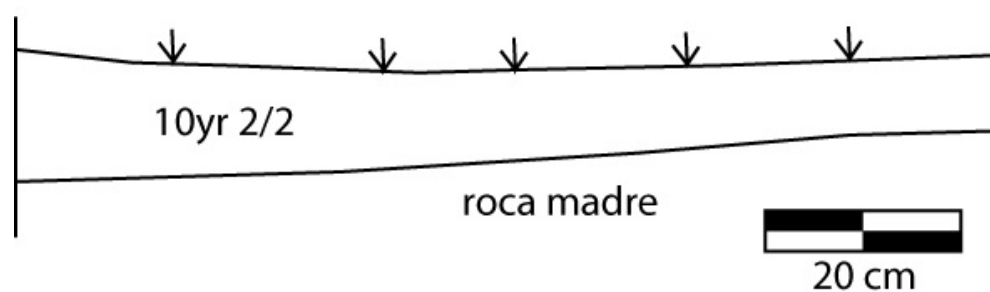


El Pozo B (figura 3.17) fue ubicado al lado norte de la extensión de la estructura T203 (ver la figura 3.10). El pozo mide 1m por 1m. Igual al Pozo A, la estratigrafía fue muy sencilla, con nada más de una capa con una cantidad de piedras sueltas de entre 5cm y 20cm. El suelo fue más profundo en la esquina noroeste, llegando a una profundidad de 22cm. Para lo demás del pozo, el promedio de profundidad fue 10cm (figura 3.18). Se ve en la figura 3.17 que la roca madre tiene huecos naturales. No se encontraron ningunos artefactos en este pozo.

Figura 3.17: Operación 3, Pozo B, mirando al este



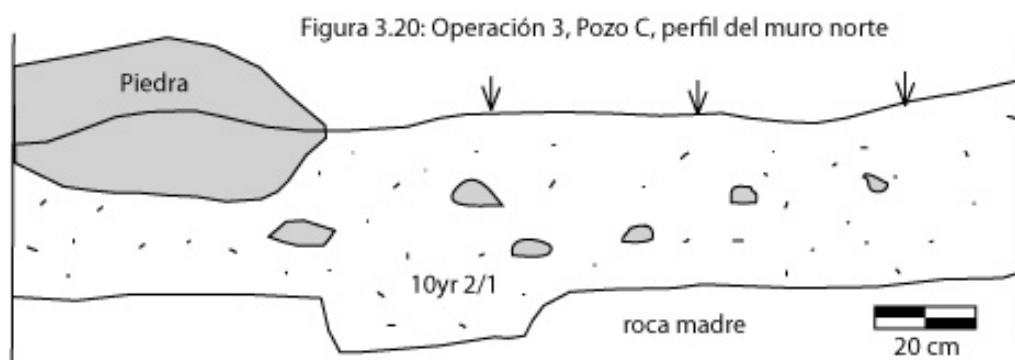
Figura 3.18: Operación 3, Pozo B, perfil del muro este



El pozo C de la operación 3 fue ubicado al sur del pozo A (ver figura 3.10), aprovechando de la alta cantidad de cerámica que salió de este área. Igual al pozo A, que se encuentra 3m al norte, el pozo C tiene solamente una capa de tierra suelta con color Munsell 10yr 2/1 (figura 3.20). La tierra contenía piedras de 7cm hasta 40 cm (figura 3.20) La roca madre

se encuentra entre 33 y 40cm debajo de la superficie. Un total de 0.472 kg de cerámica salió de este pozo. La cerámica es casi igual a la cerámica del pozo A (ver arriba). Además, encontramos dos fragmentos de navajas prismáticas de obsidiana, uno con su bulbo de percusión (figura 3.21).

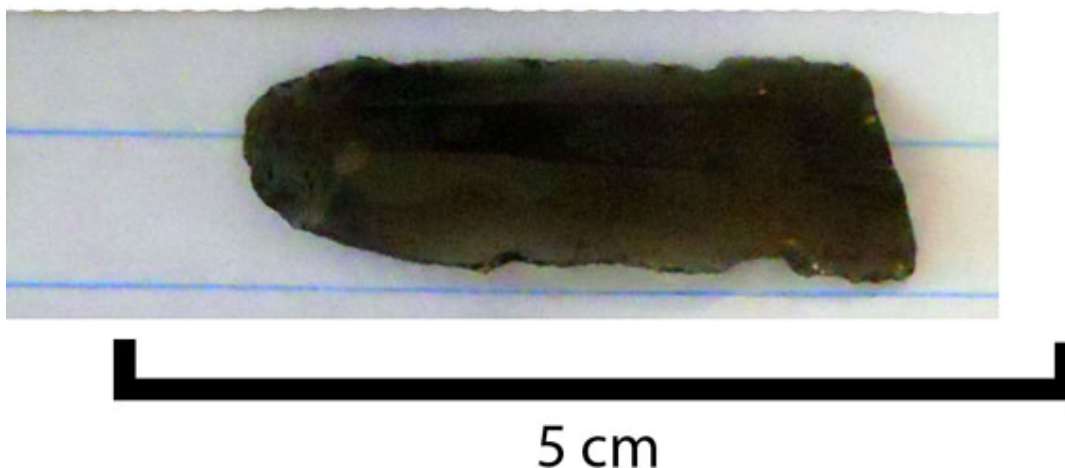
Figura 3.19: Operación 3, Pozo C, mirando al norte



La presencia del metate 2 y la cerámica y obsidiana de los pozos A y C sugieren que el área al oeste de la estructura T207 y al suroeste de la estructura T203 se desempeñaba para la

preparación de comida. Puede ser que la estructura T207 fuera la cocina para todos que vivían en este conjunto doméstico, pero hay otro metate al lado este de la T203. La cerámica del pozo C fecha para el Clásico Temprano (ver capítulo 7).

Figura 3.21: Operación 3, Pozo C, fragmento de obsidiana



El pozo D (figura 3.22) se ubica al lado noreste de la estructura T202 (ver la figura 3.10). El pozo mide 1m por 1m. La estratigrafía fue muy sencilla, con nada más de una capa con una cantidad de piedras redondas y angulares de entre 5cm y 25cm. El color es 10yr 2/1. El suelo fue menos profundo en el lado este, llegando a una profundidad de entre 6 y 8 cm. La profundidad máxima—25cm—está en el centro del pozo y la esquina suroeste. La excavación terminó en la roca madre. Solamente 45g de cerámica salieron de este pozo.

Figura 3.22: Operación 3, Pozo D, perfil del muro sur

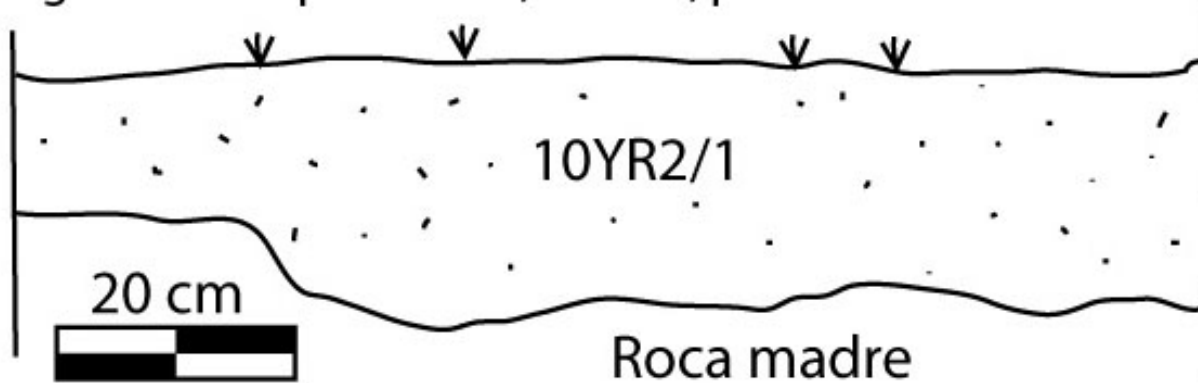


Figura 3.23: Operación 3, Pozo D, mirando al noroeste.



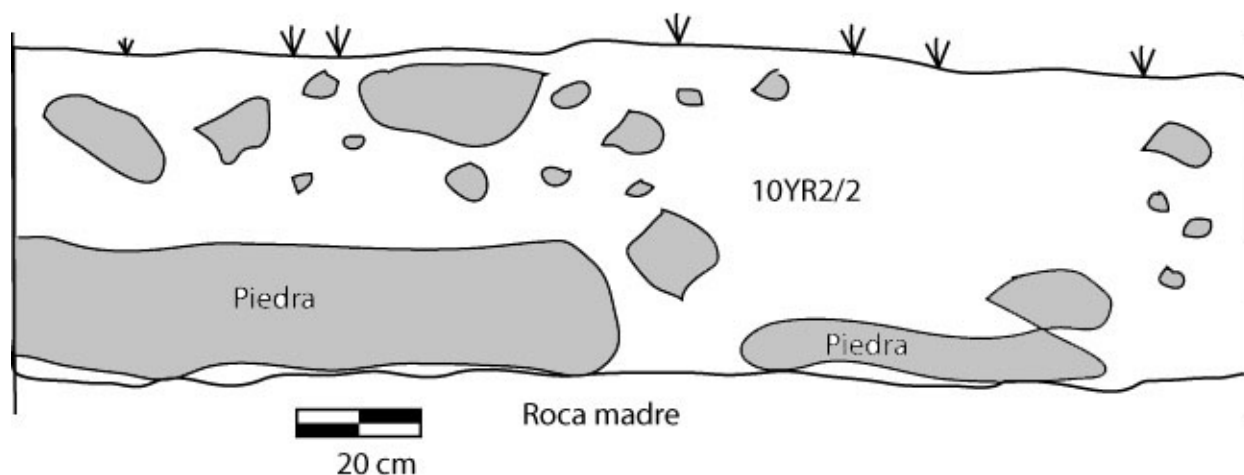
El Pozo E mide 2m por 1m y fue ubicado al lado suroeste de la estructura T202. Pusimos el pozo en este lugar a causa de la presencia de cerámica en la superficie. La meta de este pozo fue recoger artefactos para poder adivinar la función de la estructura T202. La estratigrafía del

pozo E consiste en dos capas. La primera capa tiene el color 10YR 2/2 en la escala Munsell y es una tierra arcillosa. Tiene muchas piedras entre 5 y 40 cm. Las figuras 3.24 y 3.25 muestran estas piedras. La piedra en la esquina Noroeste, a una profundidad de 33 cm de la superficie, parece ser un fragmento de roca madre. La profundidad de la primera capa es aproximadamente 50 cm. La segunda capa es un arcilla arenosa arriba de la roca madre. Tiene una profundidad de solamente 3cm y su color es menos oscuro que la primera capa. Solamente 0.121 kg de cerámica salió de este pozo.

Figura 3.24: Operación 3, Pozo E, mirando al norte.



Figura 3.25: Operación 3, Pozo E, perfil del muro norte



El Pozo F fue el último pozo excavado en esta operación y fue ubicado cerca del muro de retención al lado oeste de la estructura T203. La estratigrafía de este pozo fue igual a la estratigrafía de los pozos A, B, y C, es decir una sola capa de tierra con color 10 YR 2/1 que queda arriba de la roca madre. Aunque la cantidad de cerámica de este pozo fue muy pequeña (0.646 kg), fue más grande que los demás pozos de la operación, con la excepción del pozo A. Los grupos cerámicos encontrados en el Pozo F son Maxcanu, Oxil, Hunabchen y Xanaba.

Operación 4

La operación 4 enfoca en la estructura T180, al límite suroeste de lo que hemos mapeado del sitio Ticopó-2 (figura 3.1). Consiste en una plataforma con la forma “L” (figura 3.26)., Tiene chi’ich en sus márgenes y no tiene ningunas piedras megalíticas (Figura 3.27). En la esquina noreste su elevación llega a 50cm. Se encuentra mucha cerámica en la superficie en todos los lados de la plataforma, y por eso decidimos excavar alrededor de la estructura. Un total de cuatro pozos fueron excavados.

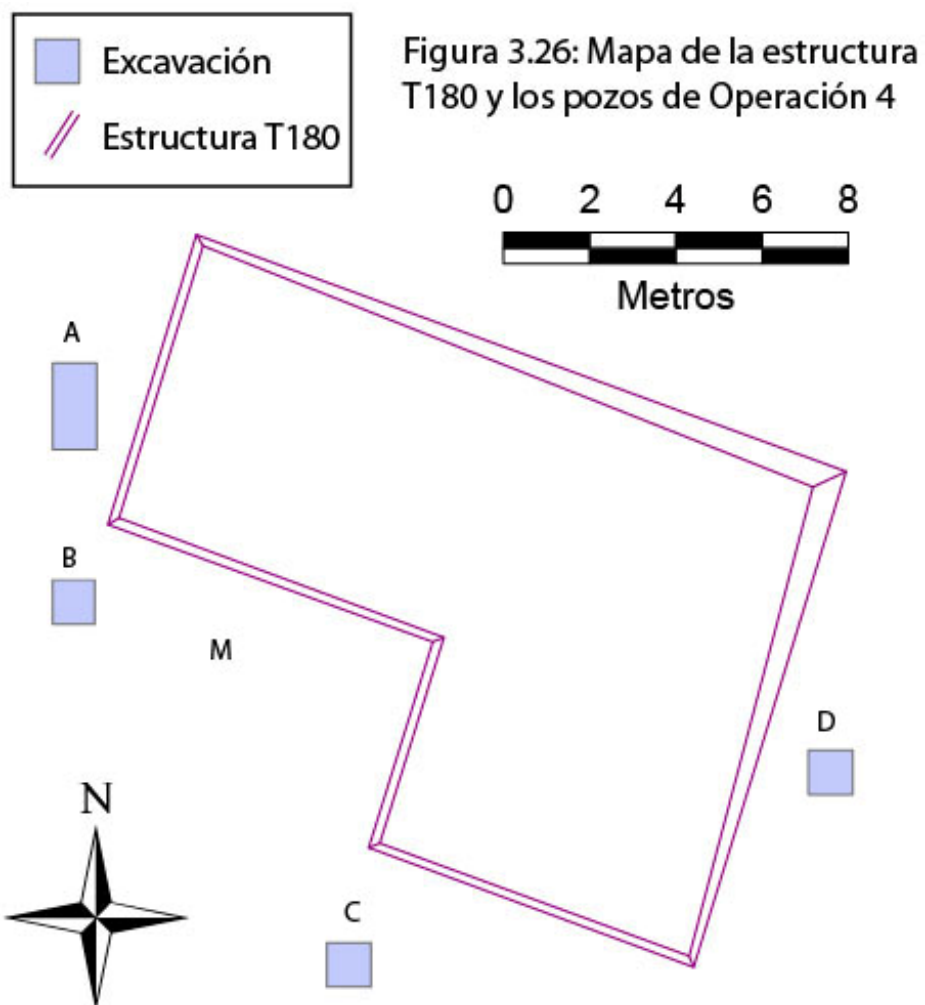


Figura 3.27: Foto de la estructura T180, lado norte, mirando al oeste



El primer pozo de la operación 4, Pozo A, mide 2m por 1m y fue ubicado al lado oeste de la estructura (figura 3.28). El Pozo A tiene solamente una capa de sedimento oscuro, color 10yr 2/2, y termina en roca madre en la parte norte después de 25 cm (figura 3.29). En la parte sur, la excavación llegó a una profundidad de 45 cm. El pozo contiene muchas piedras de 15cm o más, pero no se encontró ningunos rasgos de arquitectura. En total, 2.5kg de cerámica salió de este pozo. Los tiestos que se pueden identificar pertenecen a los grupos Chum, Muna, Chuburna, Oxil, Maxcanu, Navula, y Teabo. Estos grupos fechan para el clásico tardío/terminal y el Posclásico, pero solamente un tiesto (Navula) pertenece al Posclásico. Más cerámica salió de este pozo que cualquier pozo en la temporada. Además de cerámica, encontramos un punto proyectil hecho de pedernal blanco (figura 3.29b). El punto mide 2.11cm x 1.604cm, con un grosor de 0.526cm. Tiene una mella en cada lado y es muy semejante, por su forma y su tamaño, a los “points-on-flake” (Rovner and Lewenstein 1997: fig. 15j) de Dzibilchaltun y Becan.

El pozo B fue ubicado al sur del pozo A (figura 3.26). Al este del pozo hay dos fragmentos de un metate antiguo (figura 3.26). Dado que los metates muchas veces son evidencia de la presencia de una cocina, tuvimos la esperanza de que encontraríamos un basurero con fragmentos de cuchillos y vasijas utilizados para la preparación de comida.

Figura 3.28: Operación 4, Pozo A, mirando al oeste



Figura 3.29: Operación 4, Pozo A, perfil oeste

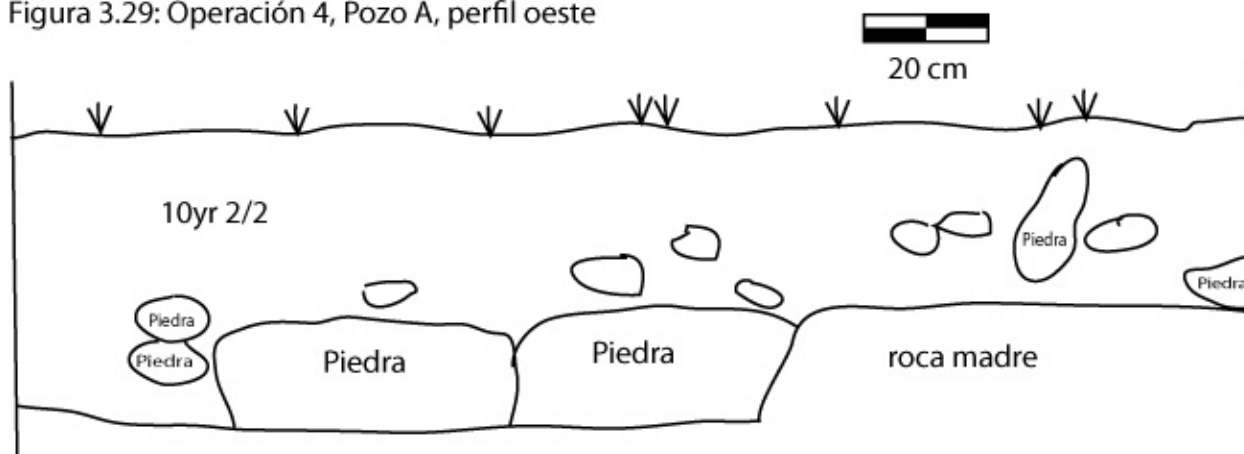


Figura 3.29b: Punto de pedernal, Op. 4, pozo A



Figura 3.30: Metate al suroeste de la estructura T180



El pozo B mide 1m por 1m (figura 3.31). Así como el pozo A de esta operación, tiene solamente una capa de sedimento. Es un sedimento con una mezcla de arcilla y arena, y es muy oscuro: 10yr 2/2. La excavación llegó a roca madre a una profundidad de 40 cm en las esquinas

suroeste y sureste, pero a una profundidad de 20 cm en las esquinas noreste y noroeste. Muchas piedras salieron del pozo, algunos más grande de 15cm, pero la mayoría menos grande. Un total de casi 1kg de cerámica y un fragmento de una navaja prismática de obsidiana salió del pozo. El artefacto de obsidiana se ve en la figura 3.33. Mide 1.481cm por 1.142cm con un grosor de 0.214. Pesa menos de 1g. La mayoría de la cerámica pertenece a grupos que fechan para el Clásico Tardío (Muna, Ich Canziho, Chuburna, Maxcanu y Ticul). Sin embargo, un tiesto pertenece al grupo Joventud, que fecha al Preclásico tardío.

Figura 3.31: Operación 4, Pozo B, mirando al sur



Figura 3.32: Operación 4, Pozo B, perfil sur

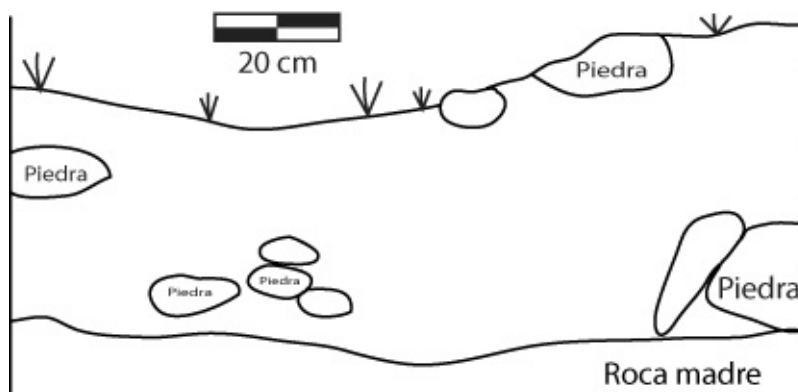
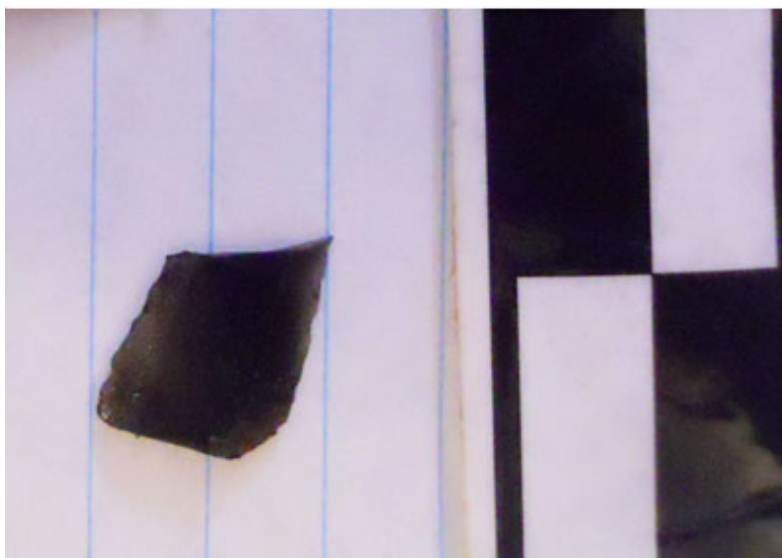


Figura 3.33: Obsidiana de Op. 4, pozo B

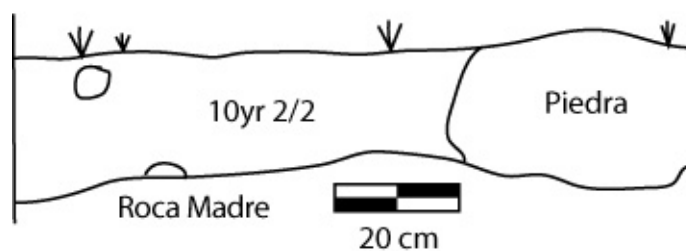


El Pozo C fue ubicado al sur de la estructura T108 en un lugar con una concentración de cerámica en la superficie. La estratigrafía del pozo C contiene solamente una capa arriba de la roca madre (figura 3.34). Se encuentran muchas piedras, desde chicas hasta grandes de 30cm y más, como la piedra en la esquina noreste en el perfil (Figura 3.35). La profundidad promedio es 20cm. El color es 10yr 2/2. Desafortunadamente, muy poca cerámica salió del pozo: solamente 140g. Los tiestos que se pueden identificar pertenecen a los grupos Oxil, Maxcanu, y Muna, los cuales fechan para el Clásico Tardío.

Figura 3.34: Operación 4, Pozo C, mirando al oeste



Figura 3.35: Operación 4, Pozo C, perfil norte



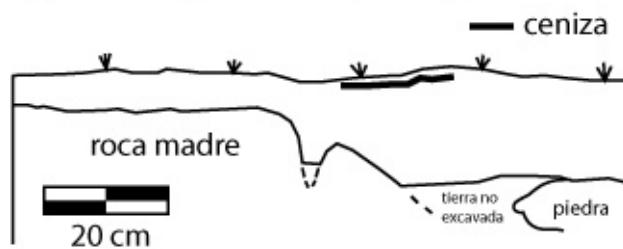
El Pozo D fue ubicado al lado este de la estructura, en un área con muchas piedras chi'ich, como se ve en la foto (figura 3.36). El pozo fue poco profundo en la esquina suroeste,

llegando a roca madre después de 9cm. En otras partes del pozo la profundidad fue 20cm. Solo hubo una capa de sedimento, mezclado con muchas piedras chicas entre 5 cm y 10 cm. El color del sedimento es 10yr 2/2. La estructura T180 parece muy estorbada, y es posible que las piedras en la superficie afuera de los límites de la plataforma han erosionado hacia los suelos circundantes. Igual como el pozo C, muy poca cerámica salió del pozo D: solamente 163g.

Figura 3.36: Operación 4, Pozo D, mirando al oeste

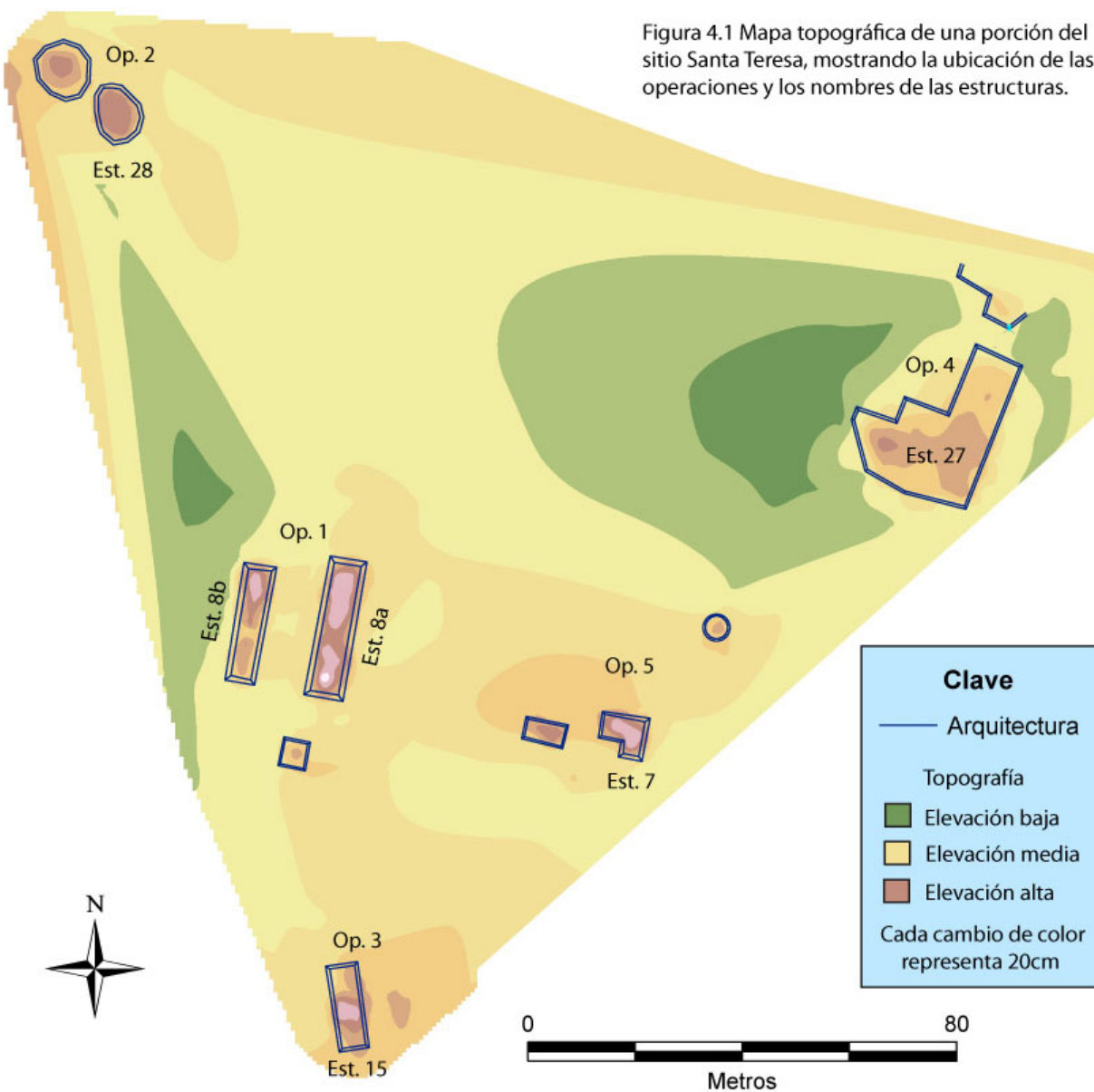


Figura 3.37: Operacion 4, pozo D, perfil oeste



Capítulo 4: Investigaciones en el sitio de Santa Teresa

El sitio de Santa Teresa fue parcialmente mapeada por el PASUC en la temporada de 2009 (Hutson 2010). En 2010, el Proyecto regresó al sitio para recoger una muestra de cerámica para poder fechar el sitio. El sitio nos parecía importante dado que tiene una cancha del juego de pelota (operación 1, estructuras 8a y b). El lugar del sitio originalmente fue anotado por el Atlas



Arqueológico de Yucatán (Garza y Kurjack 1980) y recibió el nombre 16Q-d(5):71. Las investigaciones de 2010 fueron restringidos a cinco lugares, empezando con la cancha del juego de pelota y incluyendo cuatro conjuntos alrededor de la cancha (figura 4.1). Se hizo el mapa en la figura 4.1 con estación total en la temporada de 2010. En total, recibimos permiso para 12 pozos de prueba en seis lugares en Santa Teresa. En el campo, bajamos la cantidad de lugares de seis hasta cinco, pero llevamos a cabo la misma cantidad de pozos—12—ubicando más pozos alrededor de las estructuras 8a y 8b que las otras estructuras. Nuestros esfuerzos fueron más concentrados en estas dos estructuras a causa del juego de pelota.

Operación 8, Estructuras 8a y 8b.

Las estructuras 8a y 8b forman una cancha del juego de pelota. Esta cancha fue descubierto en la temporada de 2009 y mapeada con más detalle en 2010. La figura 4.2 muestra



el callejón central en 2009, antes de la temporada de las lluvias. La orientación del callejón es 10° . La estructura que define el lado este del callejón es la 8a, y mide aproximadamente 26m por 7m. Su altura hoy en día llega a un máximo de 1.2m. La estructura 8b, al lado oeste, mide aproximadamente 22m por 6m y llega a una altura máxima de 1.2m. Al lado oeste de la estructura 8a (el lado que se enfrenta el callejón), se observa dos técnicas de construcción. Se ve el lado oeste de la estructura 8a a la izquierda de la figura 4.2 pero este detalle se presenta mejor en las figuras 4.3 y 4.4. En la primera técnica, en la parte arriba, los constructores utilizaron piedras de aproximadamente 30cm. La segunda técnica, que se observa en la parte baja de la estructura—el talud que llega al callejón—consiste en piedras más pequeñas, de a 10cm. Este

talud tiene una inclinación muy gradual—aproximadamente 20° --y parece ser parte de la terraplén que servía para prohibir la salida de la pelota. La inclinación de la sección con piedras grandes es más vertical, y indica que estas piedras son los residuos del muro de contención de una plataforma arriba del talud. Sin embargo, no se encuentran las mismas dos técnicas de construcción en la estructura 8b, el gemelo de la 8a. En el futuro, se necesitan excavaciones para clarificar la forma original de estas dos estructuras.

Figura 4.3: Foto de la Estructura 8a, mirando al este y mostrando dos técnicas constructivas



Figura 4.4: Foto del lado oeste de la Estructura 8a, mirando al sur y mostrando el cambio de inclinación.



El pozo A mide 1m por 1m y se encuentra por el centro del callejón, cerca del límite de la estructura 8a (ver figura 4.5). La estratigrafía del pozo consiste en dos capas (figura 4.6). La primera capa, un sedimento con muchas piedras entre 5 y 10 cm, es de color 10yr 3/3 y tiene 20cm de profundidad. La esquina sureste tiene una piedra muy grande que no se movió. La segunda capa, un suelo arcilloso, tenía una profundidad de 15cm y el color fue 7.5yr 4/6. Al fondo de esta capa se encontraron piedras planas y laja (figura 4.7). Las piedras planas parecen estar parte de un intento de nivelar la superficie de la roca madre. Ningunos artefactos salieron de este pozo.

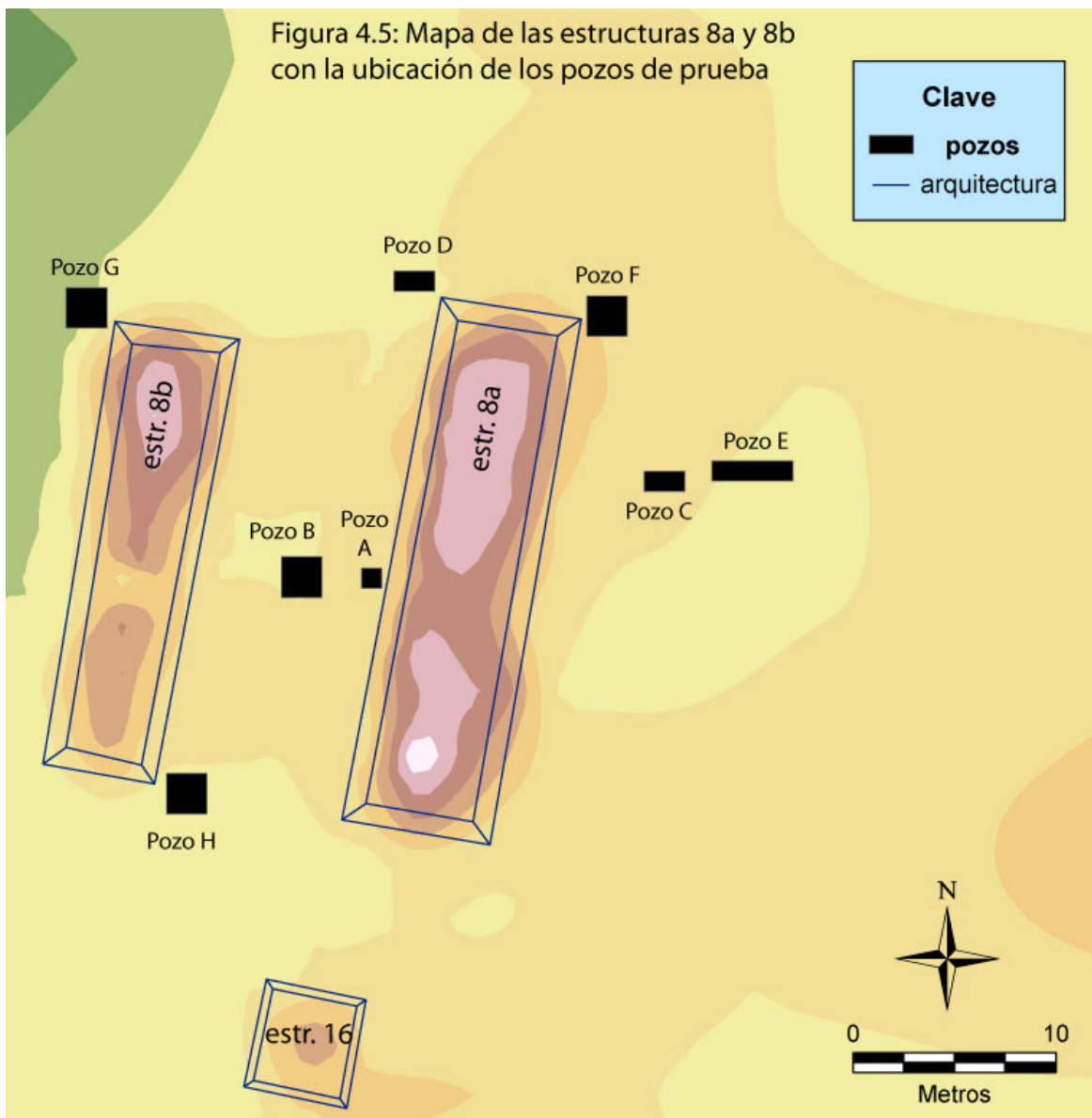


Figura 4.6: Operación 1, Pozo A, perfil del muro norte

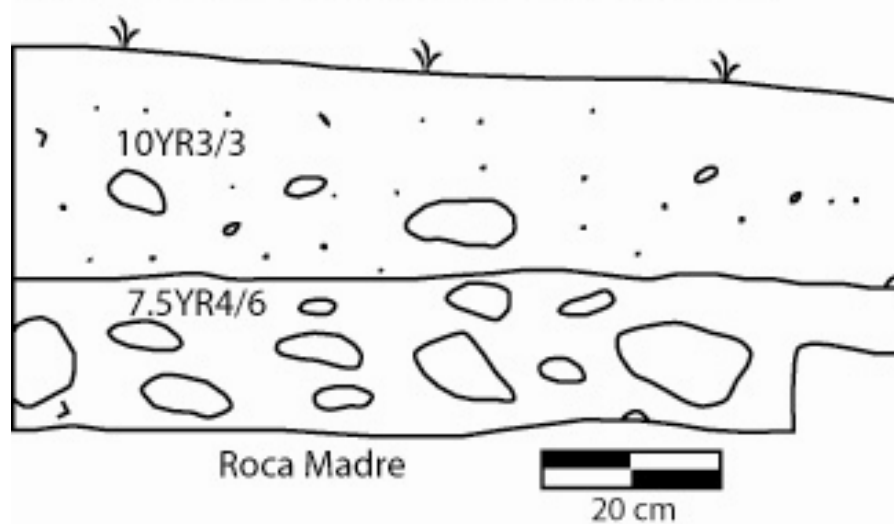


Figura 4.7: Operación 1, Pozo A, fondo con roca madre y lajas.



El Pozo B mide 2m por 2m y fue ubicado en el centro del callejón (ver figura 4.5). El intento de la excavación fue averiguar si las lajas que se encontraron al fondo del pozo A también se encuentran en otras partes del callejón de la cancha del juego de pelota. La estratigrafía de este pozo fue igual a la del pozo A: una capa de sedimentos de color 10yr 3/3 arriba de una capa de sedimentos de color 7.5yr 4/6. Resulta que debajo de la segunda capa se encuentra el mismo nivel de piedras planas que posiblemente formaban la superficie antigua del callejón. Esta superficie de piedras planas se encuentra a una profundidad de 40 cm. Las piedras están rodeadas por un sedimento arcilloso con el color 10yr 5/4.

Figura 4.8: Operación 1, Pozo B, perfil del muro sur

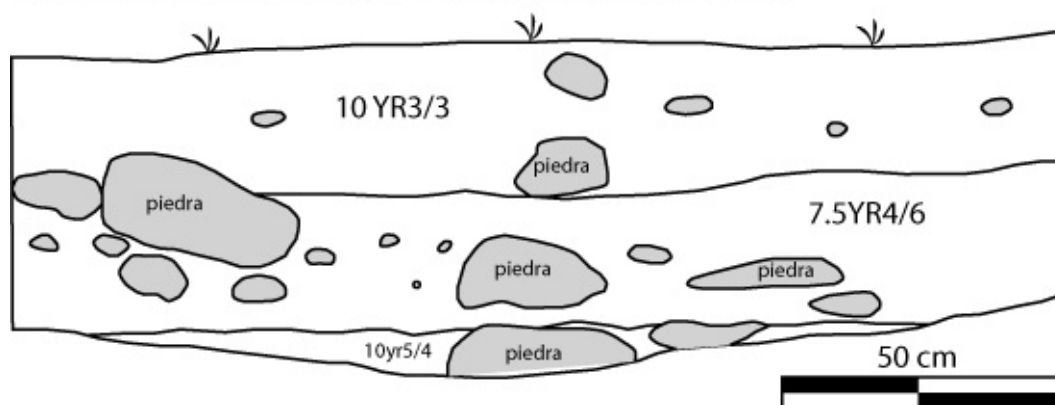


Figura 4.9: Operación 1, Pozo B, fondo con roca madre y piedras planas



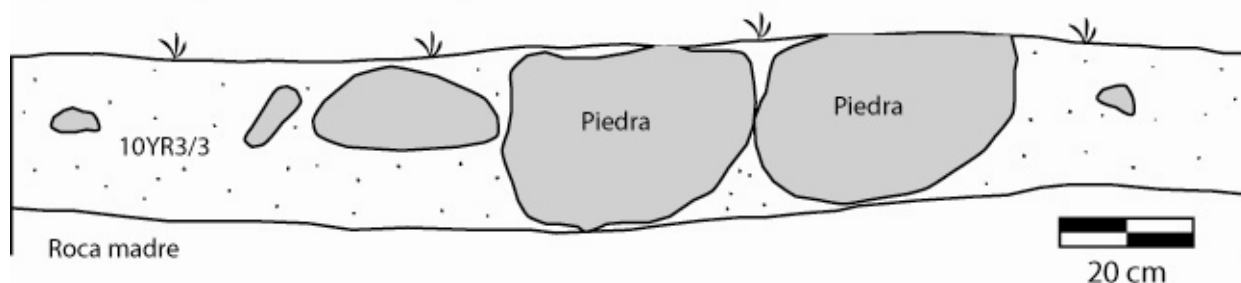
El pozo C fue ubicado al lado este de la estructura 8a. Otros estudios arqueológicos del juego de pelota han documentado evidencia de banquetes en los espacios atrás de la cancha (Fox 1996, Lohse en prensa). La evidencia más fuerte de banquetes antiguos consiste en altas cantidades de cerámica para servir comida (cajetes, platos, vasijas cilíndricas) y residuos arqueobotánicos y arqueozoológicos de comidas prestigiosas (ver Dietler y Hayden 2001; LeCount 2001). Nosotros ubicamos pozos atrás de la cancha con el intento de averiguar si estos espacios tienen evidencias de banquetes. Del pozo C, que mide 2m x 1m, salió menos de 0.1kg de cerámica. Esta cantidad baja de cerámica indica que el área atrás de la estructura 8a no fue la escena para banquetes. Sin embargo, no se puede hacer ninguna conclusión a base de una excavación tan pequeña. Regresamos a este tema en la consideración del pozo E.

El pozo C tiene solamente una capa estratigráfica arriba de la roca madre. Esta capa contiene una cantidad baja de piedras de 1cm hasta 35cm. Las piedras más grandes se encuentran en el centro del pozo. El sedimento es de color 10yr 3/3, y tiene una profundidad de 28cm (figuras 4.10 y 4.11).

Figura 4.10: Operación 1, Pozo C, mirando al oeste.



Figura 4.11: Operación 1, Pozo C, perfil del muro sur



El Pozo D fue ubicado cerca de la esquina noroeste de la estructura 8a (ver figura 4.5). Este pozo mide 2m x 1m y tiene solamente una capa estratigráfica arriba de la roca madre. Esta capa es poca profunda, con un grosor de 10cm en muchos lugares. En el centro del pozo, hay una cavidad donde la profundidad de sedimento llega a 25cm. Sin embargo, el alto nivel de roca madre en lo demás del pozo nos confunde porque la roca madre acá es aproximadamente 25cm más alto que la superficie de la cancha de pelota que encontramos en el pozo B. Esto puede indicar que la superficie de la cancha no fue perfectamente nivelada, o, tal vez, la superficie que encontramos en el centro del callejón en el pozo B no es la verdadera superficie. Ningunos artefactos salieron de este pozo.

Figura 4.12: Operación 1, Pozo D, mirando al norte.



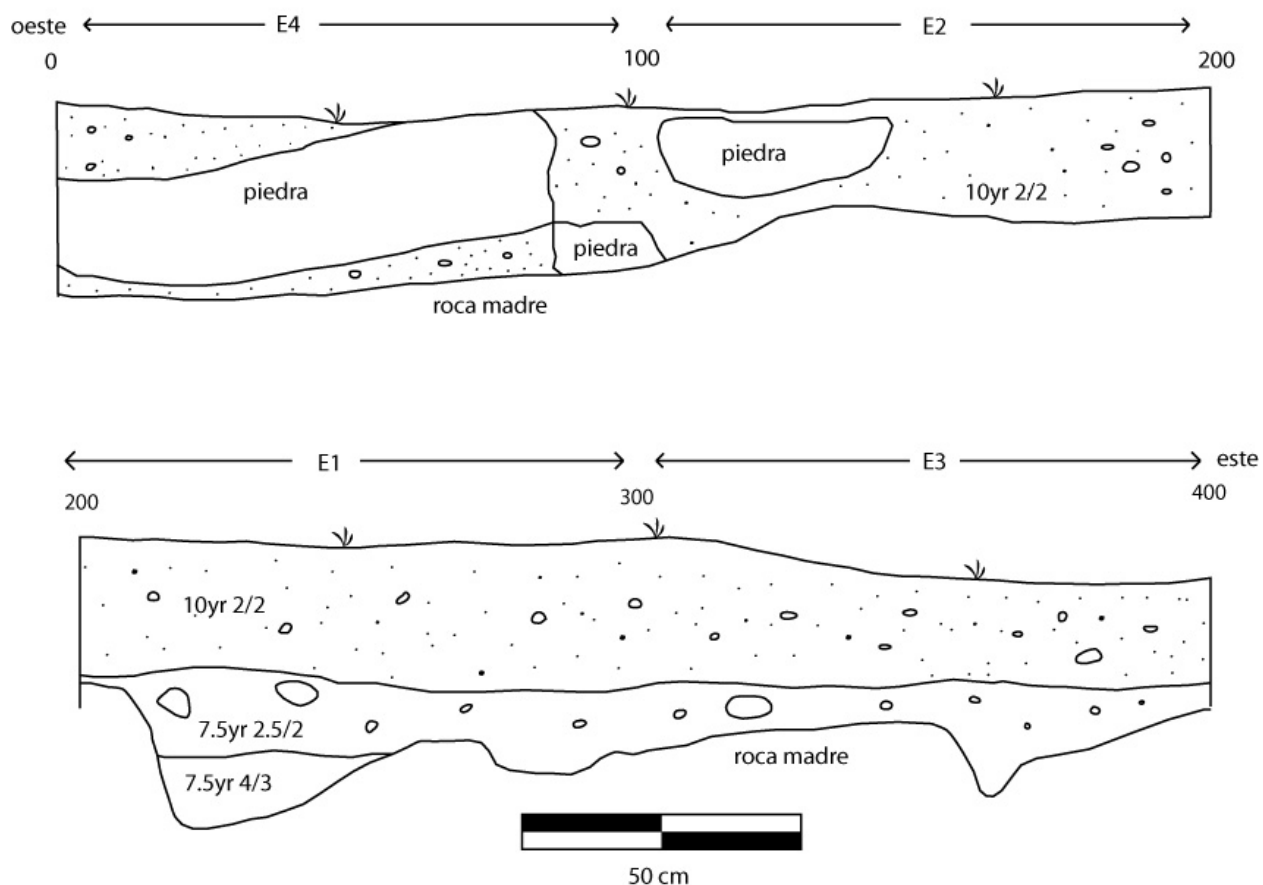
El pozo E, igual como el pozo C, fue ubicado al lado este de la estructura 8a. Muy poca cerámica salió del pozo C, pero tuvimos más suerte con el pozo E. El pozo E empezó como un 1m por 1m, pero fue extendido hasta una cala de 4m por 1m a causa de las buenas cantidades de cerámica. No obstante, cuando decimos “buena cantidad”, hablamos en relación a los demás pozos de esta operación que fueron mayormente vacíos con respecto a la cerámica. En otras palabras, muy poca cerámica salió del pozo E, pero fue mucha comparada con lo que salió de los otros pozos. Por ejemplo, la densidad de cerámica del pozo E es 798 g/m³. Tabla 1 abajo da una comparación de las densidades de todos los pozos de la operación, y muestra que la densidad de cerámica en el pozo E es cuatro veces más grande que cualquier otro pozo. De hecho, las tres densidades más altas provienen del lado este de la estructura 8a. Aunque no es evidencia de banquetes, la distribución de cerámica alrededor de la cancha del juego de pelota indica que la deposición de cerámica era mucho más común detrás del juego de pelota. El centro del callejón y las esquinas de las estructuras no tienen ninguna cerámica o tienen muy poca cerámica. Un mapa de la distribución de cerámica muestra estos patrones en la figura 4.13b.

Tabla 4.1: Densidad de cerámica de los pozos de Operación 1, Santa Teresa

Pozo	Cerámica (gramos)	Volumen M ³	Densidad de cerámica
A	0	0.45	0
B	0	1.6	0
C	91	0.56	162
D	0	0.3	0
E	918	1.15	798
F	213	1.08	197
G	40	1.2	33
H	0	1	0

Cada de las cuatro unidades de 1m x 1m que componen el pozo E recibieron sus propios números. como se ve en la figura 4.5, la cala corre oeste/este. De oeste a este, los nombres de las unidades de 1m por 1m son E4, E2, E1, y E3 (ver también figura 4.13). La primera capa estratigráfica es un sedimento con una profundidad de 20cm y de color 10yr 2/2 (4.13). Piedras angulares y redondas, y de todos tamaños, de 5cm hasta 80 cm, son comunes en esta cala. En las unidades E2 y E4, la primera capa se encuentra directamente arriba de la roca madre. La segunda capa solamente existe en el lado este del pozo en las unidades E1 y E3.

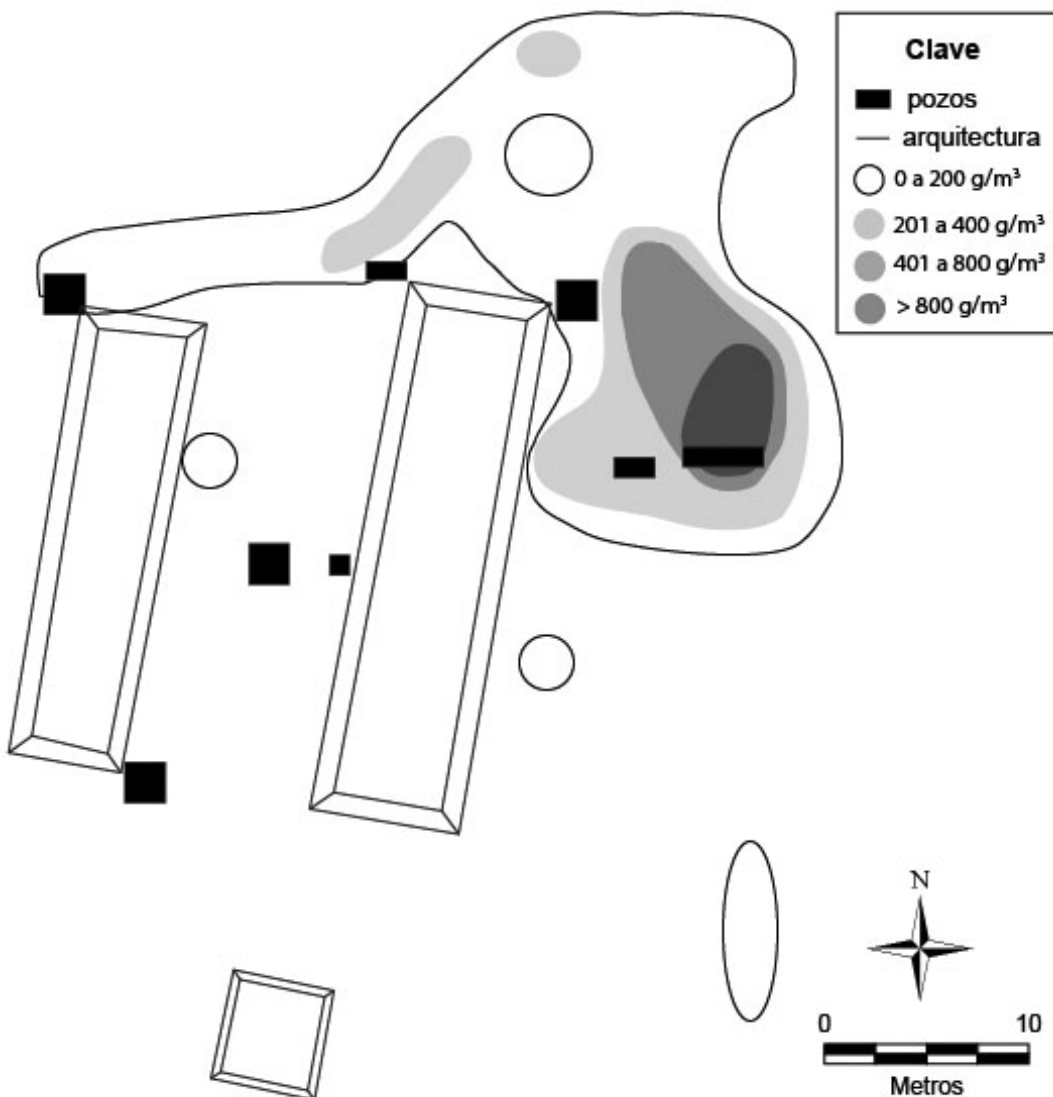
Figura 4.13: Operación 1, Pozo E, perfiles del muro norte.



El promedio de la profundidad de la segunda capa es 10cm, pero debido a la forma de la roca madre debajo de esta capa, hay un lugar donde la profundidad llega a 20cm. El color de este sedimento es 7.5yr 2.5/2 y el sedimento tiene más arcilla que el sedimento de la primera capa. La

tercera capa solamente se encuentra en un huequito al fondo de la unidad E1. Esta capa es una arena de color 7.5yr 3/4. Tiestos de los grupos cerámicos Muna, Teabo, Chum y Chuburna fueron identificados. Todos estos grupos pertenecen al Clásico tardío.

Figura 4.13b: Densidad de cerámica distribuida por el juego de pelota



El pozo F fue ubicado cerca de la esquina noreste de la estructura 8a (ver figura 4.5). La excavación quitó la primera capa de tierra (cuya color es de 10yr 2/2), llegando a roca madre en la esquina suroeste a una profundidad de 40cm (figura 4.14). En otras partes del pozo, una serie

de piedras se encontró debajo de esta capa de sedimentos. Estas piedras se ven en la figura 4.15. como se ve en el perfil (figura 4.14) estas piedras no están al mismo nivel, lo cual indica que no son parte de un piso o superficie construida intencionalmente. En un área de aproximadamente 40cm x 40cm, localizado a la derecha de la flecha norte en la figura 4.15, las piedras tienen un color gris, como si fueran quemadas. No se encontraron claras evidencias de un fogón ni tiestos grandes. Por esto no se puede decir con certeza si esto fue un residuo de un fuego de cocina u otro tipo de fuego cultural. Sin embargo, más cerámica que normal salió de este pozo (ver la tala 4.1). Las piedras debajo de la capa 1 fueron dejadas en su lugar original y el pozo fue rellenado con tierra. Tiestos de los grupos cerámicos Muna, Teabo, Chum y Maxcanu fueron identificados en este pozo. Todos estos grupos pertenecen al Clásico tardío aunque Maxcanu se puede aparecer en el Clásico Medio.

Figura 4.14: Operación 1, Pozo F, perfil del muro sur

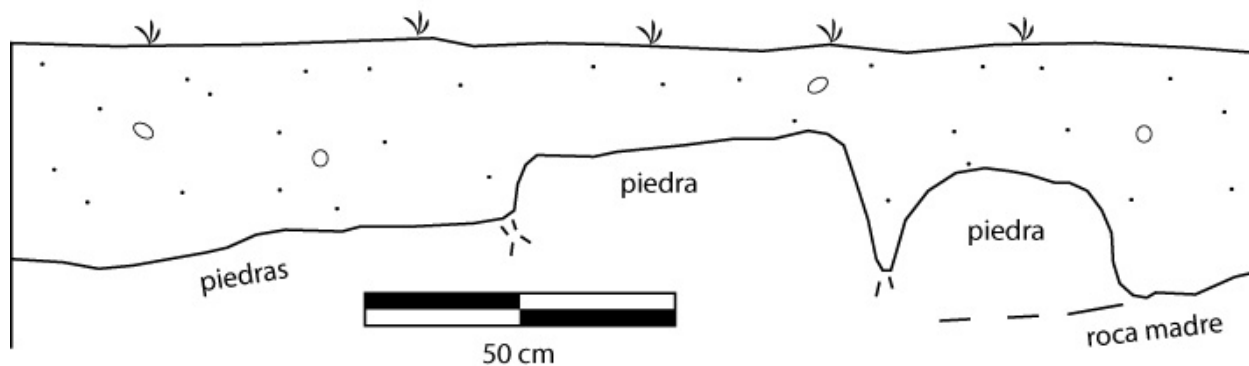
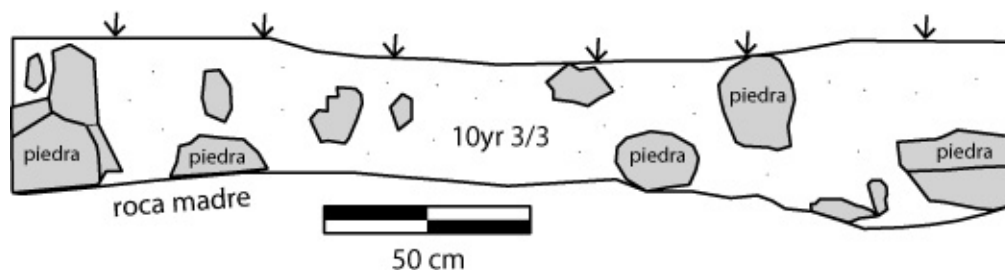


Figura 4.15: Operación 1, Pozo F, mirando al sur



El pozo G fue ubicado cerca de la esquina noroeste de la estructura 8b (ver figura 4.5). La estratigrafía consiste en solamente una capa de sedimento arcilloso. El pozo terminó en roca madre a una profundidad de 30 cm. El color del sedimento es 10yr 3/3. El sedimento también contiene piedras de 5cm hasta 30cm. Solamente 40g de cerámica salió del pozo.

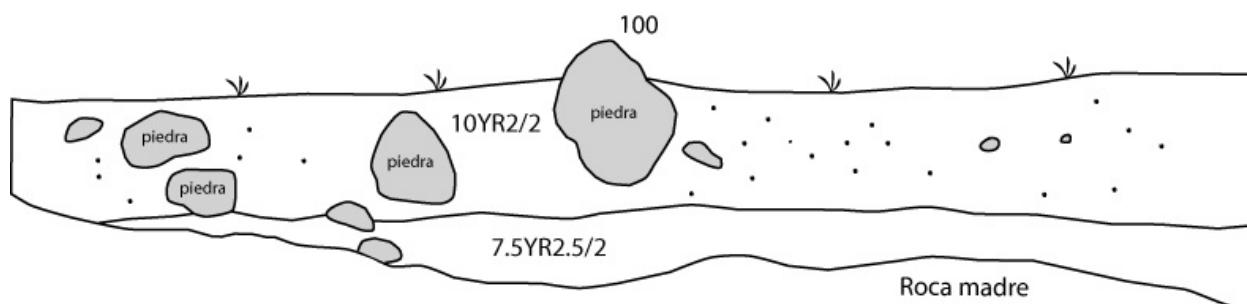
Figura 16: Operación 1, Pozo G, perfil del muro este



El pozo H, el último pozo de la Operación 1 en Santa Teresa, fue ubicado cerca de la esquina sureste de la estructura 8b. Eso es parte del callejón de la cancha del juego de pelota. A causa de esto, cuando iniciamos el pozo, estábamos muy curiosos averiguar si hubiera una superficie de lajas al fondo del pozo así como en el pozo B. El pozo D, en la esquina noreste del callejón, no tuvo ninguna superficie de laja, y la roca madre se encuentra más elevada que la roca madre del pozo B. El pozo H contiene dos capas de tierra (Figura 4.17). La primera capa es un sedimento con el color 10yr 2/2. Hay variación en el grosor de esta capa: entre 15cm y 25cm. Ningunos artefactos pertenecen a esta capa. En la esquina noroeste y la parte sur, se encuentra roca madre debajo de la capa 1. En las demás áreas del pozo, se encuentra la capa 2 debajo de la capa 1. Esta capa es un sedimento arcilloso con el color 7.5yr 2.5/2. Hay variación en el grosor de esta capa: entre 1cm y 15cm. Tampoco salieron artefactos de esta capa. No se encontró piedras planas arriba de la roca madre en este pozo. Por esto, el pozo H se asemeja más al Pozo D que el pozo B. Si las piedras planas arriba de la roca madre al fondo del pozo B representan la

superficie antigua de la cancha del juego de pelota, esta superficie no llega a los fines norte y sur del callejón. Además, la elevación de la roca madre en el pozo H presenta una variación de más de 20 cm, lo cual indica que la roca madre no hubiera servido bien como una superficie para el juego de pelota. Es posible que la línea nivelada donde tocan las capas 1 y 2 fue la superficie de la cancha en esta área.

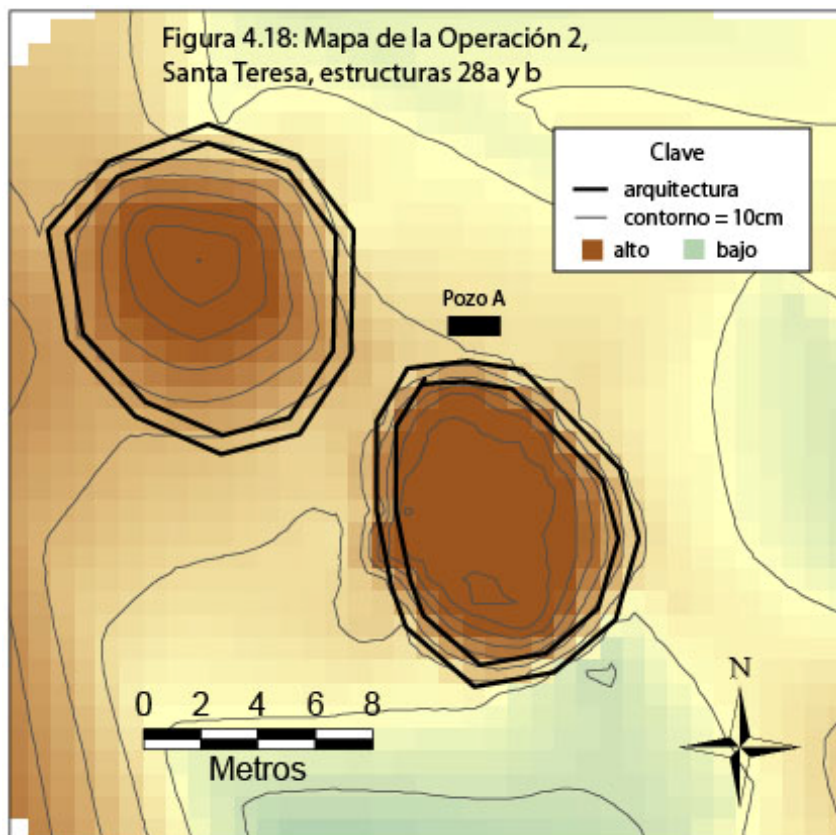
Figura 4.17: Operación 1, Pozo H, perfil del muro norte



Estos detalles de los fondos y superficies del callejón del juego de pelota indican que la construcción de la cancha del juego de pelota no fue muy formal. Parece que los esfuerzos que gastaron en la construcción de la cancha no fueron grandes. Sin embargo, esto no quiere decir que el juego de pelota no fue importante para la comunidad.

Operación 2

La Operación 2 se enfoca en las estructuras 28a y b, localizadas al norte del juego de pelota (figuras 4.1 y 4.18). Estas dos estructuras son redondas y miden 11m por 9m por 0.7m (la 28a, a la derecha en la figura 4.18) y 11.4 por 10.4 por 0.6 (la 28b, a la izquierda en la figura 4.18). Solamente se excavó un pozo en esta operación, el pozo A, ubicado al lado norte de la estructura 28a (figura 4.18). El pozo tiene tres capas estratigráficas. La primera tiene una profundidad de entre 2cm y 40cm. La tierra es de color 10yr 2/2 y tiene algunas piedras chicas.



La segunda capa del pozo A tiene una profundidad de entre 10cm y 15cm. La tierra es de color 7.5yr 2.5/2 y consiste en sedimentos más arcillosos que la primera capa. La tercera capa llega hasta la roca madre. Es una tierra arenosa cuya color es 7.5yr 4/3. No hay ningunas piedras en esta capa. La roca madre se encuentra a 70cm debajo de la superficie. Ningunos artefactos fueron encontrados en este pozo. Por esto, no se sabe la función de estas estructuras.

Figura 4.19: Operación 2, Pozo A, perfil del muro norte

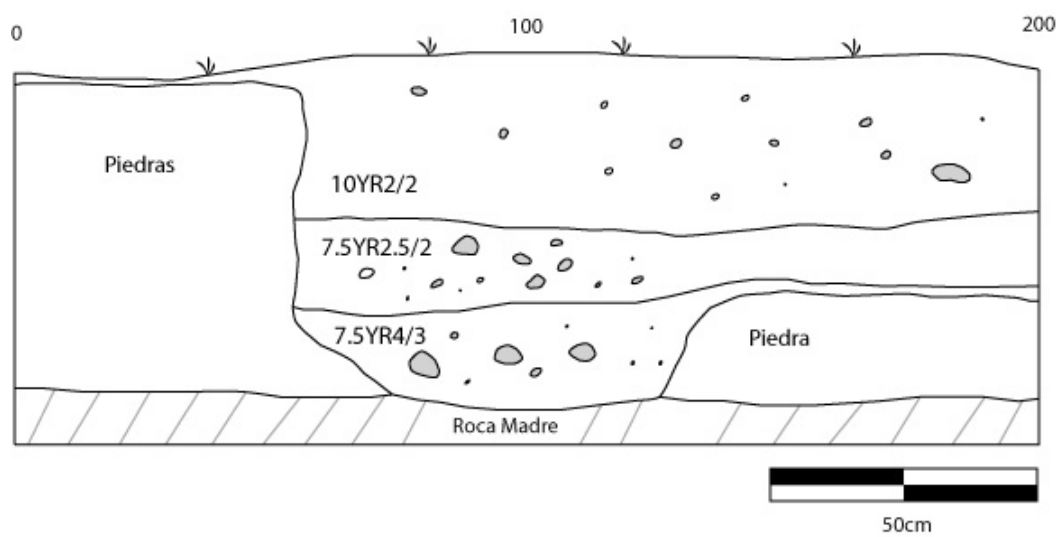


Figura 4.20: Operación 2, Pozo A, mirando al norte



Operación 3

La operación 3 se enfoca en las estructura 15, que se encuentra unos 50m al sur del juego de pelota (figuras 4.1). La estructura es una plataforma arriba de la cual hay dos cimientos, uno al sur, el otro al norte (figura 4.21). Están separadas por solamente 2m. El cimiento al sur es más grande (mide 8m norte/sur por 5m este/oeste) y tiene una forma poligonal. El cimiento al norte, mide 5m norte/sur por 3m este/oeste y tiene una forma elipsoidal (figura 4.22). Solamente se excavó un pozo en esta operación, el pozo A, ubicado al lado norte del cimiento norte (figura 4.21)..

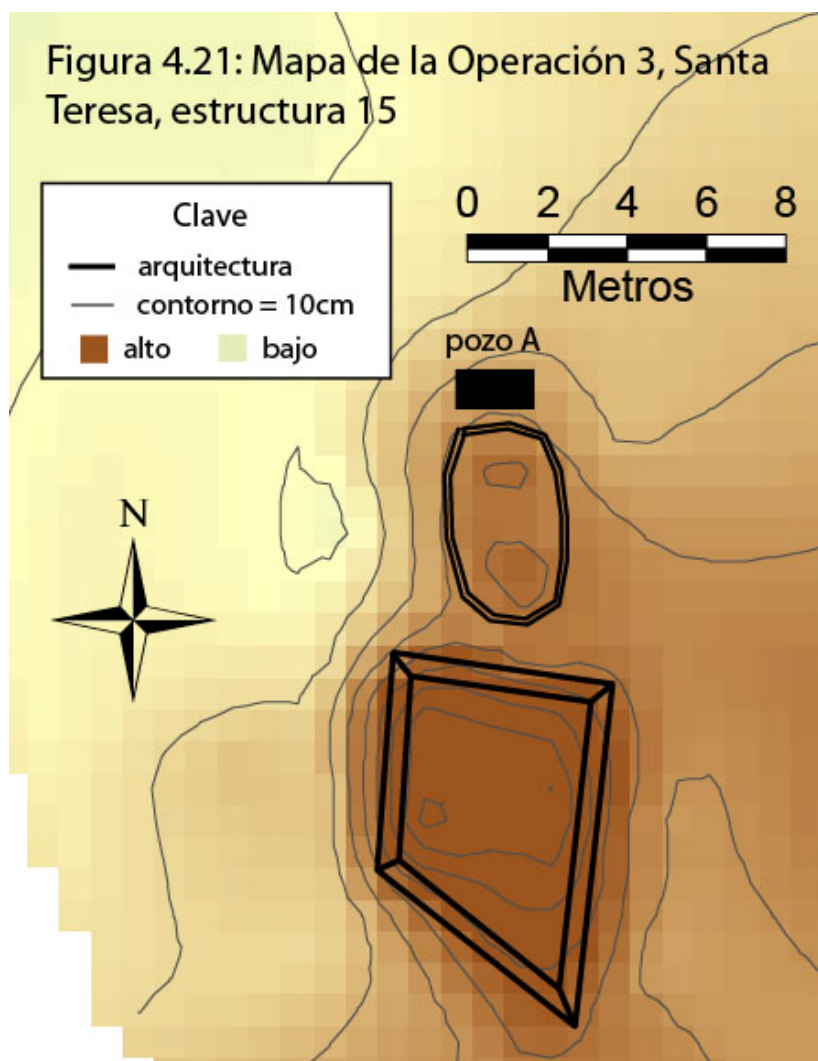
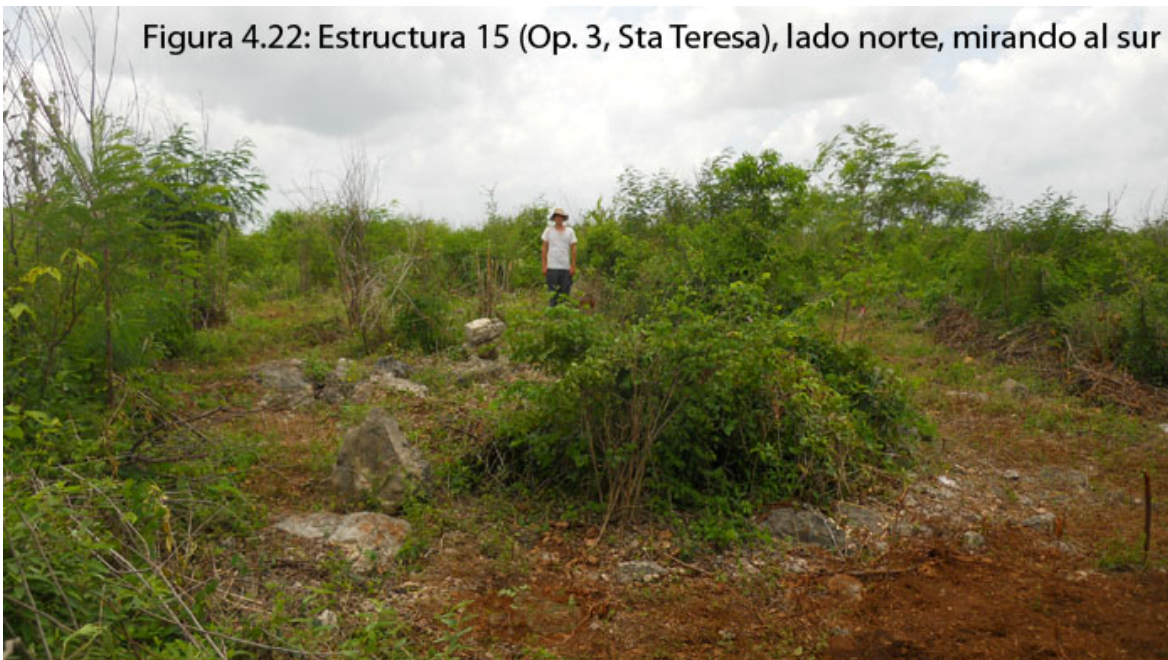
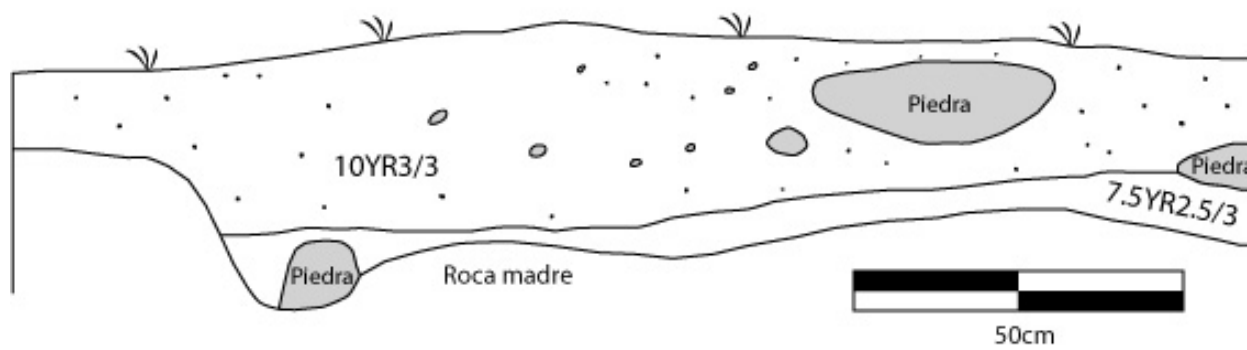


Figura 4.22: Estructura 15 (Op. 3, Sta Teresa), lado norte, mirando al sur



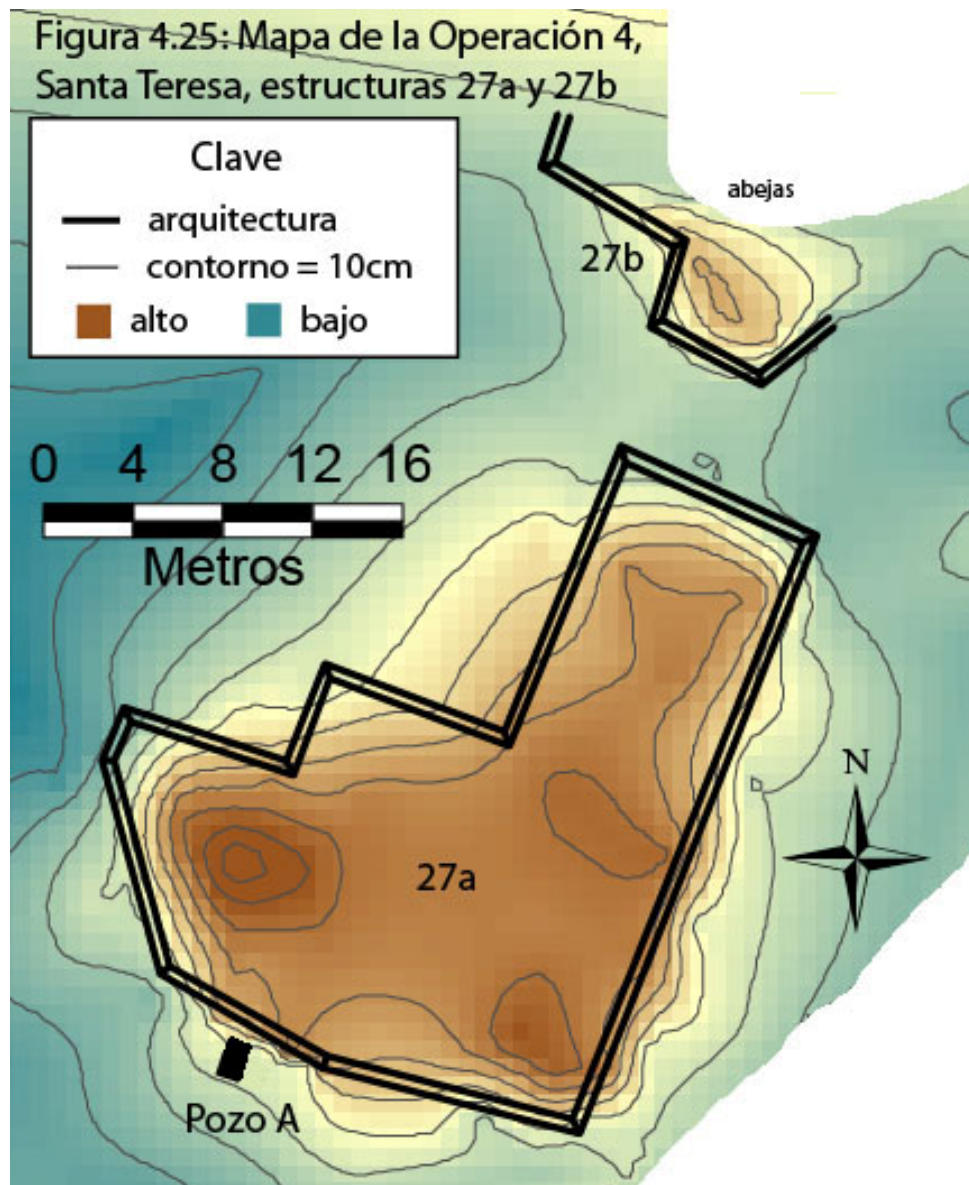
El pozo A (el único pozo) tiene dos capas (figuras 4.23 y 4.24). La primera capa tiene el color 10yr 3/3 y es un sedimento con piedras de varios tamaños. Su profundidad mide entre 15 y 35 cm. La segunda capa tiene el color 7.5yr 2.5/3 y es un sedimento arcilloso. Su profundidad es menos de 10cm. Debajo de la segunda capa se encuentra roca madre. Solamente 11g de cerámica salieron de este pozo y fueron demasiado erosionados para identificar.

Figura 4.23 Operación 3, pozo A, perfil del muro sur



Operación 4

La operación 4 consiste en las estructuras 27a y 27b. Estas dos estructuras están a 100 metros al este del juego de pelota (ver figura 4.1 y 4.25). Las estructuras 27a y 27b son ejemplos buenos del estilo megalítico doméstico (figuras 4.26 y 4.27).



Desafortunadamente, habían un nido de abejas africanas en la estructura 27b y por esto no fue posible limpiar la estructura para un croquis completo. Sin embargo, dos metates están asociados con la estructura. La estructura 27a mide 25m x 25m y tiene una forma que se asemeja la letra “L”. Aunque no se ven cimientos arriba de la plataforma, las diferencias en la elevación indican la presencia de una superestructura al lado oeste de la plataforma y otra superestructura por la esquina sureste de la plataforma.

Figura 4.26: Figura 4.26: Operación 4, estructura 27a, muro norte con piedras megalíticas, mirando al este.



Como se observa en la figura 4.27, los muros megalíticos sirven para retener un relleno de chi'ich. La elevación máxima de la estructura 27a es 90cm.

Figura 4.27: Estructura 27b, muro megalítico, mirando al norte

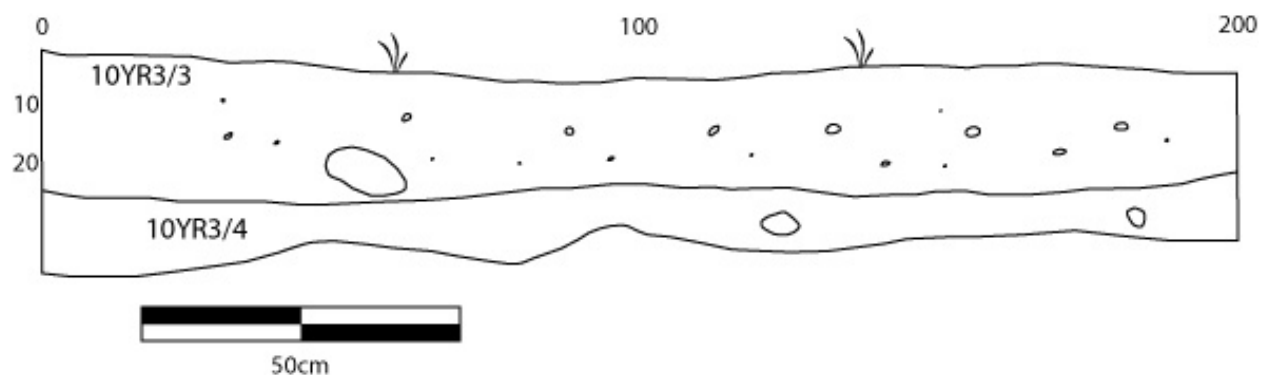


La figura 4.25 muestra la ubicación del único pozo en la operación, el pozo A. Este pozo mide 2m por 1m. El Pozo A tiene dos capas de sedimentos. La primera capa tiene un grosor de 20cm. Su color es 10yr 3/4. Tiene una cantidad pequeña de piedras de 5cm a 20cm. La segunda capa es más arenosa, tiene menos piedras, y tiene el color 10yr 3/4. El grosor promedio es 10cm y se encuentra la roca madre debajo. Casi 200g de cerámica salieron del pozo. Esta cerámica pertenece a los grupos Muna, Teabo, Chum y Maxcanu. Todos estos grupos pertenecen al Clásico Tardío.

Figura 4.28: Operación 4, Pozo A, mirando al noroeste



Figura 4.28a: Operación 4, Pozo A, perfil del muro sureste.



Operación 5

La operación 5 consiste en tres estructuras (7a, 7b, y 7c) que se encuentran aproximadamente 40m al este del juego de pelota (figura 4.29). La estructura 7b es el más grande (figura 4.30). Mide 10m por 8m por 0.75m y tiene la forma "L". La estructura 7a mide 9m por 4.5m por 0.5m y es cuadrangular. La estructura 7c es redonda con un diámetro de 5m y una elevación de 0.4m. Este conjunto de estructuras parece doméstico pero no se encuentran ningunos metates.

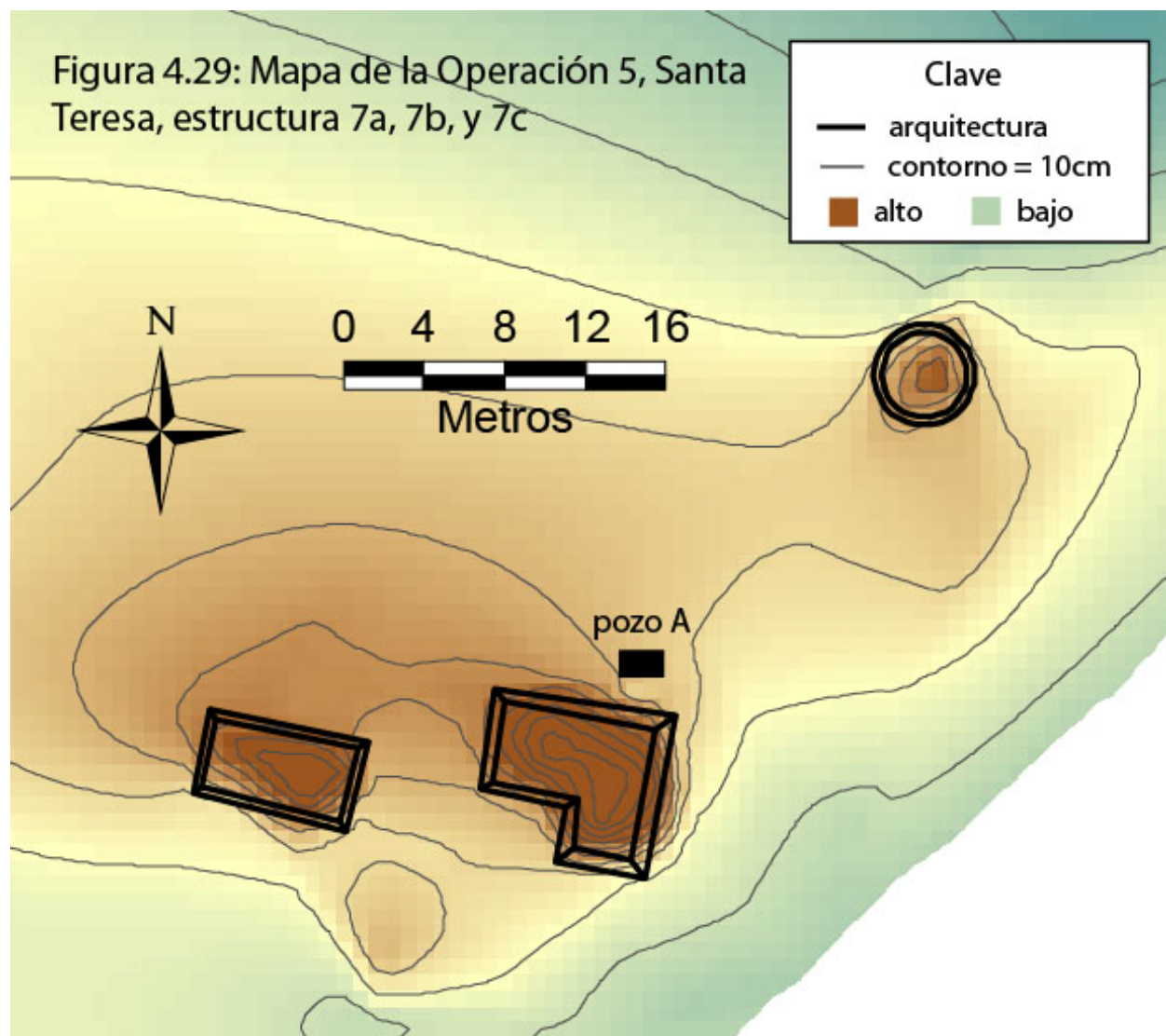


Figura 4.30: Foto de la estructura 7b (a la derecha), lado norte, mirando al este. Se ve el pozo A (Op. 5) llenado después de excavación



El único pozo que se excavó en este conjunto es el pozo A, que fue ubicado al norte de la estructura 7b. En la figura 4.30 se ve el pozo A después de rellenar. El Pozo A fue el más profundo de la temporada, llegando a una profundidad de 90cm (figuras 4.31 y 4.32). Sin embargo, solamente encontramos un solo artefacto en este pozo: un tiesto de cerámica. El pozo A tiene tres capas estratigráficas. El grosor de la primera capa es 10cm en la esquina sureste y 28cm en la esquina suroeste. La segunda capa tiene un grosor de entre 20cm y 30cm. Las primeras dos capas tienen gravilla y piedras con una largura de hasta 30cm. La tercera capa es la última antes de roca madre y tiene un grosor de 50cm en la esquina sureste y 20cm en la esquina suroeste. LA roca madre es más alta en el lado oeste del pozo. Los colores de las tres capas son 10yr 2/2, 10yr 3/3, y 10y5 3/6.

Figura 4.31: Operación 5, pozo A, perfil del muro norte

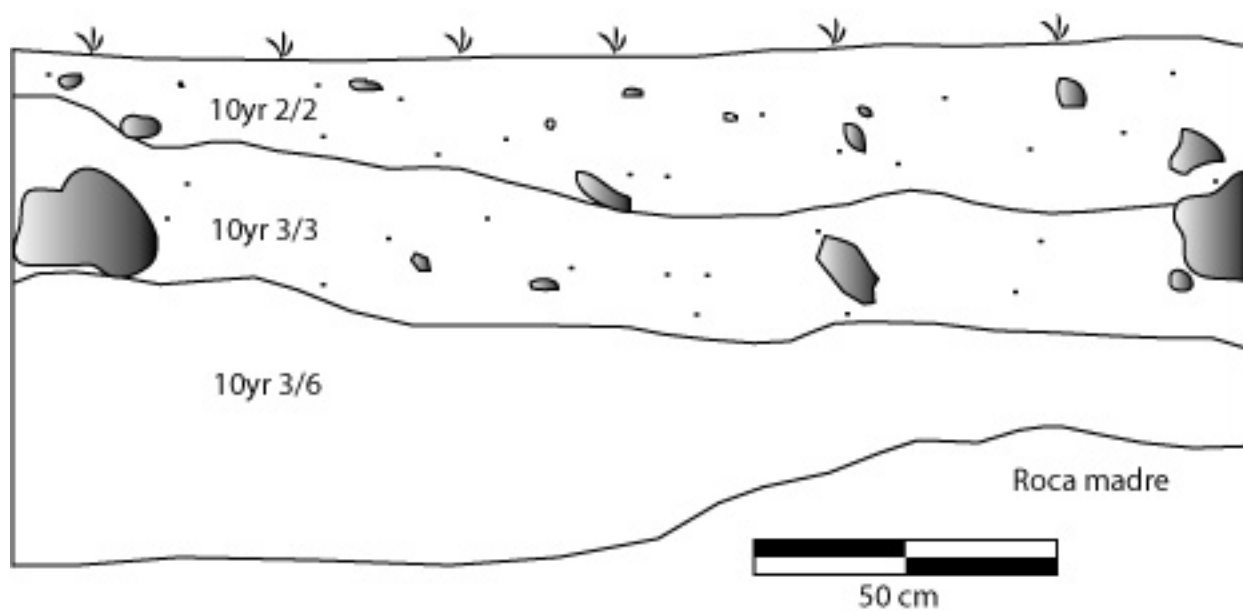
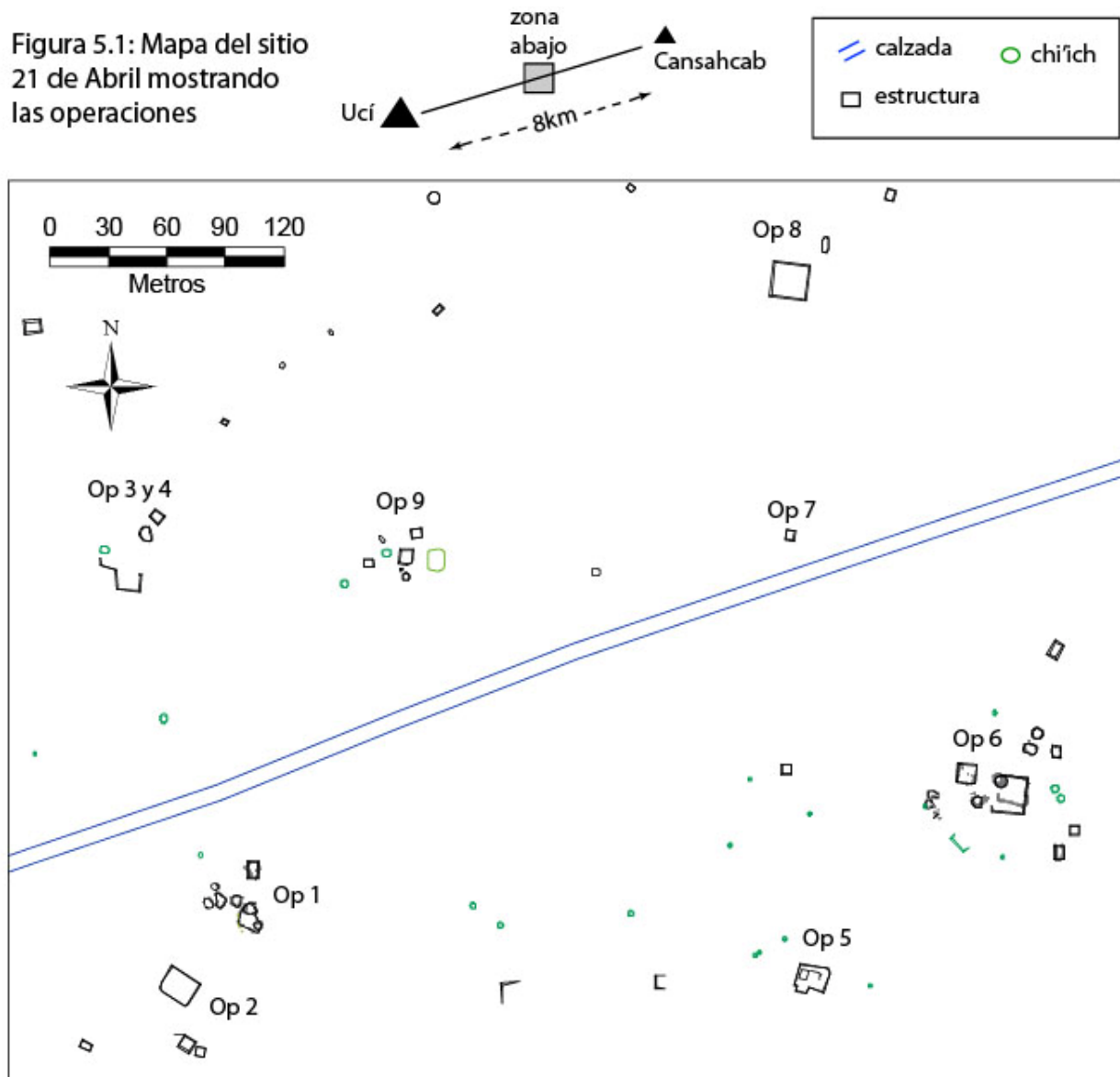


Figura 4.32: Operación 5, Pozo A, mirando al sur



Capítulo 5: 21 de Abril/Jacinto

El sitio 21 de Abril/Jacinto fue descubierto en 2009 y recibió el nombre “Jacinto” para mostrar respeto al dueño del terreno, que se llama Jacinto Herrera. En 2010, Jacinto nos pidió que se usa el nombre 21 de Abril para referirse a los montículos en su terreno. En la solicitud



para trabajo de campo, pedimos permiso para pozos de prueba en diez lugares. Dado la corta duración de la temporada de campo de 2010, la cantidad de excavación fue bastante poco. Solamente llevamos a cabo investigaciones en nueve lugares, y resulta que dos de estas nueve (operación 3 y 4) son el mismo. La figura 5.1 muestra la ubicación de las operaciones en el sitio 21 de Abril/Jacinto.

Operación 1

La Operación 1 se enfoca en las estructuras 38s14, 38s21, 38s22, 38s23 y 38s27. Treinta y cinco metros al norte de este grupo de estructuras se encuentra el *sacbé* entre Ucí y Kancab. La figura 5.2 es un mapa de estas estructuras que muestra cada piedra bien preservada en los bordes de las estructuras. La figura 5.3 muestra los datos topográficos para este grupo de estructuras. En particular, se ve que las estructuras fueron construidas en una inclinación leve. Por ejemplo, el punto más sureño de la estructura 38s14 está 80cm más bajo que un punto 20m al norte en la estructura 38s23. La figura 5.3 comunica el hecho de que, con la excepción de la estructura 38s27 (que se encuentra en la parte más elevada), los habitantes de este grupo no se aprovecharon de las ventajas asociadas con la ocupación de la tierras más elevada.

En la cima de la inclinación, hay una depresión con una profundidad de más de 70cm. Es posible que esta depresión representa una cantera donde sacaron piedra para construir las estructuras o posiblemente el *sacbé*, que se encuentra solamente 20m al norte. Como se comenta abajo, los dos pozos excavados en esta depresión proporcionan evidencia de una cantera.

Figura 5.2: Mapa del conjunto arquitectónico de la Operación 1, sitio 21 de Abril

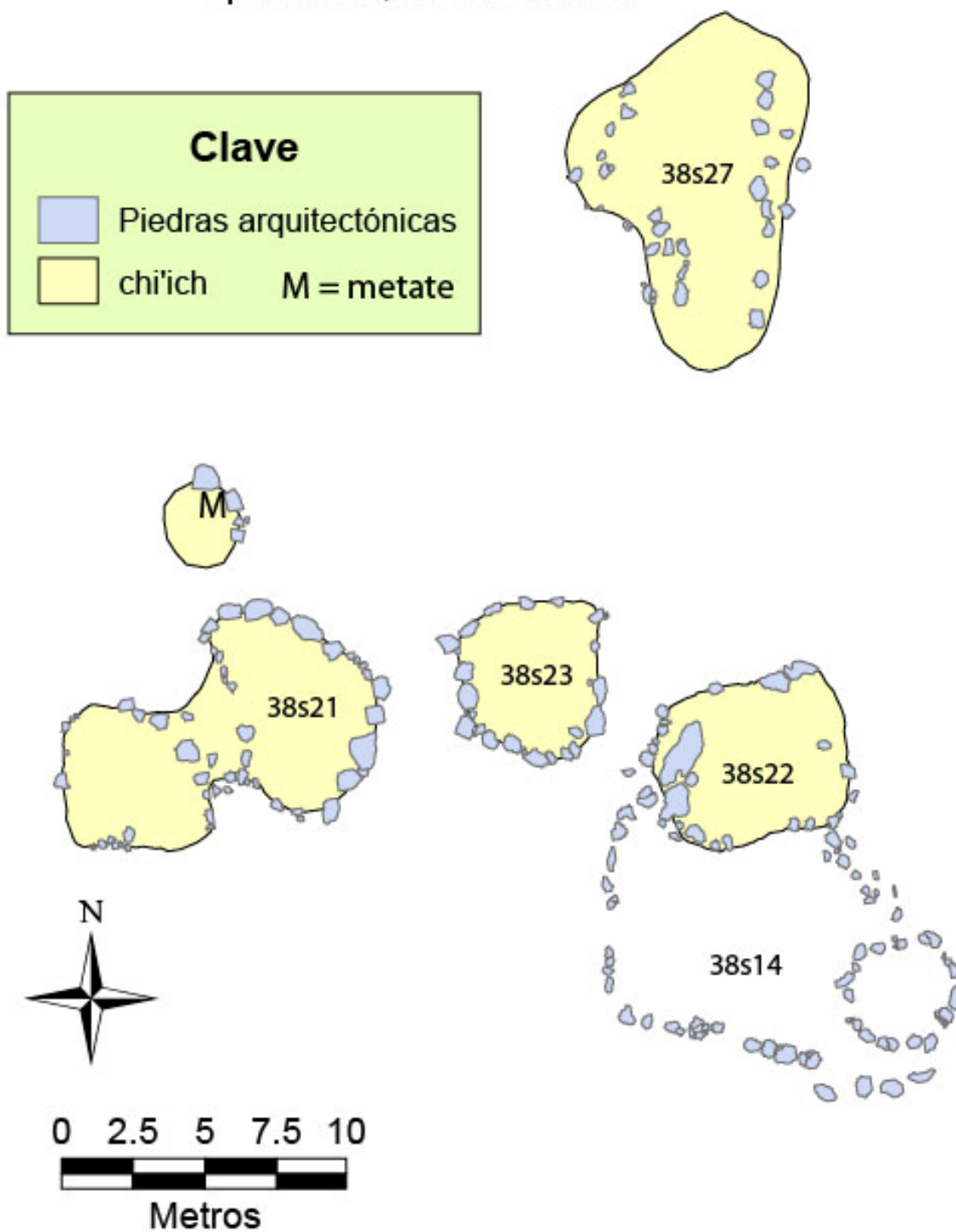
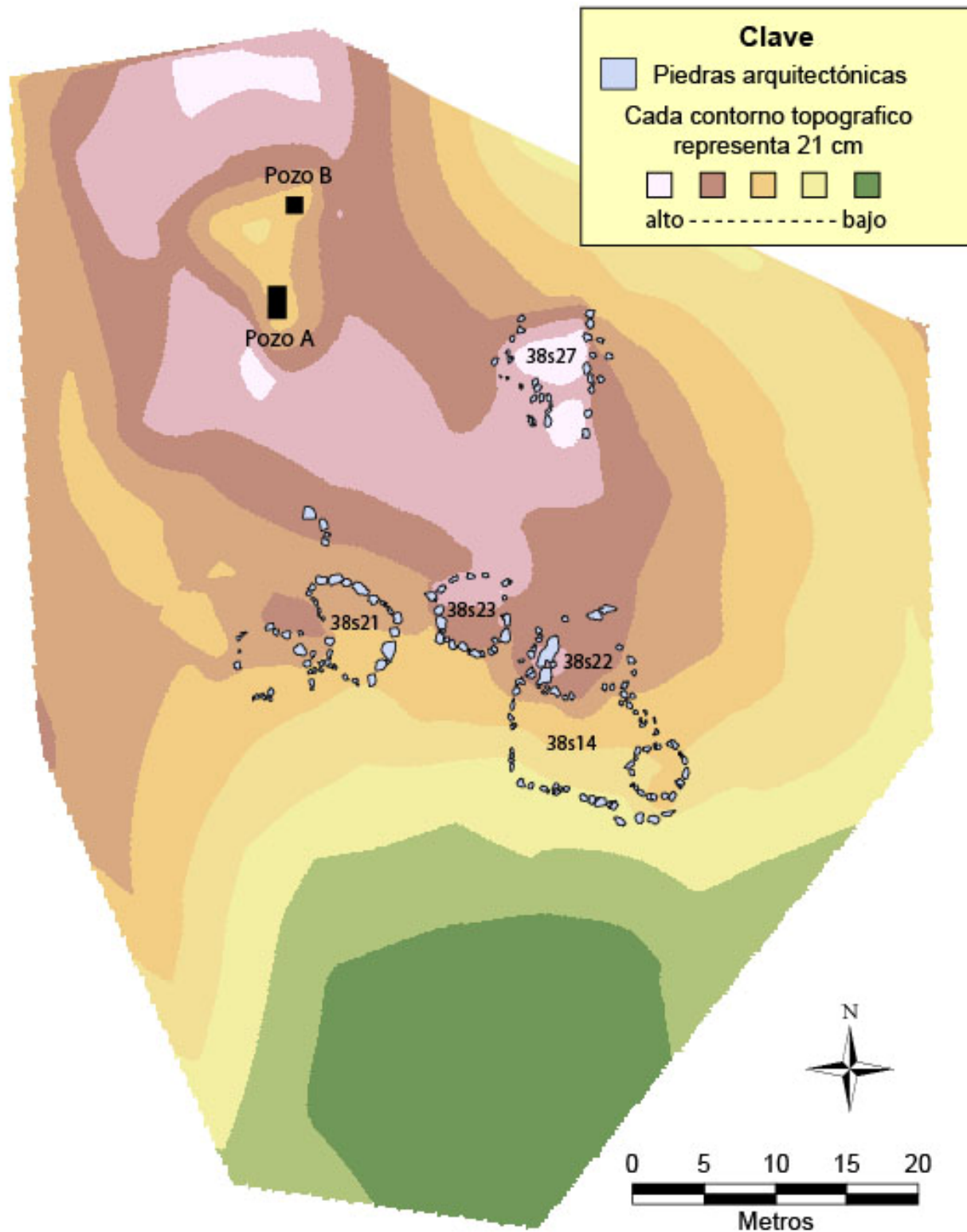


Figura 5.3: Mapa de la operación 1 mostrando la topografía y ubicación de Pozos A y B



Las estructuras de la operación 1 son megalíticas. Las figuras 5.4, 5.5, y 5.6 muestran el uso de piedras grandes en los muros de contención de estas plataformas. Aunque las plataformas son pequeñas, el estilo megalítico doméstico se ve muy claramente.

Figura 5.4: Lado sur de la estructura 38s14, sitio 21 de Abril, mirando al norte



Figura 5.5: Lado este de la estructura 38s23, mirando al oeste (se ve la estructura 38s21 atrás)



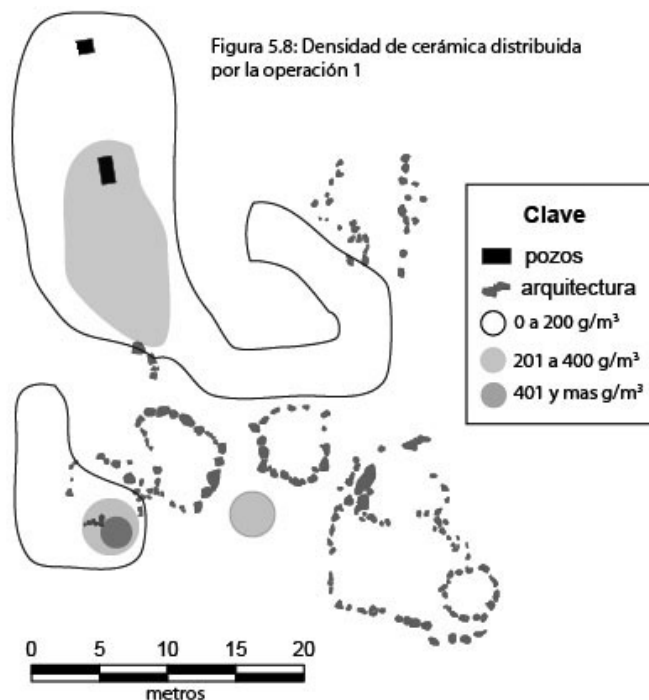
Figura 5.6: Lado norte de la estructura 38s27, mirando al sur



Al norte de la estructura 38s21, encontramos un metate (figura 5.7). El metate es parte de una piedra megalítica que puede ser parte de una estructura de chi'ich, aunque el área de chi'ich es muy pequeña y no tiene otras piedras grandes en sus límites (figura 5.2). Por lo menos este metate indica que las estructuras en esta operación fueron parte de una unidad habitacional. Sin embargo, la cuadrícula de pozos de prueba mostró que la cantidad de desechos habitacionales fue muy bajo alrededor de las estructuras (figura 5.8). Siguiendo la sugerencia de Schiffer (1976) que depresiones son lugares convenientes para la deposición de basura, pusimos los pozos A y B en la depresión al norte de las estructuras.

Figura 5.7: Metate encontrado al norte de la estructura 38s21



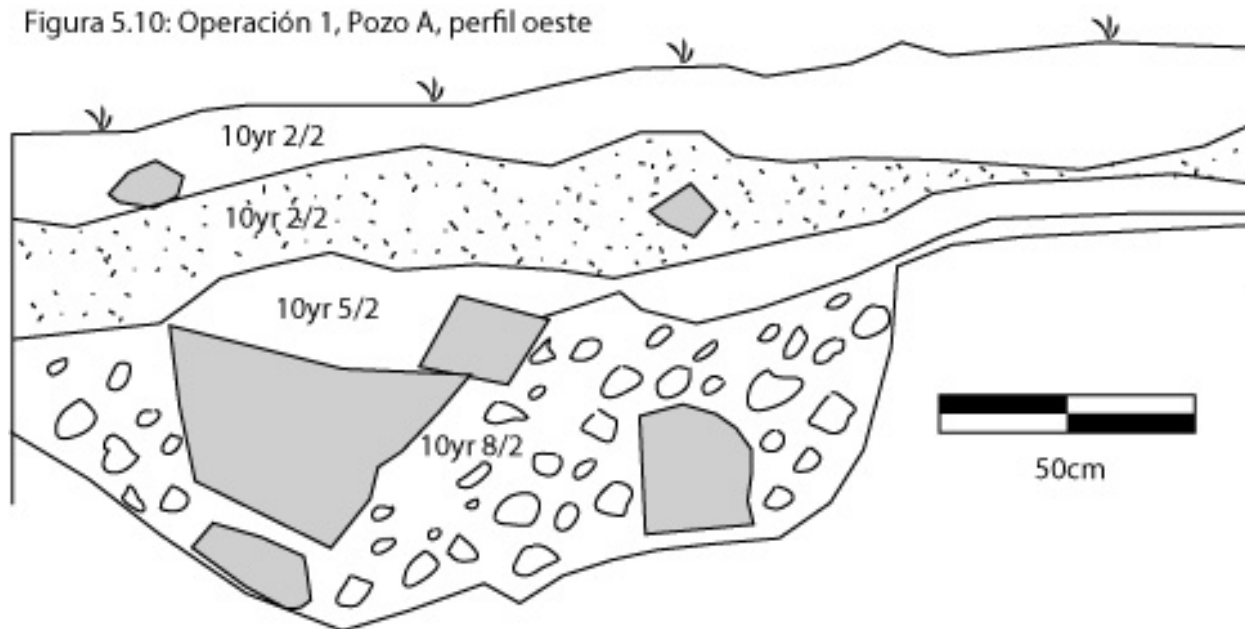


El pozo A mide 2m x 1m. El pozo tiene cuatro capas (figuras 5.9 y 5.10). La primera capa consiste en tierra oscura semejante a la primera capa de tierra en todas las excavaciones que llevamos a cabo en esta temporada. Aproximadamente 20cm debajo de la superficie se encuentra la segunda capa, que tiene el mismo color (10yr 2/2) como la primera capa pero tiene más piedras pequeñas, entre 1cm y 3cm. La siguiente capa es una tierra arenosa menos oscura (10yr 5/2) que las capas 1 y 2. Su grosor es aproximadamente 10cm. Debajo de la capa 3 es la capa 4 que tiene más piedras calizas que tierra. Estas piedras son de todos tamaños pero las más grandes llegan a 50cm. El color de la tierra es 10yr 8/2. Parece que esta capa pertenece a la época en que la gente de las estructuras circundantes quitaron piedra para usar como material para construir sus plataformas o quizás para el *sacbé*, que queda 20m al norte. Al fondo del pozo se encontró sascab y piedra suelta. Parece que la gente también sacaron sascab de esta cantera. Aproximadamente 300g de cerámica salieron de este pozo. Estos tiestos fechan para la época Clásico Temprano, incluyendo los tipos Xanaba Rojo y Tipikal Rojo.

Figura 5.9: Operación 1, Pozo A, muro oeste



Figura 5.10: Operación 1, Pozo A, perfil oeste



El Pozo B de la operación 1 mide 1m por 1m y fue se ubicado solamente 7m al norte del pozo A. Sin embargo, la estratigrafía del pozo B muestra unas diferencias comparado con la

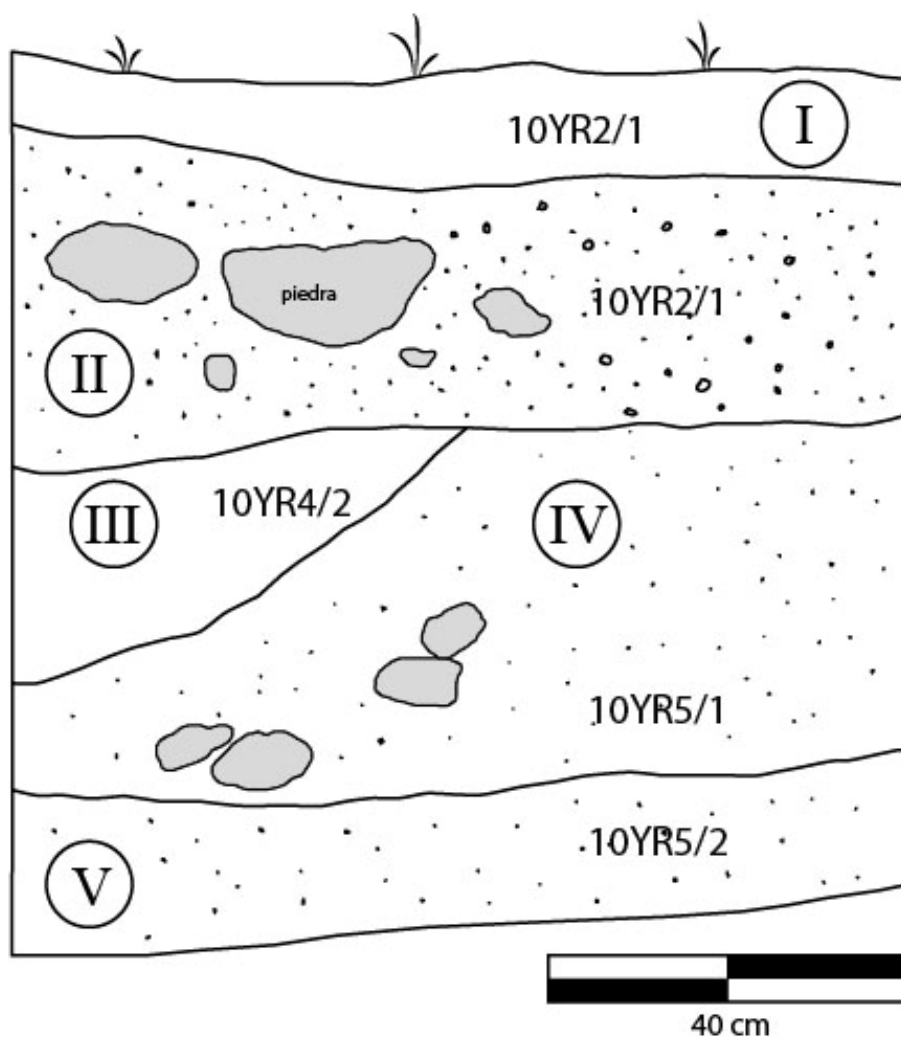
estratigrafía del Pozo A. Cinco capas fueron documentadas. Las primeras dos capas son sedimentos con el mismo color (10yr 2/1), pero la tierra en la segunda capa es más suave y tiene más piedras. Además, estas piedras son más grandes (figura 5.11), como se ve en la foto y el perfil (figura 5.12). La primera capa tiene un grosor entre 8cm y 13cm, mientras que la segunda capa tiene un grosor entre 28cm y 40cm.

Figura 5.11: Operación 1, Pozo B, muro oeste



La tercera capa solamente se encuentra en el lado norte del pozo. Es un sedimento arenoso y menos oscuro (10YR 4/2) que las capas 1 y 2. La cuarta capa es una gravilla de piedritas calizas. El suelo es más blanco y hay piedras angulares. Esta capa parece ser la material que se amontonó como residuo de la extracción de material de la cantera asociado con el pozo A.. La quinta capa también es una gravilla, pero con menos piedritas y menos sascab. Se terminó la excavación porque fue difícil seguir, dado que el pozo llegó a una profundidad de 1m.

Figura 5.12: Operación 1, Pozo A, perfil este



Ocho tiestos de cerámica salieron de la capa 5. Eso indica que el área ya fue ocupada cuando quitaron materiales para construcción. Esto puede indicar que el evento de construcción (que resultó en la capa 4) pertenece al *sacbé* en vez de las estructuras de la operación 1. El análisis cerámico mostró que tiestos de la misma época—Clásico Temprano--se encuentran arriba de la capa 4 y debajo de la capa 4, indicando que los dos eventos de construcción (de las estructuras y del *sacbé*) no fueron separados por mucho tiempo.

Operación 2

La operación 2 se enfocó en la estructura 38s16, una plataforma al sur de la operación 1. Igual como las estructuras en la operación 1, la estructura 38s16 es megalítica. La plataforma mide 19m por 12m, y su eje largo tiene una orientación de 125°. La preservación del lado suroeste de la plataforma es peor que los demás lados, pero parece que las esquinas oeste y sur son redondeadas. Las figuras 5.13 y 5.14 muestran los lados noroeste y sureste. Dado la corta duración de la temporada de campo de 2010, no hubo excavación en esta operación.

Figura 5.13: Operación 2, estructura 38s16, lado sureste mirando al oeste



Figura 5.14: Operación 2, estructura 38s16, lado noroeste mirando al sur



Operación 3/4

En la propuesta para la temporada de campo de 2010, pedimos investigaciones de las estructuras 39n5 y 38n3 (además de las otras estructuras en el sitio Jacinto/21 de Abril). La investigación alrededor de la estructura 39n5 sería la operación 3 y la investigación alrededor de la estructura 38n3 sería la operación 4. En el campo, después de limpiar mucha vegetación, nos ocurrió que estas dos estructuras son parte de un solo grupo arquitectónico. Por esto, combinamos las operaciones 3 y 4. El mapa de estas estructuras se ve en la figura 5.15. Hicimos un levantamiento topográfico de las estructuras 39n5 y 39n4. Solamente un pozo de 1m x 1m fue excavado en esta operación (al norte de la estructura 38n3), y ningunos artefactos salieron del pozo.

Figura 5.15: Mapa de las estructuras de la Operación 3/4

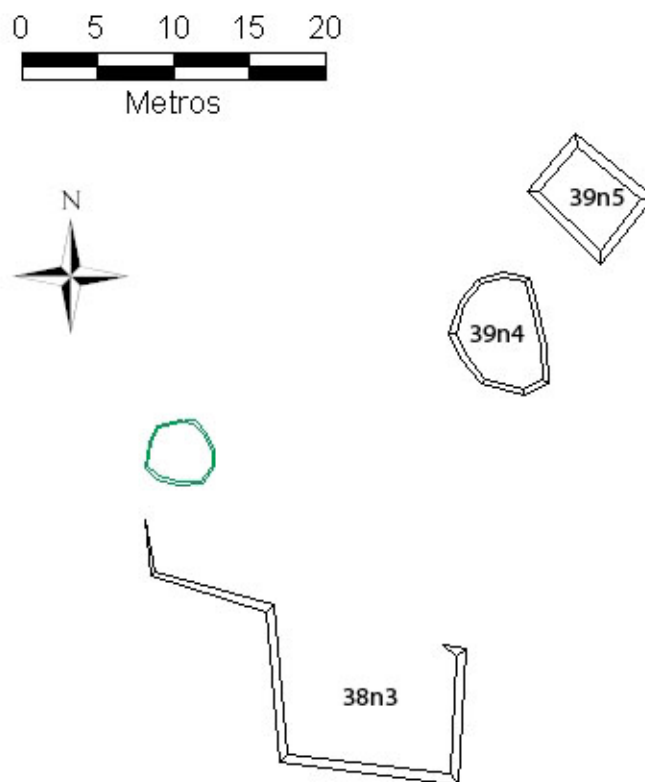
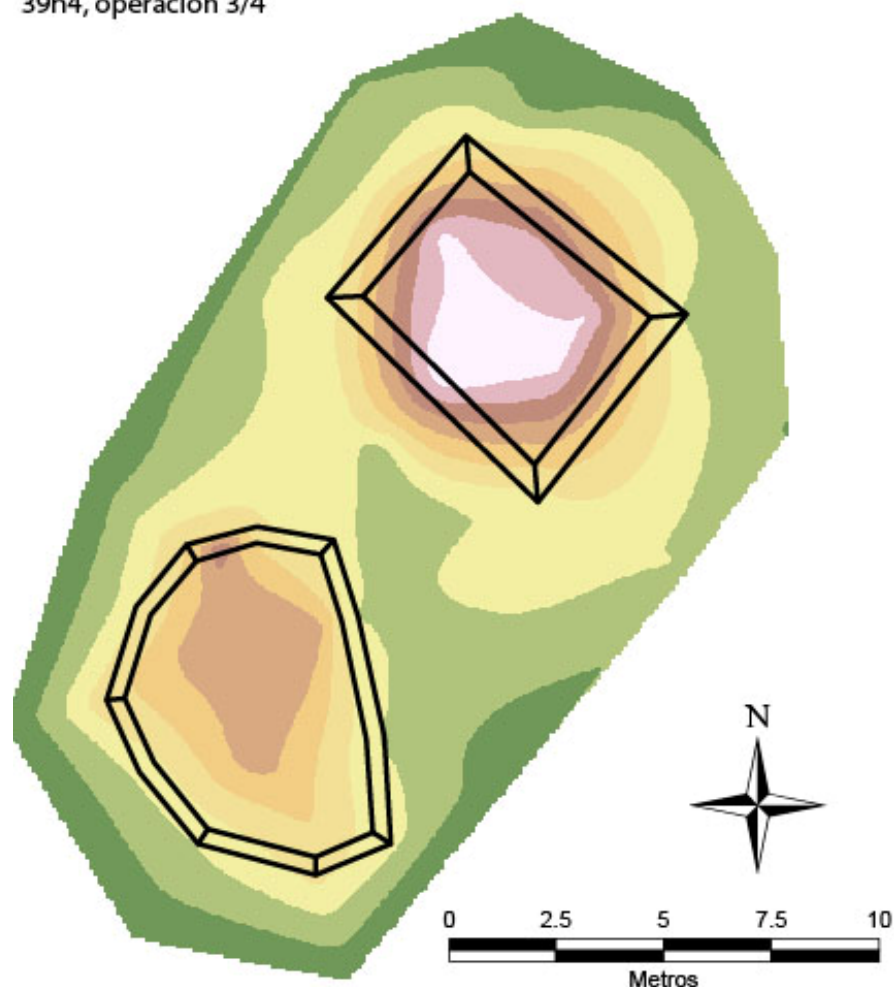


Figura 5.16: Levantamiento topográfico de las estructuras 39n5 y 39n4, operación 3/4



Operación 5

La operación 5 corresponde a la estructura 41s2, que se encuentra 190m al sur del *sacbé* y 275m al este de la operación 1. La estructura 41s2 es una plataforma de piedra que mide 16m por 11m (figura 5.17). Su altura es entre 0.2m y 0.6m. La orientación del eje largo es 104° . Su lado sur tiene piedras megalíticas en el muro de retención (figura 5.18). Este lado también tiene una extensión al sur (figura 5.17). En la figura 5.19 se ve que los constructores de la estructura aprovecharon de una sección de roca madre. Encima de la plataforma se encuentran unos cimientos de piedra y un metate (figura 5.20). Tres pozos fueron excavados alrededor de la plataforma.

Figura 5.17: Mapa de la estructura 41s2 y los pozos de la operación 5 (21 de abril)

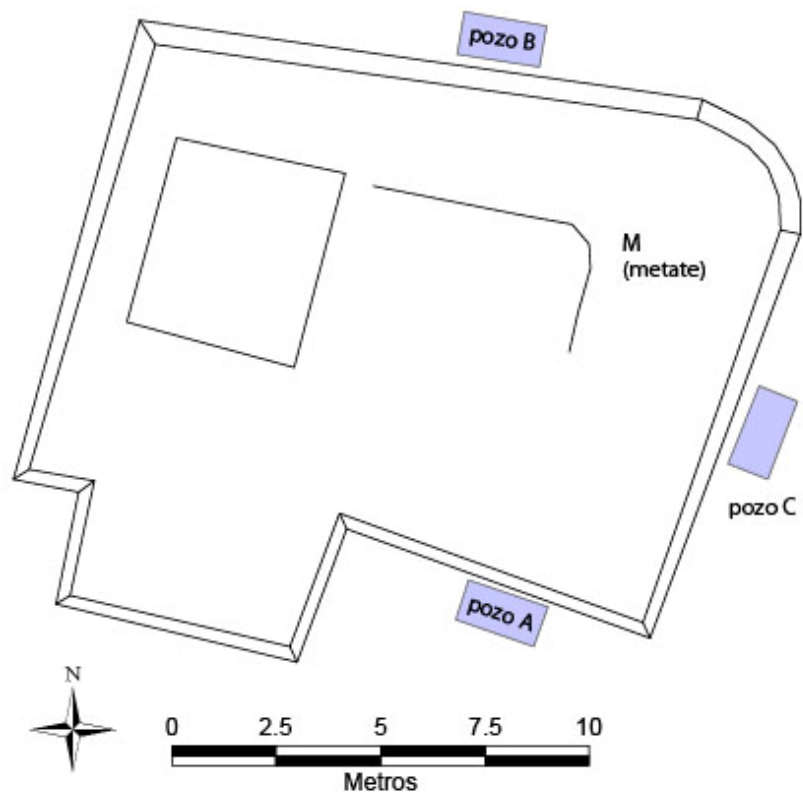


Figura 5.18: Lado sur de la Estr. 41s2, mostrando piedras megalíticas, mirando al oeste.



Figura 5.19: Lado este de la Estr. 41s2, mirando al oeste



Figura 5.20: Metate de la Estr. 41s2, Operación 5



Pozo A fue ubicado al sur de la plataforma en un lugar donde se encuentra mucha cerámica en la superficie. La estratigrafía de este pozo es relativamente sencilla: dos capas de 25 cm antes de llegar a la roca madre (Figura 5.21). Arriba de la roca madre se encuentran unas piedras grandes (ver la figura 5.22), pero estas piedras no forman ningún rasgo arquitectónico.

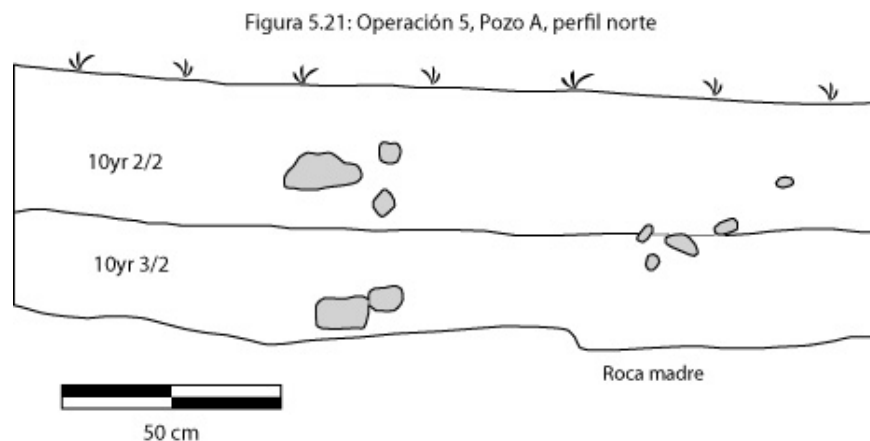


Figura 5.22: Operación 5, Pozo A, muro sur



El Pozo B fue ubicado al lado norte de la estructura, cerca de la esquina noreste. La estratigrafía es un poco más compleja en este pozo. Así como el pozo A, dos capas dominan la estratigrafía (figura 5.23), y la primera capa es más oscura que la segunda capa. Sin embargo, el pozo B contiene más piedra que el pozo A. Además, se encuentra una capa de margas arriba de la roca madre al fondo del pozo. Esta margas se ven en la figura 5.24 como un manchón blanco en la parte este del fondo del pozo (al lado izquierda en la foto.)

Figura 5.23: Operación 5, Pozo B, perfil sur

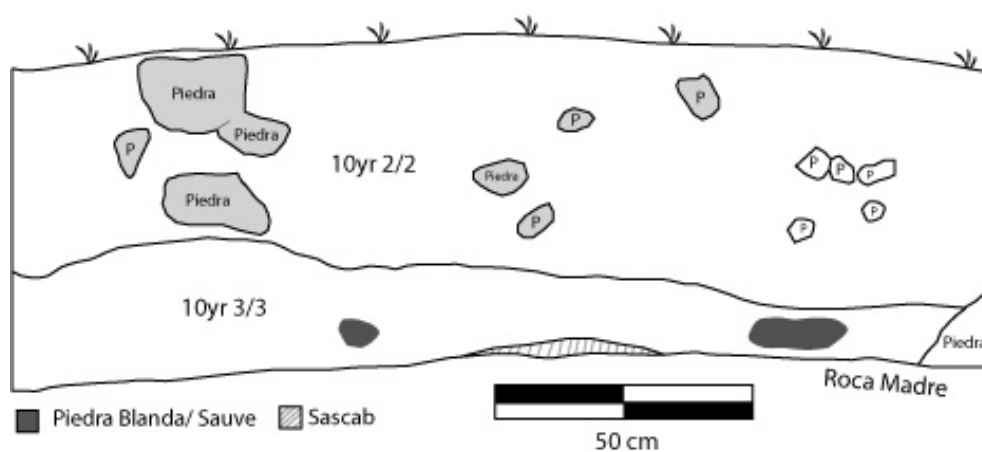


Figura 5.24: Operación 5, Pozo B, muro sur



El pozo C fue ubicado al lado este de la plataforma. Así como los pozos A y B, el lugar de este pozo fue escogido a causa de la abundancia de cerámica en la superficie. Sin embargo, el primer nivel de excavación no alcanzó a producir mucha cerámica. Por esto la excavación se terminó antes de llegar a roca madre. Como se ve en el perfil (figura 5.25) y la foto (figura 5.26), este pozo tiene piedras con larguras que llegan a 30cm. El suelo de esta capa tiene varios colores semejantes: 10yr 3/2, 10yr 2/2, y 7.5yr 2/2.

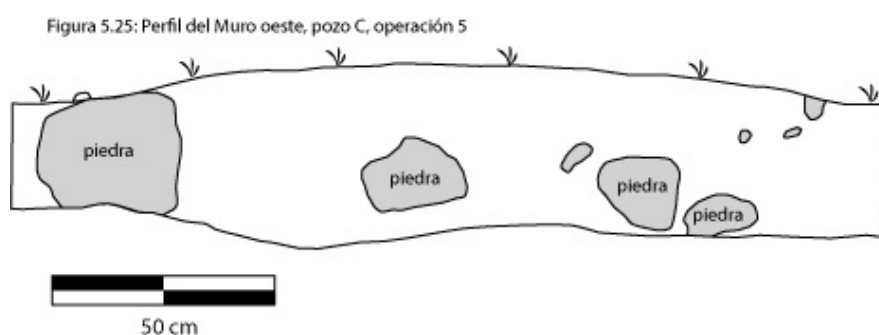


Figura 5.26: Operación 5, Pozo C, muro oeste (sitio 21 de Abril)



Las cerámicas de las excavaciones alrededor de la estructura 41s2 fechan para el Clásico Temprano y el Clásico Tardío. Sin embargo, la cantidad de cerámica que pertenece al Clásico Temprano (por ejemplo, los tipos Hunabchen rojo, Xanaba rojo, Chancencote estriado, Hulul estriado) es mayor. Los tipos que pertenecen al Clásico Tardío son Chichimila pintura chorreada, Chuburna café, Maxcanu Bayo y Tekal compuesto. Dado que no apareció ninguna cerámica pizarra, puede ser que estos tiestos fechan para el principio del Clásico Tardío.

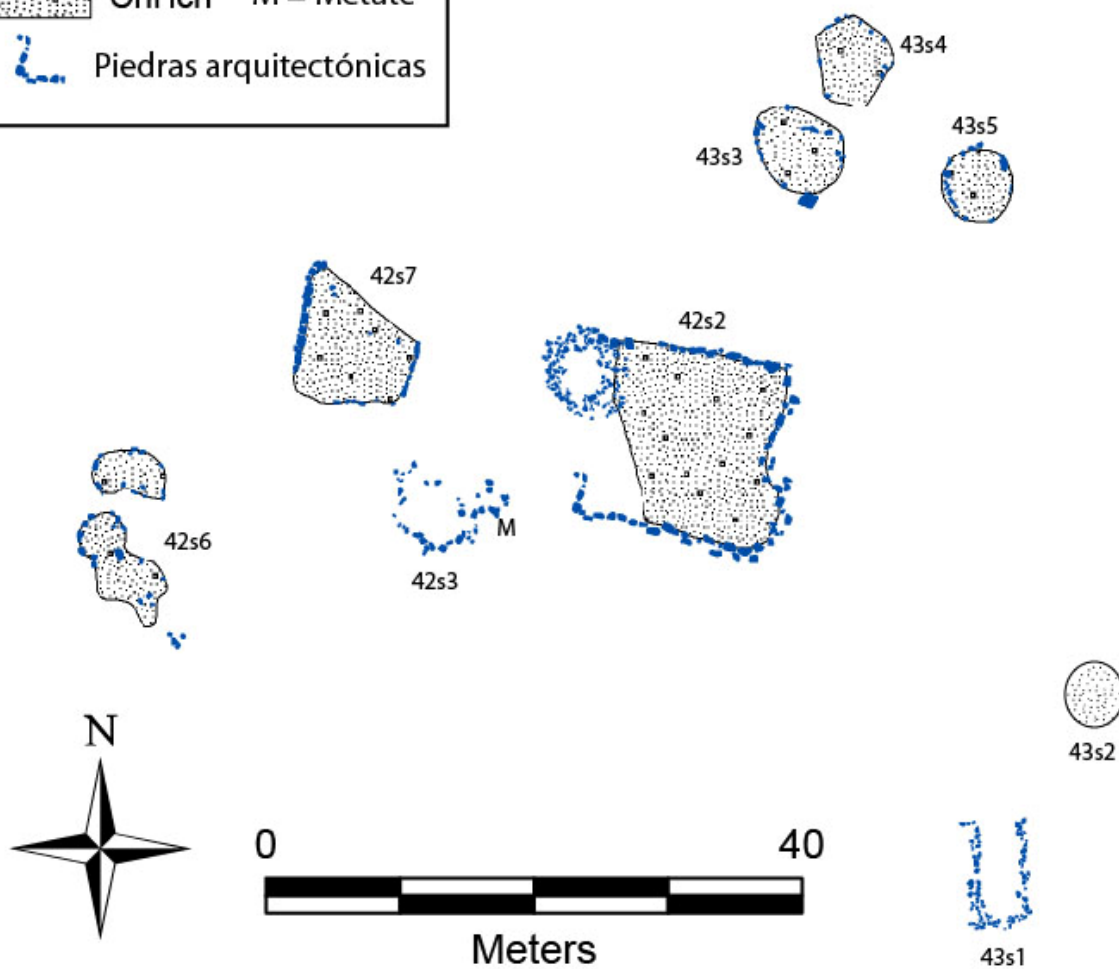
Operación 6

La operación 6 está enfocada en una agregación de estructuras aproximadamente 100m al noreste de la operación 5 (figura 5.1). Las estructuras más grandes en esta agregación son las plataformas 42s2 y la 42s7 (figura 5.27). Alrededor de estas plataformas son ocho estructuras más pequeñas. El mapa topográfico (Figura 5.28) muestra que las dos estructuras grandes—42s2 y 42s7—fueron localizadas encima de una subida suave. De hecho estas estructuras aprovechan de la subida perfectamente y por esto la operación 6 es diferente que la operación 1, donde las estructuras fueron localizadas no encima de una subida sino en la inclinación. La estructura 42s2 es una plataforma megalítica (figura 5.29) que mide 13.5m por 13.5m con una altura máxima de 0.7m, en la esquina sureste. Algunas piedras de la estructura miden más de un metro de largura. La orientación de la estructura es 8°. En la esquina noroeste, se encuentra un cimientito circular cuyo diámetro es 5m. La estructura 42s7 también es megalítica, pero sus piedras no son tan largas (figura 5.30). La estructura tiene una orientación de 9° y mide 10m por 8m, pero su forma no es perfectamente cuadrada, dado el hecho de que su lado norte está orientado a 129°. Su altura máxima es 50cm. En el muro oeste, se preservan dos hileras de piedra megalítica (figura 5.30).

La mayoría de las estructuras alrededor de las dos plataformas centrales son montículos de chi'ich. Las figuras 5.31 y 5.32 muestran dos ejemplos de estos montículos. La mayoría de ellos son redondos y miden menos de 5m de diámetro.



Figura 5.27: Mapa de la Operación 6, mostrando las estructuras



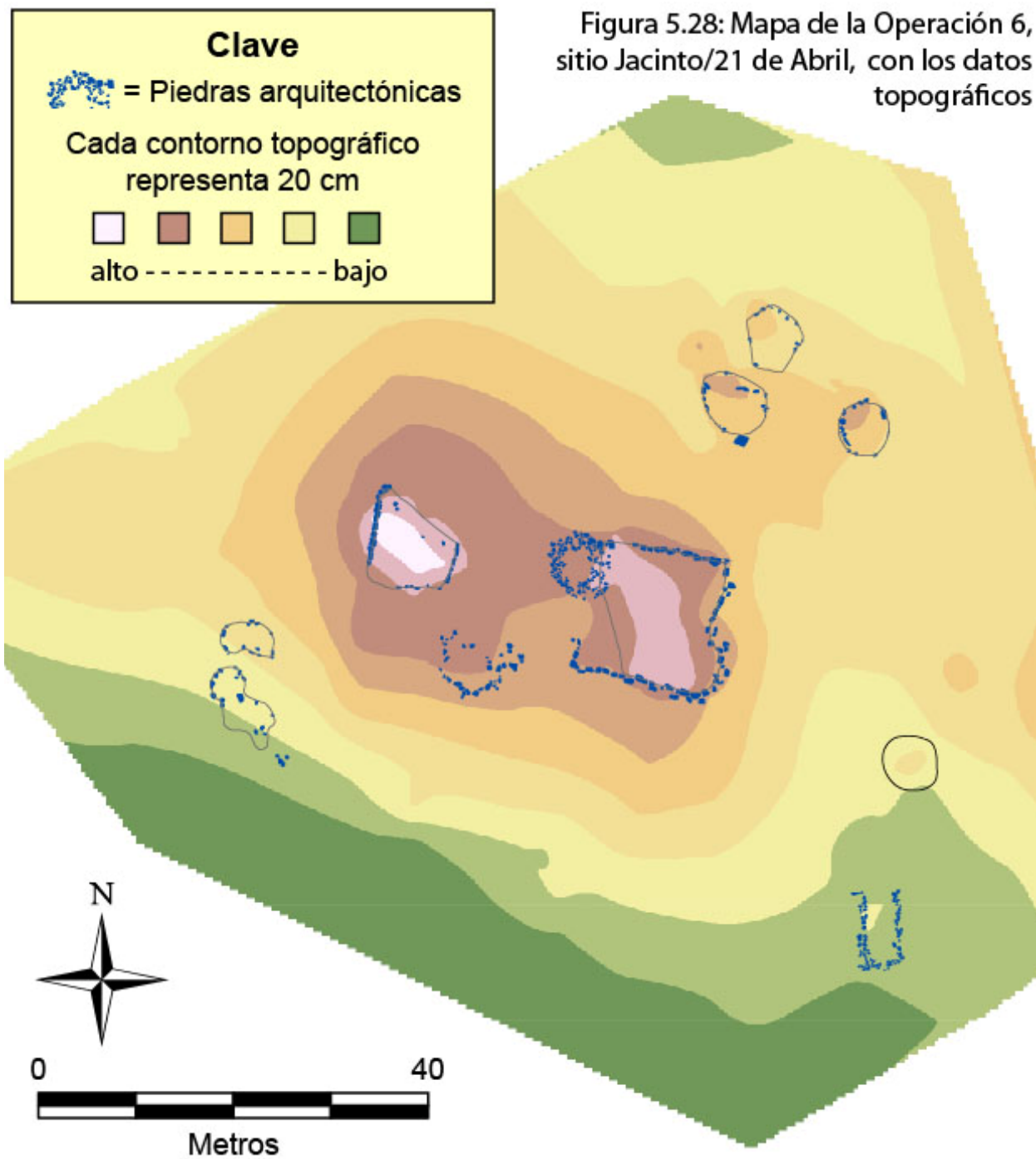


Figura 5.29: La estructura 42s2 con muro megalítico, mirando al este



Figura 5.30 La estructura 42s2, lado oeste, mirando al sur



En cambio, las estructuras 43s1 y 42s3 no son montículos de chi'ich. La presencia de un metate al lado este de la estructura 42s3 (figura 5.28) indica que esta estructura fue una cocina. El pozo A fue ubicado al lado del metate. Desafortunadamente, muy pocos artefactos salieron de este pozo, y se terminó después de la primera capa (figura 5.33 y 5.34). A pesar de la cantidad baja de tiestos, esto es el lugar donde tiestos son más frecuentes (5.35). El pozo A consiste en tierra arenosa, color 7.5yr 3/2 y 7.5yr 2/2, con muchas raíces. Las piedras son de 10cm hasta 25cm. Los tiestos están erosionados pero uno seguramente pertenece al grupo Oxil, tipo Hulil estriado, y fecha para el Clásico Temprano.

Figura 5.31: Estructura 43s3: ejemplo de los montículos chicos alrededor de la 42s2



Figura 5.32: Estructura 43s2: ejemplo de los montículos chicos alrededor de la 42s2



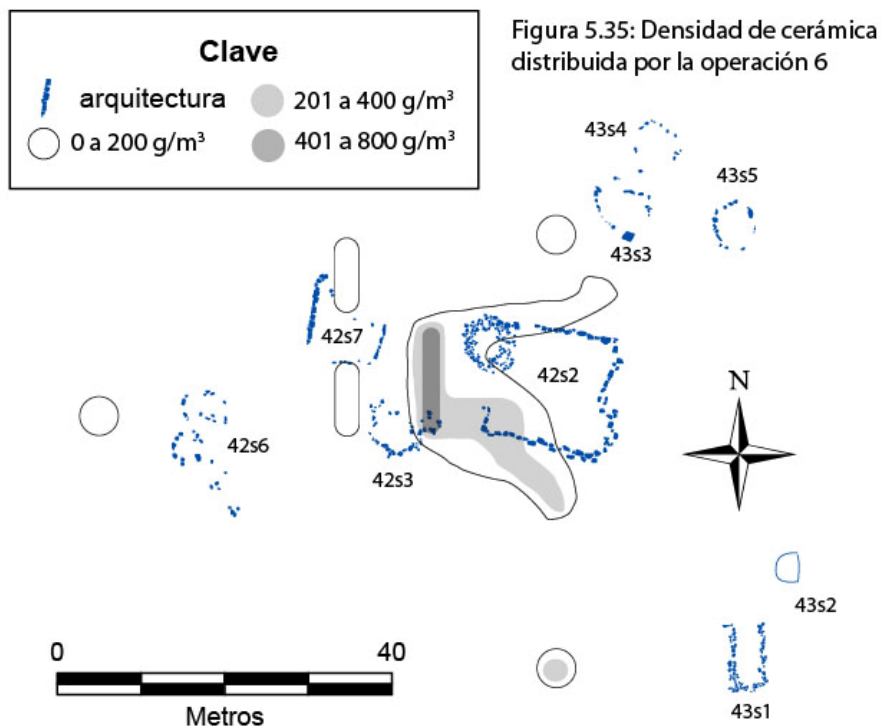
Figura 5.33: Operación 6, Pozo A, perfil sur



Figura 5.34: Operación 6, Pozo A, mirando al este



El pozo B, que mide 1m por 1m, fue ubicado en la esquina suroeste de la estructura 42s2. La excavación llegó a roca madre a una profundidad de 38cm. Este pozo consiste en solamente una capa de tierra cuyas partículas son de tamaño intermedio, entre arcilla y arena. La arcilla se pone más común al fondo, arriba de la roca madre.



Operación 7

La operación 7 se enfocó en la estructura 42n1 (figura 5.1 y 5.36). Esta estructura mide 5.4m por 5.0m y tiene una altura de 0.5m. Se localiza 13m al norte del *sacbé* y 108m al norte de la estructura 41s2 (operación 5). La estructura es muy aislada y posiblemente demasiado pequeño para haber sido utilizado como casa. Limpiamos toda maleza la entre la estructura y el

sacbé y no encontramos ningunos artefactos en la superficie. Dado la ausencia de artefactos decidimos no llevar a cabo excavaciones.

Figura 5.36: Estructura 42n1, lado este, mirando al oeste, Operación 7.



Operación 8

La Operación 8 corresponde a la estructura 42n2, localizado 115m al norte de la estructura 42n1 (figura 5.1). Aunque no se encontró ningunos artefactos en la superficie alrededor de la estructura, decidimos excavar un pozo de prueba porque la estructura es bastante grande, sugiriendo ocupación doméstica y, por eso, unos deshechos de la vida cotidiana. La estructura 42n1 es una plataforma que mide 19m por 19m y llega a una altura máxima de 1m (figura 5.37). La foto en la figura 5.38 muestra una segunda hilera de piedra arriba de la primera hilera del muro de retención.

Figura 5.37: Mapa de la estructura 42n2, operación 8, mostrando Pozo A

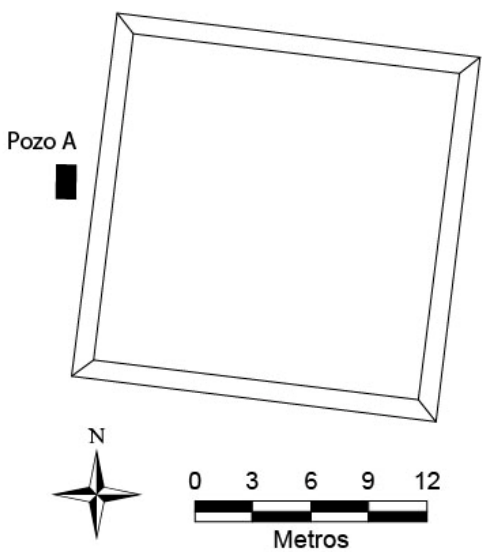
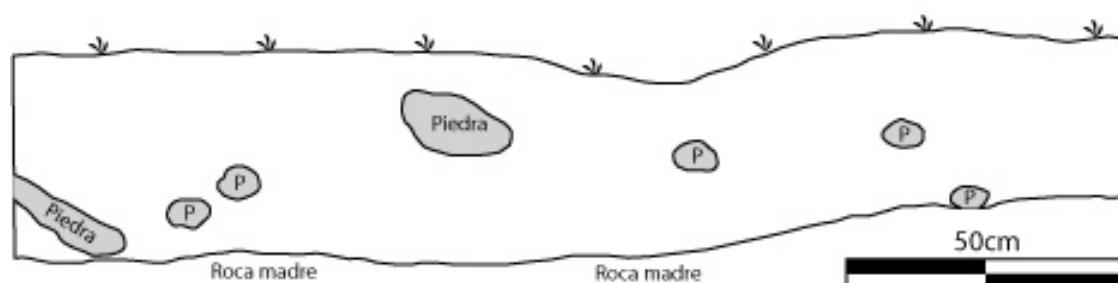


Figura 5.38: Estructura 42n2, lado sur, mirando al norte



El único pozo de la operación 7—pozo A—es un pozo de tamaño 2m por 1m que fue ubicado al lado oeste de la plataforma. La estratigrafía consiste en solamente una capa con un grosor de 30cm. Hubo piedras de varios tamaños, llegando a un máximo de 30cm. La textura del suelo es una arena con arcilla. Debajo de la primera capa se encontró roca madre. Solamente 10g de cerámica erosionada salió de este pozo.

Figura 5.39: Operación 8, pozo A, perfil del lado este



Operación 9

La operación 9 corresponde a un grupo de siete estructuras 60m al norte del *sacbé*. Este grupo de estructuras se encuentra 110m al este de la operación 3/4 y 165m al noreste de la operación 1. La estructura más grande es la 40n5, una plataforma que mide aproximadamente 8m por 7m por 0.5m (figura 5.40). Su esquina sureste es redonda. Las esquinas de la estructura 40n2 también son redondas (figura 5.41). Además de las siete estructuras, el grupo cuenta con una sascabera/cantera al este. La sascabera mide aproximadamente 11m norte/sur por 9m este/oeste. Su lado sur, que se ve en la figura 5.42, tiene una inclinación vertical con una altura de más de 2m. Un solo pozo fue excavado en la operación 7. Este pozo—pozo A—fue ubicado al oeste de la estructura 40n8.

Figura 5.40: Mapa de las estructuras de la operación 7

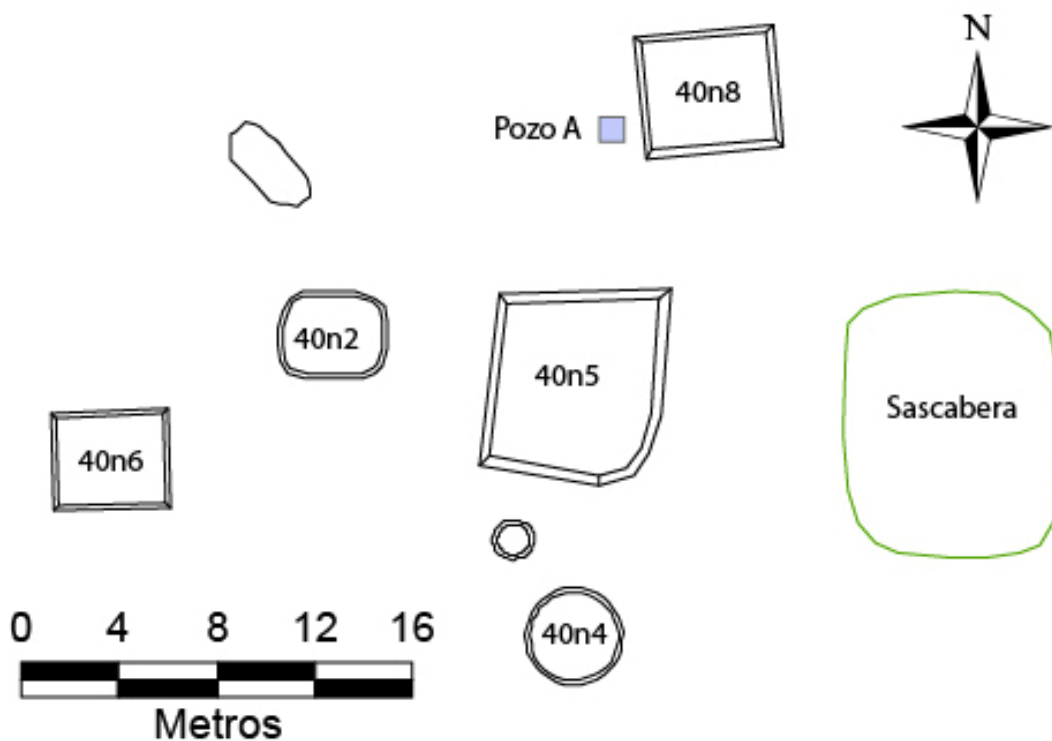


Figura 5.41: Estructura 40n2, lado este, mirando al oeste



Figura 5.42: Sascabera que pertenece a las estructuras de la operación 9



El Pozo A mide 1m por 1m. El pozo no fue muy profundo, llegando a roca madre después de 10 cm en el lado oeste (figura 5.43). Arriba de la roca madre, la única capa consiste en tierra arenosa con color 7.5yr 3/2. Hubo más piedra que tierra, y las piedras miden entre 5 y 10cm. Es posible que estas piedras erosionaron de la estructura 40n8. No encontramos ningunos artefactos en este pozo.

Figura 5.43: Operación 9, Pozo A, mirando al norte



Capítulo 6: Conclusiones

Las conclusiones más importantes tienen que ver con la cronología de los tres sitios, el juego de pelota de Santa Teresa, y la baja cantidad de artefactos en muchas operaciones.

Empezamos con las conclusiones cronológicas.

Las excavaciones mostraron ocupaciones en el Preclásico Tardío, Clásico Temprano, y Clásico Tardío/Terminal. Aunque encontramos un tiesto del Posclásico, no se puede decir que un tiesto solo representa una ocupación importante. Como se describe en el Apéndice A, la cantidad de cerámica que corresponde al Preclásico no es grande. El Preclásico está representado por cuatro tipos cerámicos y solamente viene de una operación (la operación 3 de Ticopó-2). Esto es interesante porque las excavaciones de Rubén Maldonado (1982, 1984) en Ucí produjeron grandes cantidades de cerámica del Preclásico, específicamente del grupo Sierra. Obviamente, Ucí es el centro de la región, y no es una sorpresa averiguar que tiene una ocupación más temprana que los sitios pequeños.

El Clásico temprano es más común en Jacinto/21 de Abril y Ticopó-2. En la operación 1 de Jacinto/21 de Abril, la estratigrafía de una depresión que parece haber sido usado como cantera sugiere que hubieron dos fases de construcción. Es posible que la primera fase representa la construcción de los edificios cerca de la cantera (38s21, 38s23, 38s14, 28s27) y la segunda fase representa la construcción del *sacbé*, que se encuentra 20m al norte. Si esto sea el caso, indicaría que el Jacinto/21 de Abril fue ocupado antes de la construcción del *sacbé*. Las estructuras del sitio se encuentran a los dos lados del *sacbé*, como si el *sacbé* dividiera la comunidad en dos. Alternativamente, puede ser que el *sacbé* fuera construido antes del establecimiento del sitio, y las dos fases de construcción pertenecen a los edificios de la

operación 1. Esperamos explorar estas posibilidades en el futuro con excavaciones de las estructuras para ver si se puede distinguir múltiples fases constructivas.

Otra conclusión cronológica tiene que ver con el sitio Santa Teresa. Este sitio corresponde al Clásico Tardío/Terminal. Esto es interesante en dos sentidos. Primero, las estructuras 27a y b (Operación 4) son megalíticas, pero la cerámica fecha exclusivamente para el Clásico Tardío/Terminal. La arquitectura megalítica normalmente se construyó en el Clásico Temprano. Segundo, es interesante que la aparición de Santa Teresa corresponde a un tiempo de declive para Ucí. Las excavaciones de Maldonado (1982, 1984) indican que el sitio de Ucí no tenía una ocupación fuerte en esta época. El hecho de que la gente de Santa Teresa construyó su juego de pelota después del apogeo de Ucí sugiere que la época Clásico Tardío fue cuando Ucí perdió su poder político y sitios como Santa Teresa empezaron a celebrar sus propias ceremonias políticas y espirituales.

La presencia del juego de pelota en Santa Teresa es buena evidencia de ceremonias espirituales dado que el juego de pelota tiene asociaciones con la religión en varios otros sitios, así como Chichén Itzá y El Tajín. Aunque no salió mucha cerámica del juego de pelota de Santa Teresa, la existencia de cerámica atrás de la cancha sugiere que las actividades en el juego de pelota incluyeron el consumo de comida. Igual como lo que se observa en Honduras (Fox 1996), este consumo tomó lugar atrás de las estructuras de la cancha. En Santa Teresa, el desnivel de la superficie del callejón del juego de pelota puede indicar que los habitantes del sitio no estaban extraordinariamente preocupados con los detalles de construcción.

Acerca la tercera conclusión, no es fácil explicar la baja cantidad de cerámica. Sin duda, cantidades altas son más comunes en el Clásico Tardío, pero la cantidad de cerámica que pertenece al Clásico Temprano en el sitio de Jacinto/21 de Abril es MUCHO menos que lo que

sale de otros sitios yucatecos del Clásico Temprano, así como Chunchucmil (Hutson y Stanton 2006). No se puede decir que la cantidad baja tiene que ver con condiciones de preservación porque algunas operaciones que fechan para el Clásico Temprano (por ejemplo, la operación 3 de Ticopó-2) produjeron más cerámica. Sobresalen tres explicaciones para la falta de cerámica en muchas operaciones: 1) las ocupaciones fueron tan cortas que muy pocas vasijas de cerámica se rompieron; 2) la gente de Jacinto/21 de Abril fue pobre y, sin recursos para conseguir cerámica, utilizaron calabazas y canastas en su lugar; y 3) estas estructuras no fueron domésticas. La tercera explicación se puede rechazar fácilmente porque dos operaciones con muy poca cerámica tienen artefactos domésticos como metates y edificios con formas que sugieren la gama completa de vida doméstica (plataformas para casas, cocinas, almacenamiento, etc.). El próximo paso para el proyecto es investigar la primera explicación con excavación arquitectónica cuya meta es averiguar si hubo solamente una fase de construcción en las plataformas grandes (lo cual sugeriría una ocupación corta) o muchas fases (lo cual sugeriría una ocupación larga).

En fin, cinco semanas de excavación de pozos de sondeo afuera de estructura no pueden proporcionar muchos datos, pero la información que resultó de la temporada de 2010 sugiere preguntas para investigaciones futuras. Estas investigaciones tendrán que concentrar en la arquitectura de estas tres sitios y los sitios más grandes como Ucí y Kancab.

Apéndice A:**Informe Preliminar de las Cerámicas de Ticopó-2 ,
21 De Abril/Jacinto, y Santa Teresa, Yucatán.****Por****Rocio Elizabeth Flores Pech****Iliana Ancona Aragón**

Durante los trabajos arqueológicos del Proyecto PASUC se hicieron varios pozos de sondeo en sitios como: Ticopó-2, Santa Teresa, y 21 de Abril/Jacinto. En la mayoría de estos pozos se obtuvieron materiales cerámicos los cuales fueron analizados por medio del sistema tipo-variedad cuyo objetivo es el ordenamiento de las cerámicas en el tiempo y de este modo conocer la ocupación de los asentamientos de procedencia de las muestras (Smith et al. 1960; Gifford 1960). Este método de clasificación también cumple con el propósito de establecer posibles relaciones culturales de los sitios investigados con referencia a sus regiones aledañas. Se analizaron un total de 440 fragmentos de los cuales 334 fueron identificados con tipología en tanto que los 106 (24%) restantes fueron designados como erosionados o no identificados. Los resultados de la clasificación manifestaron diferentes periodos de ocupación humana (Figura 1 y 2).

SITIO	PERIODOS DE OCUPACIÓN			
	PRECLÁSICO	CLÁSICO TEMPRANO	CLÁSICO TARDÍO	POSCLÁSICO
	HORIZONTE TIHOSUCO	HORIZONTE COCHUAH	HORIZONTE CEHPECH	HORIZONTE TASES
TICOPÓ-2	X	X	X	X
SANTA TERESA			X	
21 DE ABRIL		X	X	

Figura 1: Cronología de los asentamientos del Proyecto PASUC.

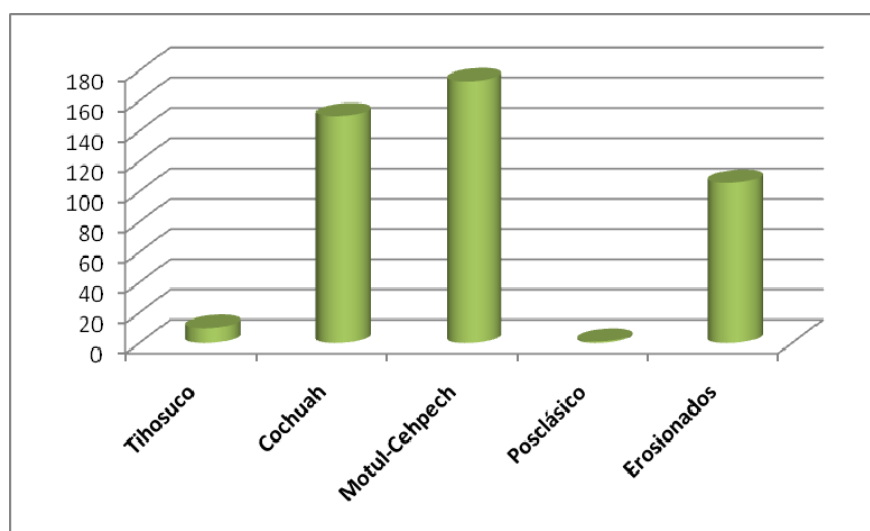


Figura 2. Cronología de los asentamientos del Proyecto PASUC.

Periodo Preclásico Tardío del Horizonte Tihosuco (400 a.C. – 250 d.C.).

El sitio de Ticopó-2 es el único asentamiento que presenta una larga ocupación que inicia desde el Preclásico (específicamente el Preclásico Tardío) continuó hasta el Clásico Tardío y escasos fragmentos se identificaron para el período Posclásico (400 aC – 1100 dC). Las cerámicas más tempranas de Ticopó-2 se encuentran extremadamente erosionadas y suman el 6% (10 fragmentos) de la muestra analizada. Este momento Tihosuco se halla representado por

los grupos cerámicos Sierra, Joventud y Dzudzuquil. La cerámica del Preclásico (400 aC. – 250 dc.) recuperada en Ticopó-2 tipológicamente en cuanto a los atributos de las pastas frágiles, tonalidades rojizas a rojo claro y acabados con engobes poco adheridos a la pasta, son atributos similares a la cerámica preclásica que ha sido reportada en varios asentamientos del norte de Yucatán como Komchen; Dzibilchaltun, Flor de Mayor, Misne entre otros (Andrews V 1989; Ceballos y Jiménez 2000; Simmons 1980; Ancona y Jiménez 2010; Quiñones; 2001) (Figuras 2, 3 y 5d-f).

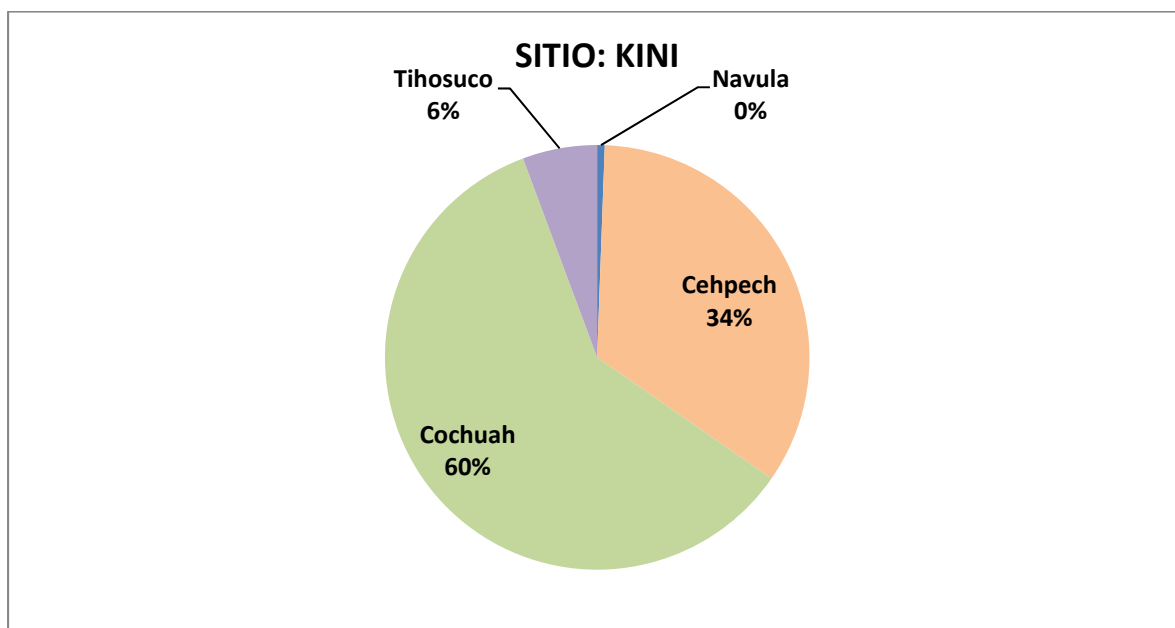


Figura 3. Horizontes cerámicos del sitio Ticopó-2 . 6 % de materiales Tihosuco.

Periodo Clásico Temprano del Horizonte Cochuah (250 - 600 d. C).

Por su parte, el Clásico Temprano (250 – 600 dC.) indica el periodo de mayor ocupación del asentamiento ocupa un porcentaje del 34.09% (150 fragmentos) de la muestra. Los asentamientos que muestran evidencia Cochuah son Ticopó-2 y 21 de Abril. El sitio de Santa

Teresa no muestra evidencia de ocupación relacionada al periodo Clásico Temprano. Los grupos cerámicos representativos son Saban, Xanaba, Shangurro; Huachinango, Oxil, Maxcanu; Hunabchen; Tipikal y Polvero. Algunos de estos grupos aparecieron desde el Preclásico Tardío, sin embargo, en este estudio se considera que debido a la escasa presencia y por la asociación tipológica quedan incorporados en el Complejo Cochuah del Clásico Temprano. Dichos materiales cerámicos son frecuentes en varios sitios del interior sobre todo en los que se localizan en la parte norte y el centro occidente de la península de Yucatán (Dzibilchaltún, San Pedro Cholul; Flor de Mayo Chunchucmil; Y Oxkintok (Ancona 2009; Andrews V 1989; Jiménez et al. 2009; Simmons 1980; Bond y Mansell 2006; Varela 1998) (Figura 7).

Periodo Clásico Tardío del Horizonte Motul- Cehpech (600 - 900 d.C.).

El siguiente periodo, el Clásico Tardío (600 – 900 dC.) se constituye de un total de 173 fragmentos (39.31%) del total de la muestra analizada. Las cerámicas diagnósticas fueron incorporadas en el horizonte Cehpech que predominó en el norte de Yucatán. Se tabularon los grupos cerámicos Ticul, Muna, Batres, Teabo, Ich Canzihó y Chuburna.

En lo que respecta, al sitio de Santa Teresa, hasta el momento de la clasificación sólo se tiene evidencia de una ocupación relacionada al periodo Clásico Tardío. Ticopó-2 y 21 de Abril también manifiestan cerámica recurrentes al periodo Clásico Tardío del horizonte Motul-Cehpech. La mayoría de los asentamientos de ocupación Cehpech muestra este repertorio generalizado.

Hasta ahora no se tiene abundancia de cerámica que sugiera ocupaciones más tardías, sólo se identificó un fragmento de olla alisada del grupo Navula de cuello bajo que tiene una pasta grisácea similar a la coloración de las pastas que han sido reportadas en el sitio de

Mayapán. Únicamente el sitio de Ticopó-2 muestra estos materiales tan tardíos (Smith 1971) (Figura 4 y 7f).

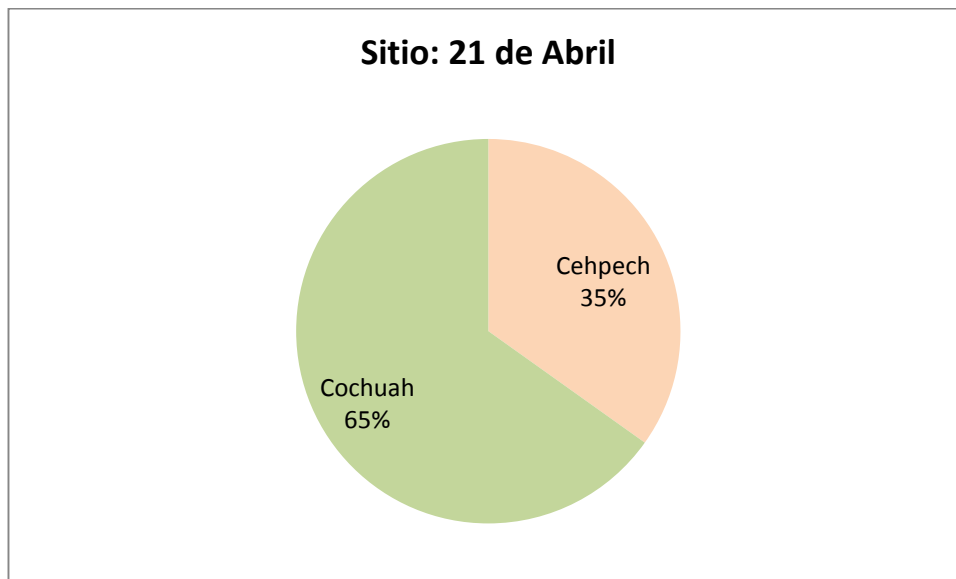


Figura 4: Complejos cerámicos del sitio 21 de Abril.

CATALOGO DE LOS GRUPOS CERÁMICOS

GRUPO CERÁMICO DZUDZUQUIL

Grupo establecido por: Andrews V 1989.

Cronología: Preclásico

Horizonte cerámico: Nabanché Temprano y Tardío.

Frecuencia en la colección: 2 tiestos de Ticopó-2 .

Descripción

Componentes de la pasta: los tiestos del grupo Dzudzuquil presentan una pasta de textura media y dureza deleznable de color café-amarillento (10YR 6/6).

Color de base y acabado de superficie: el acabado de superficie de los tiestos del grupo Dzudzuquil es alisada de manera fina, con un engobe ceroso al tacto color café oscuro (7.5YR 6/6) a marrón-amarillento oscuro. En algunos fragmentos este engobe se encuentra agrietado debido a la erosión. El engobe exterior e interior puede ser de un matiz bayo uniforme o variar de color crema a bayo con abundantes manchas de cocción de color negro o gris oscuro (es el engobe de Andrews que se conoce como de apariencia “translucida”).

Formas:

- a) Cajetes

Decoraciones:

Tipos-variedades	Cant.	Decoración	Figuras
Tipo Dzudzuquil crema a bayo Variedad: Dzudzuquil	2 tiestos de Ticopó-2	Engobe de color crema a bayo	5b

Observaciones generales.

El grupo Dzudzuquil ha sido reportado en el sitio de Komchén perteneciente al complejo cerámico Nabanché Temprano. La pasta de estos tiestos Dzudzuquil encontrados en Ticopó-2, son similares a la pasta de los tiestos del grupo Joventud, característica que ya ha sido enfatizada de manera repetida en el sitio de Komchen (Andrews V, 1989:20-31).

GRUPO CERÁMICO JOVENTUD

Grupo establecido por: Smith y Gifford 1966:158.

Cronología: Preclásico

Horizonte cerámico: Nabanche Temprano y Tardío

Frecuencia en la colección: un tiesto de Ticopó-2

Descripción

Composición de la pasta: la pasta del tiesto del grupo Joventud es frágil y de textura mediana con un desgrasante de incrustaciones medianas y pequeñas de calcita de color gris y blanco. El color de la pasta es por lo general rojo claro (2.5YR 6/8-8) o amarillento-rojizo (5YR7/6).

Color de base y acabado de superficie: el tiesto del grupo Joventud tiene un engobe color rojo (2.5YR 4/6-8) con un acabado de superficie ceroso al tacto, el cual fue aplicado sobre una superficie exterior que fue alisada de manera delicada.

Formas:

- a) Cajete

Decoraciones:

Tipos-variedades	Cant.	Decoración	Figuras
Joventud rojo: Nolo	1 tiesto de Ticopó-2	Engobe rojo ceroso	5c

Observaciones generales

El grupo Joventud y el tipo-variedad Joventud rojo: Joventud han sido establecidos por Smith y Gifford (1966: 1958) en la secuencia cerámica de Uaxactun, en tanto que se le conoce como grupo Nolo para el Norte de Yucatán (Smith (1971:22). Robert Smith (1971:22) ha mencionando que este grupo procede de las tradiciones alfareras de Uaxactun y Mayapán y se le puede situar coetáneo del complejo cerámico Mamom.

Por su parte, Andrews V (1989:11) ubicó a este grupo en Komchen dentro de la faceta temprana del complejo Nabanché Temprano de clara afiliación con la esfera cerámica Mamom de la vajilla Flores cerosa. Es probable que este grupo haya aparecido antes del 650 a. C, en el noroeste de Yucatán y fuera reemplazado de modo paulatino por el grupo Sierra, grupo de cerámicas rojas el cual posteriormente fue reemplazado de manera gradual por el grupo Xanaba durante el complejo cerámico Xculul (150 a.C.) (Andrews V, 1989:14).

GRUPO CERÁMICO SABAN

Grupo establecido por: Smith (1971:31).

Cronología: Clásico Temprano

Horizonte cerámico: Nabanche Temprano y Nabanche Tardío

Frecuencia en la colección: 3 tiestos de 21 de Abril

Descripción

Composición de la pasta: los tiestos pertenecientes a este grupo cerámico tienen una pasta de textura burda que varía del café claro (10YR 8/3) hasta el rosa (7.5YR 7/4) y muestra partículas pequeñas y grandes de color gris como desgrasante.

Color de base y acabado de superficie: Los tiestos del grupo cerámico Achiotes tiene una superficie alisada de manera burda que varía del color rosa (7.5YR 7/3) al café claro (10YR 8/3), en tanto que la superficie interior se observa porosa. En gran parte de los tiestos se observan manchas de cocción de color gris oscuro.

Formas:

- a) ollas

Decoraciones:

Tipos-variedades	Cant.	Decoración	Figuras
Tipo Chancenote estriado: variedad Chancenote	40	Estrías profundas sobre la superficie alisada.	5a

Observaciones regionales

El grupo cerámico Saban forma parte de la vajilla Xcanatún sin engobe establecida por Smith (1971,1:31) de acuerdo con el análisis cerámico de los sitios de Chichén Itzá, Mayapan y Oxkintok. Para Smith El grupo Saban es una cerámica del Preclásico propia de los asentamientos del norte de Yucatán y equivale a la llamada vajilla sin engobe del Formativo de Brainerd (1958). Para Smith (1971) el grupo Saban es una cerámica contemporánea al grupo Achiotes del sur de las tierras bajas mayas, pero específica para los asentamientos del norte de Yucatán.

GRUPO CERÁMICO SIERRA

Grupo establecido por: Smith y Gifford 1966:163

Cronología: Preclásico Tardío

Horizonte cerámico: Nabanche Tardío y Cochuah

Frecuencia en la colección: 7 tiestos de Ticopó-2

Descripción

Composición de la pasta: los tiestos del grupo cerámico Sierra muestran dos tipos de pasta. La primera y la más abundante se distingue por tener una textura mediana de color rojo (2.5YR 5/6, 5/8).

Color de base y acabado de superficie: los tiestos del grupo cerámico Sierra presentan un acabado de superficie de color rojo (10YR 4/6, 4/8) y con una sensación cerosa al tacto.

Formas:

- a) Cajete

Decoraciones:

Tipos-variedades	Cant.	Decoración	Figuras
Tipo Sierra rojo: variedad Sierra	3 tiestos de Ticopó-2	Engobe rojo guinda	5d
Tipo Laguna verde inciso: variedad Laguna	3 tiestos de Ticopó-2	Incisiones sobre engobe rojo guinda	
Tipo Altamira acanalado: variedad Altamira	1 tiesto del grupo Ticopó-2	Líneas acanaladas en sentido horizontal	5e

Observaciones regionales

Smith (1971:25) menciona que el grupo Sierra rojo se trata de una tradición alfarera perteneciente a la vajilla Paso Caballo cerosa (Waxy) procedente de Uaxactún que ha sido documentada en el complejo cerámico Chicanel del mismo sitio (800 a.C. al 100 d.C.). En tanto que para Andrews V (1989) la cerámica del grupo Sierra que pertenece al complejo cerámico Nabanché tardío en el norte de la península de Yucatán se encuentra claramente afiliada con la esfera cerámica Chicanel de Smith (1955). Por su parte Pool (1997:84) reporta en el sitio periférico Cholul a la cerámica Sierra dentro del complejo cerámico Yahalcab (1000/300 al 600 d.C.). En Xcambó este grupo es parte del complejo Xtampú (350-550 d.C.) y pertenece al horizonte cerámico Chicanel/Cochuah (Ceballos 2003:44, Ilustraciones Figuras 6, 7, 8, y 9). El grupo Sierra rojo tiene un área de distribución amplia, que abarca gran parte del área maya durante el preclásico Tardío.

GRUPO CERÁMICO POLVERO

Grupo establecido por: Smith y Gifford (1966:161)

Cronología: Preclásico

Horizonte cerámico: Nabanche Tardío y Cochuah.

Frecuencia en la colección: 3 tiestos de 21 de Abril

Descripción

Composición de la pasta: La pasta de los tiestos pertenecientes al grupo Polvero se distinguen por mostrar una textura mediana a burda. El desgrasante que contiene esta pasta es calcita observadas como pequeñas inclusiones de color gris; siendo esta pasta de mediana dureza.

Color de base y acabado de superficie: los tiestos del grupo Polvero exhiben en las paredes interiores y/o exteriores un engobe de color negro (5Y 2.5/1). El engobe se halla bien adherido a las paredes con un acabado brillante y una sensación ligeramente cerosa al tacto.

Formas:

- a) Cajetes

Decoraciones:

Tipos-variedades	Cant.	Decoración	Figuras
Tipo Polvero negro: variedad Polvero	3 tiestos de 21 de Abril	Engobe de color negro	

Observaciones generales

En el sitio de Komchén, la cerámica del grupo Polvero formo parte de la vajilla Paso Caballo cerosa del complejo cerámico Xculul y se estableció la variedad “no especificada” para señalar las características propias de la cerámica del norte de Yucatán (Andrews V. 1989 7-8). El grupo Polvero ha sido documentado en el horizonte cerámico Nabanche Tardío y Cochuah y al parecer tuvo una distribución amplia en sitios del occidente y centro de septentrión peninsular (Andrews V 1989; Ceballos 2003:83, Ilustraciones. Fig. 86,87 y 88).

GRUPO CERÁMICO XANABA

Grupo establecido por: Smith 1971:31

Cronología: Clásico Temprano

Horizonte cerámico: Cochuah en las tradiciones del norte de la península de Yucatán.

Frecuencia en la colección: 7 tiestos de 21 de Abril, 8 tiestos de Ticopó-2

Descripción

Composición de la pasta: los tiestos del grupo Xanaba muestran una pasta de color gris (5YR 6/1), de textura burda y dureza de deleznable o frágil con inclusiones de calcita de color.

Color de base y acabado de superficie: los tiestos del grupo cerámico Xanaba presentan un engobe de color rojo (10YR 5/8, 4/8, 2.5YR 4/8, 5/8). El engobe se halla mal adherido a las paredes, ya que se desprende con facilidad en forma de hojuela y presenta un acabado mate y con una sensación áspera al tacto. Son comunes las manchas de cocción de color café rojizo (2.5YR 3/4).

Formas:

- a) Cajete

Decoraciones:

Tipos-variedades	Cant.	Decoración	Figuras
Tipo Xanaba rojo: variedad Xanaba	7 tiestos de 21 de Abril, 8 tiestos de Ticopó-2	Engobe de color rojo	

Observaciones regionales

El grupo cerámico Xanaba es reportado por Smith (1971), y es parte de lo que Brainerd (1958) describe como la vajilla Roja Flaky (hojuela). Smith (1971) ubica a este grupo cerámico en el complejo Cochuah (300-600 d.C.). El grupo Xanaba ha sido reportado en sitios como Acanceh, Chichén Itzá, Mayapán y Yaxuna en Yucatán, y en Cobá y Tancah en Quintana Roo se reporta. (Smith 1971:31, Figura 25), y en Xcambó (Ceballos 2003:102, Fig. 26-28, 31). Es uno de los principales marcadores del horizonte Añejo en Oriente de Yucatán (Robles 1990), y del Horizonte Cochuah en el Occidente (Pool 1997: 85, Fig. 87). En Komchén Andrews, W., coloca dentro del complejo Xculul al grupo Xanaba, y también como parte de la Esfera cerámica

Chicanel Tardío (Andrews, V. 1989). En lo que respecta a la región de Mérida es importante mencionar que se han reportado cantidades significativas en sitios como Flor de Mayo, San Antonio Hool, la Serapio Rendón y Caucel (Ancona 2006, 2007).

GRUPO CERÁMICO OXIL

Establecido por: Varela1984:14

Cronología: Clásico Temprano

Horizonte cerámico: Cochuah occidental en el norte de la península de Yucatán.

Frecuencia en la colección: 69 tiestos de Ticopó-2 , 24 tiestos de 21 de Abril, un tiesto de la Cueva de Uci

Descripción

Composición de la pasta: los tiestos del grupo Oxil presentan una pasta mediana con inclusiones de calcita blancas y transparentes de tamaño pequeño, de dureza mediana y color amarillo rojizo (5YR 6/6). En algunas ocasiones los tiestos presentan un núcleo de reducción de color rojo amarillento (10YR 5/4).

Color de base y acabado de superficie: el acabado de superficie de este grupo cerámico se caracteriza por un alisado burdo del mismo color que la pasta. En algunos tiestos se muestran manchas de cocción de color gris.

Formas:

- a) Ollas

Decoración:

Tipos-variedades	Cant.	Decoración	Figuras
Tipo Oxil sin engobe: variedad Oxil	27 tiestos de Ticopó-2 , 6 tiestos de 21 de Abril, un tiesto de la Cueva de Uci	Alisado de manera burda	
Tipo Hulul estriado:	42 tiestos de Ticopó-2 , 18	Estrías poco profundas en el	

variedad Hulul	tiestos de 21 de Abril	cuerpo de las ollas	
----------------	------------------------	---------------------	--

Observaciones regionales

Los tiestos pertenecientes a este grupo tiene una distribución que abarca sitios como Misne II, (Ceballos y Jiménez 2000), La Catedral (Jiménez y Ceballos 2000), San Francisco, Los Ángeles III, y el Roble (Ceballos y Jiménez 2000), Sitios del distrito de Mérida y su zona periférica como Flor de Mayo, San Antonio Hool y Cautel (Ancona 2006, 2007). La cerámica del grupo Oxil se ha reportado en cantidades importantes en el complejo Xtampu (350-550 d.C.) del sitio de Xcambó (Ceballos 2003:176, figura 49).

GRUPO CERÁMICO HUNABCHÉN

Establecido por: Varela 1994: 129

Cronología: Clásico Temprano

Horizonte cerámico: Cochuah en la Península de Yucatán.

Frecuencia: 2 tiestos de 21 de Abril, un tiesto de la cueva d Uci, 4 tiestos de Ticopó-2

Descripción

Composición de la pasta: los tiestos del grupo cerámico Hunabchén presentan una pasta de textura mediana de color amarillo rojizo (5YR 6/8). La pasta exhibe abundantes partículas de calcita gris como desgrasante.

Color de base y acabado de superficie: los tiestos del grupo cerámico Hunabchén muestra en la superficie exterior un engobe de color rojo (2.5YR 5/8). Dicho engobe se halla bien adherido a las paredes con un acabado ligeramente brillante y con una sensación casi jabonosa al tacto.

Formas:

- a) Cajete

Decoración:

Tipos-variedades	Cant.	Decoración	Figuras
------------------	-------	------------	---------

Tipo naranja: Hunabchén	Hunabchén variedad	2 tiestos de 21 de Abril, un tiesto de la cueva d Uci, 4 tiestos de Ticopó-2	Engobe de color rojo	7d
-------------------------------	-----------------------	---	----------------------	----

Observaciones regionales

El grupo cerámico Hunabchén fue establecido por Varela (1994:129), sin embargo, es importante mencionar que el tipo Hunabchén rojo fue reportado por Simmons (1980) como parte del grupo cerámico Maxcanú. El material reportado en Dzibilchaltún por Simmons (1980) es escaso, en tanto que en la región occidental del estado de Yucatán la presencia del tipo Hunabchén es abundante. Los sitios con abundante cerámica Hunabchén además de Oxkintok son Chunchucmil y Sihó (Jiménez 2007, Varela 1998).

GRUPO CERÁMICO MAXCANU

Establecido por: Smith 1971: 32

Cronología: Clásico Temprano

Horizonte cerámico: Cochuah, Motul y Cehpech en el norte de la península de Yucatán

Frecuencia en la colección: 22 tiestos de Ticopó-2 , un tiesto de 21 de Abril, 2 tiestos de Santa Teresa

Descripción

Composición de la pasta: los tiestos del grupo Maxcanu presentan una pasta de textura mediana, de color amarillo cafetoso (10YR 6/6) y que en ocasiones tiene un núcleo de reducción de color amarillo rojizo (7.5YR 6/6). La pasta muestra abundantes partículas de calcita de tamaño mediano y de color gris y blanco como desgrasante.

Color de base y acabado de superficie: los tiestos del grupo Maxcanu exhiben un acabado de superficie de color café claro (7.5Y 5/4) o café-amarillo pálido (10YR 6/4)4/8) con una acabado mate o ligeramente brillante y con una sensación ligeramente jabonosa al tacto.

Formas:

- a) Olla
- b) Cajete
- c) Cazuela

Decoraciones:

Tipos-variedades	Cant.	Decoración	Figuras
Tipo Maxcanu bayo: variedad Maxcanu	21 tiestos de Ticopó-2 , un tiesto de 21 de Abril	Engobe de color bayo	6a
Tipo Tiznuk compuesto: variedad Tiznuk	Un tiesto de Ticopó-2	Cazuelas con reborde labial y sin engobe y estrías en el exterior	7b
Tipo Maxcanu bayo: variedad Conkal	2 tiestos de Santa Teresa	Ollas de paredes delgadas y con el cuello corto	

Observaciones regionales

Smith (1971:32 figura 11a) reportó que los tiestos del grupo Maxcanu del complejo Cochuah (300 al 600 d.C.) provienen de Holactun, Maxcanu y Mayapán en el estado de Yucatán. El área de distribución del grupo Maxcanu bayo comprende el Norte y el Occidente de la Península de Yucatán, así como también el sitio de Xcambó dentro del complejo cerámico Xcambó, (550-700 d.C.) (Jiménez 2002:148. figura 45 a-k). La cerámica del grupo Maxcanu es abundante en los sitios del occidente del estado de Yucatán (Ancona 2009).

MISCELÁNEA DEL COMPLEJO CERÁMICO COCHUAH DEL PERIODO CLÁSICO TEMPRANO

Grupo cerámico: Tipikal

Tipo Tipikal rojo sobre estriado: **variedad** Tipikal

Un tiesto del grupo cerámico Tipikal que pertenece a la forma de olla muestra una decoración de estrías finas cubiertas con una capa de engobe de color rojo. Este tiesto fue encontrado en el sitio 21 de Abril.

Grupo cerámico: Timucuy**Tipo** Timucuy naranja policromo: **variedad** Timucuy

En las colecciones del sitio 21 de Abril se encontró un fragmento del tipo Timucuy naranja policromo. El tiesto se encuentra en mal estado de conservación.

Grupo cerámico: Shangurro**Tipo** Shangurro rojo sobre naranja: **variedad** Shangurro

Un tiesto del sitio 21 de Abril fue clasificado como parte del grupo Shangurro y corresponde a la forma de cajete.

Grupo cerámico: Huachinango**Tipo** Huachinango bicromo inciso: **variedad** Huachinango

Un fragmentos del grupo cerámico Huachinango fue hallados en el sitio Ticopó-2 . La cerámica Huachinango probablemente es originaria de la porción oriental de la península de Yucatán.

Grupo cerámico: Chencoh**Tipo** Chencoh naranja delgado: **variedad** Chencoh

Un tiesto del tipo Chencoh naranja delgada se encontró en el sitio de 21 Abril. Este fragmento posiblemente corresponde a la forma de cajete.

Grupo cerámico: Chencoh**Tipo** Mena inciso: **variedad** Mena

En el sitio de Ticopó-2 se encontró un tiesto del tipo Mena inciso que posiblemente corresponde a la forma de cajete.

GRUPO CERÁMICO CHUBURNA**Establecido por:** Smith 1971:31**Cronología:** Clásico Tardío**Horizonte cerámico:** Motul y Cehpech de la península de Yucatán.**Frecuencia:** 8 tiestos de 21 de Abril, 9 tiestos de Ticopó-2 , un tiesto de Santa Teresa

Descripción

Composición de la pasta: los tiestos del grupo cerámico presentan una pasta de textura mediana o frágil de color café pálido (10YR 8/3), gris claro (10YR 7/2) o blanco (10YR 8/2). Los tiestos de este grupo presentan abundantes partículas de calcita gris y blanca como desgrasante y en algunas ocasiones un núcleo de color gris oscuro.

Color de base y acabado de superficie: los tiestos del grupo Chuburna exhiben en la superficie exterior y/o interior un engobe de aspecto abigarrado de color café pálido (10YR 7/4), amarillo rojizo (5YR 6/6, 6/8), amarillo (10YR 7/6) o negro (5YR 2.5/1). Posiblemente el engobe no uniforme se debe a las condiciones de la cocción de dicha cerámica. El engobe tiene un acabado mate o ligeramente pulido con una sensación poco cerosa al tacto y se halla mal o medianamente adherido a las paredes, ya que se desprende con facilidad en forma de hojuela. Son abundantes las manchas de cocción de color café rojizo oscuro (5YR 3/3).

Formas:

- a) Olla
- b) Cazuela

Decoración:

Tipos-variedades	Cant.	Decoración	Figuras
Tipo Chuburna café: variedad Chuburna	7 tiestos de 21 de Abril, 9 tiestos de Ticopó-2 , un tiesto de Santa Teresa	Engobe café abigarrado	5f
Tipo Tekal compuesto: variedad Tekal	Un tiesto de 21 de Abril	Decoración impresa y áreas desprovistas de engobe con un estriado fino	7a

Observaciones regionales

El grupo cerámico Chuburna es reportado en Chichén Itzá, Dzibilchaltún y Mayapán dentro de la vajilla “Yucatán grasosa” y pertenece al complejo cerámico Cochuah 300-600 d.C. (Smith 1971:31, fig. 25 bb, 60 a). Esta cerámica es propia de los sitios del noreste de la Península de Yucatán y del distrito de Mérida (colonias Salvador Alvarado Oriente, Serapio Rendón, San Antonio Hool, Cautel y Flor de Mayo) y forma parte del Horizonte cerámico Cehpech de la península de Yucatán (Ancona 2005, 2006, 2007 Ceballos 2004, Dzul 2001, Jiménez 2002, Quiñónez 2003, Simmons 1980, Smith 1971, Pool 1997). En el sitio Periférico Cholul el grupo Chuburna aparece asociado con cerámica temprana y tardía lo que sugiere una presencia continua de este grupo durante el Clásico Temprano hasta el Clásico Tardío (Pool 1997:110-111. fig. 11 y 12).

GRUPO CERÁMICO MUNA

Establecido por: Smith 1971:28

Cronología: Clásico Tardío

Horizonte Cerámico: Cehpech en el Norte de la península de Yucatán y la región Puuc.

Frecuencia: 25 tiestos de Santa Teresa, 30 tiestos de Ticopó-2

Descripción

Composición de la pasta: los tiestos del grupo cerámico Muna presentan una pasta de textura mediana y compacta de color rojo (2.5YR 4/8) o amarillo pálido (10YR 6/4).

Color de base y acabado de superficie: los tiestos del grupo cerámico Muna exhiben un engobe de color café pálido (10YR 7/3, 7/4). Dicho engobe se halla bien adherido a las paredes con un acabado mate o pulido y una sensación jabonosa al tacto.

Formas:

- a) Olla
- b) Cazuela
- c) Cajete

Decoración:

Tipos-variedades	Cant.	Decoración	Figura
Tipo Muna pizarra: variedad Muna	25 tiestos de Santa Teresa, 30 tiestos de Ticopó-2	Engobe de color café pálido o crema	6c; 7c

Observaciones regionales

El grupo cerámico Muna es reportado por Smith (1971:27) como parte de la vajilla Pizarra Puuc y fechado en el complejo cerámico Cehpech (800-1000 a.C.) Smith (1971) reporta la presencia de la cerámica Muna en sitios como Aké, Chichén Itzá, Dzibiac, Dzibilchaltún, Hunacti, Kabah, Labna, Mayapán, Miraflores, Mulchic, Oxkutzcab, Sayil, Soblonke, Tecoh, Tihoo, Ucu, Uxmal, Uaxactun, Xumil y Yaxuna en el estado de Yucatán. También se ha reportado ejemplares en Campeche en sitios como Edzná, Uaymil, Jaina, Santa Rosa Xtampak, Tohkok, and Xpuhil y en el estado de Quintana Roo (Smith 1971:27). En el norte de Yucatán se tiene evidencia de la presencia abundante de la cerámica Muna en sitios como Xcambó, Dzibilchaltún, ciudad de Mérida y zonas aledañas (colonias Serapio Rendón, Salvador Alvarado, San Antonio Hool, Flor de Mayo y Caucel (Ancona 2005, 2006, 2007 Ceballos 2004, Brainerd 1958, Jiménez 2002, Simmons 1980, Smith 1971).

GRUPO CERÁMICO TEABO

Establecido por: Smith 1971:27

Cronología: Clásico Tardío

Horizonte cerámico: Cehpech en el Norte de la península de Yucatán.

Frecuencia: 13 tiestos de Ticopó-2 , 9 tiestos de Santa Teresa

Descripción

Composición de la pasta: los tiestos del grupo Teabo presentan una pasta de de color rojo (10R5/8, 10R4/6) y de textura mediana con inclusiones pequeñas y grandes de calcita como desgrasante.

Color de base y acabado de superficie: los tiestos del grupo cerámico Teabo muestran en la superficie un engobe uniforme de color rojo (2.5YR 4/8; 10R 4/8) aunque en algunas ocasiones muestran manchas de de cocción de color gris rojizo (2.5YR 3/1). Dicho engobe se halla bien

adherido a las paredes y por lo general tiene un acabado ligeramente lustroso que produce una sensación “jabonosa” al tacto.

Formas:

- a) Cajete
- b) Cuenco

Decoración

Tipos-variedades	Cant.	Decoración	Figuras
Tipo Teabo rojo: variedad Teabo	13 tiestos de Ticopó-2 , 9 tiestos de Santa Teresa	Engobe de color rojo	6d

Observaciones regionales:

El grupo cerámico Teabo es reportado por Smith (1971:27) dentro de la vajilla Puuc Rojo con un área de distribución y consumo similar a la cerámica del grupo Muna. La cerámica Puuc Rojo es fechada el complejo cerámico Cehpech (800-1000 a.C.) y materiales similares se han reportado en sitios de la región de Puuc como Uxmal, Lamná, Kabah, y en otros sitios del estado de Yucatán como Izamal, Oxkintok, Xcambó, Dzibilchaltún y en las colonia Salvador Alvarado Oriente, Serapio Rendón San Antonio Hool, Flor de Mayo y Cuzel en la ciudad de Mérida. También se han reportado fragmentos en sitios de Campeche como Uaymil, Jaina, Edzná entre otros (Ancona 2005, 2006, 2007, Brainerd 1958, Ceballos 2004, Dzul 2001, Jiménez 2002, Jiménez 2004, Quiñones 2003, Simmons 1980, Smith 1971, Varela 1998).

GRUPO CERÁMICO ICH CANZIHO

Establecido por: Jiménez 2002:76

Cronología: Clásico Tardío

Horizonte cerámico: Motul y Cehpech del Norte de Yucatán

Frecuencia: 5 tiestos de Ticopó-2 , 10 tiestos del 21 de Abril, 53 tiestos de Santa Teresa

Descripción

Composición de la pasta: los tiestos del grupo cerámico Ich canzihó presentan una pasta de color amarillo rojizo (5YR 7/6), de textura burda con inclusiones pequeñas de calcita como desgrasante. La dureza de esta cerámica varía de mediana a compacta.

Color de base y acabado de superficie: los tiestos del grupo cerámico Ich canziho tienen en el exterior e interior una superficie alisada de manera burda, con un recubrimiento arcilloso mate y del mismo color de la pasta, lo que ocasiona una sensación “rasposa” al tacto.

Formas:

a) Ollas

Decoración

Tipos-variedades	Cant.	Decoración	Figuras
Tipo Ich Canzihó estriado: variedad Ich Canzihó	5 tiestos de Ticopó-2 , 10 tiestos del 21 de Abril, 53 tiestos de Santa Teresa	Estrías en el cuerpo de las ollas	6e; 7f

Observaciones regionales

Materiales similares al grupo cerámico Ich Canziho de San Pedro Cholul han sido reportados en Dzibilchaltún dentro de la “Vajilla Puuc sin engobe” y fechados para los periodos Clásico Temprano y Clásico Tardío (Simmons 1980). En lo que respecta a la región de Mérida se tienen reportes de esta cerámica en el sitio el Vergel II, donde es clasificada como cerámica doméstica y en el sitio Periférico Cholul se establece como un grupo “No designado” (Pool 1997:96, Fig. 7). Posteriormente en el sitio costero de Xcambó se establece el grupo cerámico Ich Canzihó para referirse al grupo cerámico “No designado” reportado en el sitio Periférico Cholul. En Xcambó el grupo Ich Canzihó pertenece al complejo cerámico Xcambó (550-700 d.C.) y se circunscribe en el Horizonte cerámico Cehpech del Norte de Yucatán (Jiménez 2002:76, Fig. 22 k-l). La mayoría de la cerámica burda del proyecto PASUC corresponde al grupo Ich Canziho.

MISCELÁNEA DE LOS HORIZONTES CERÁMICOS MOTUL Y CEHPECH DEL PERIODO CLÁSICO TARDÍO

Grupo cerámico: Ticul

Tipo Ticul pizarra delgada: **variedad** Ticul

Un tiesto posiblemente de cajete en mal estado de conservación fue clasificado como parte del grupo Ticul. El tiesto proviene del sitio de Ticopó-2 .

Grupo cerámico: Arena

Tipo Arena rojo: **variedad** Arena

Un fragmento que pertenece a la forma de cajete muestra en las paredes exteriores una decoración de engobe de color rojo.

Grupo cerámico: K'ínich

Tipo K'ínich naranja: **variedad** K'ínich

Un tiesto del grupo cerámico K'ínich en forma posiblemente de cuenco muestra una decoración de engobe de color naranja.

Grupo cerámico: Batres

Tipo Chichimila pintura chorreada: **variedad** Chichimila

4 fragmentos del grupo cerámico Batres muestran una decoración de pintura chorreada sobre el engobe de color rojo (figura 6b).

MISCELÁNEA DEL POSCLÁSICO

Grupo cerámico: Navula

Tipo Navula sin engobe: **variedad** Navula

Un fragmento que pertenece a la forma de olla muestra una decoración alisada (Figura 7e).

Tabla A1

Ticopó-2							
ANÁLISIS CERÁMICO							
Cronología	Horizonte cerámico	Grupo	Tipo	Variedad	OP. 3	OP. 4	Total
Posclásico	Tases	Navula	Navula sin engobe	Navula		1	1
Clásico Tardío 600-900 d.C.	Cehpech	Ich Canzihó	Ich Canzihó estriado	Ich Canzihó		5	5
		Ticul	Ticul pizarra delgada	Ticul		1	1
		Teabo	Teabo rojo	Teabo		13	13
		Muna	Muna pizarra	Muna		30	30
		Arena	Arena rojo	Arena	1		1
		Kinich	Kinich naranja	Kinich		1	1
		Chuburna	Chuburna café	Chuburna		9	9
Clásico Temprano 250-600 d.C.	Cochuah	Chencoh	Mena inciso	Mena	1		1
		Hunabchen	Hunabchen rojo	Hunabchen	4		4
		Maxcanu	Maxcanu bayo	Maxcanu	16	5	21
			Tiznuk compuesto	Tiznuk	1		1
		Oxil	Oxil sin engobe	Oxil	21	6	27
			Hulul estriado	Hulul	20	22	42
		Huachinango	Huachinango bicromo inciso	Huachinango	1		1
Xanaba	Xanaba rojo	Xanaba	8		8		
Preclásico 400 a.C.-250 d.C.	Tihosuco	Sierra	Sierra rojo	No especificada	1		1
			Altamira acanalado	No especificada	3		3
		Laguna verde	Laguna verde	3		3	
		Joventud	Joventud rojo	Nolo		1	1
		Dzudzuquil	Dzudzuquil crema a bayo	Dzudzuquil	2		2
Total						1176	

Erosionados	54
-------------	----

Tabla A2

SANTA TERESA ANÁLISIS CERÁMICO							
Cronología	Horizonte cerámico	Grupo	Tipo	Variedad	OP .1	OP .4	Total
Clásico Tardío 600-900 d.C.	<i>Cehpech</i>	Teabo	Teabo rojo	Teabo	5	4	9
		Ich Canzihó (Chum)	Ich Canzihó estriado (Yokat)	Ich Canzihó (Yokat)	21	32	53
		Muna	Muna pizarra	Muna	4	21	25
		Maxcanu	Maxcanu bayo	Conkal	1	1	2
		Chuburna	Chuburna café	Chuburna	1		1
Total							90

Erosionados	28
-------------	----

Tabla A3

21 de Abril/Jacinto ANÁLISIS CERÁMICO							
Cronología	Horizonte cerámico	Grupo	Tipo	OP. 1	OP. 5	OP. 6	TOTAL
Clásico Tardío 600-900 d.C.	<i>Cehpech</i>	Ich Canzihó	Ich Canzihó estriado		10		10
		Maxcanu	Maxcanu bayo		1		1
		Chuburna	Chuburna café		7		7
			Tekal compuesto		1		1
		Batres	Chichimila pintura chorreada		4		4
Clásico Temprano 250-600 d.C.	<i>Cochuah</i>	Chencoh	Chencoh naranja delgado		1		1
		Hunabchen	Hunabchen rojo		2		2
		Oxil	Oxil sin engobe		6		6
			Hulul estriado		17	1	18
		Timucuy	Timucuy naranja policromo		1		1
		Shangurro	Shanguro rojo sobre naranja		1		1
		Xanaba	Xanaba rojo	5	2		7
		Tipikal	TipiKal rojo sobre estriado	1			1
		Polvero	Polvero negro	1	2		3
Saban	Chancenote estriado		3		3		
Total							66



Figura 5a.- Chancenote estriado: Chancenote.

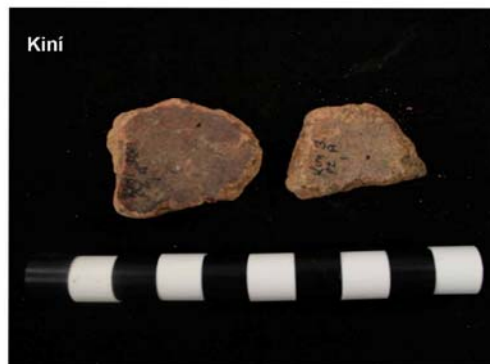


Figura 5b.- Dzudzuquil crema a bayo: Dzudzuquil



Figura 5c.- Joventud rojo: Nolo



Figura 5d.- Sierra rojo: no especificada

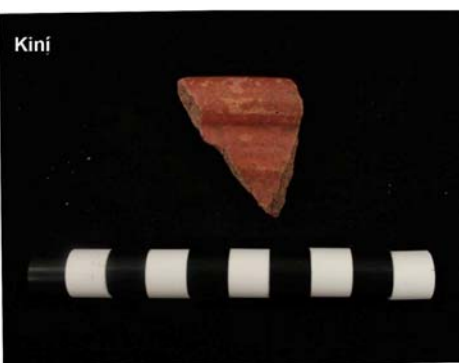


Figura 5e.- Altamira acanalado: no especificada.



Figura 5f.- Chuburna café: Chuburná



Figura 6a. Maxcanu bayo: Maxcanu



Figura 6b. Chichimila pintura chorreada



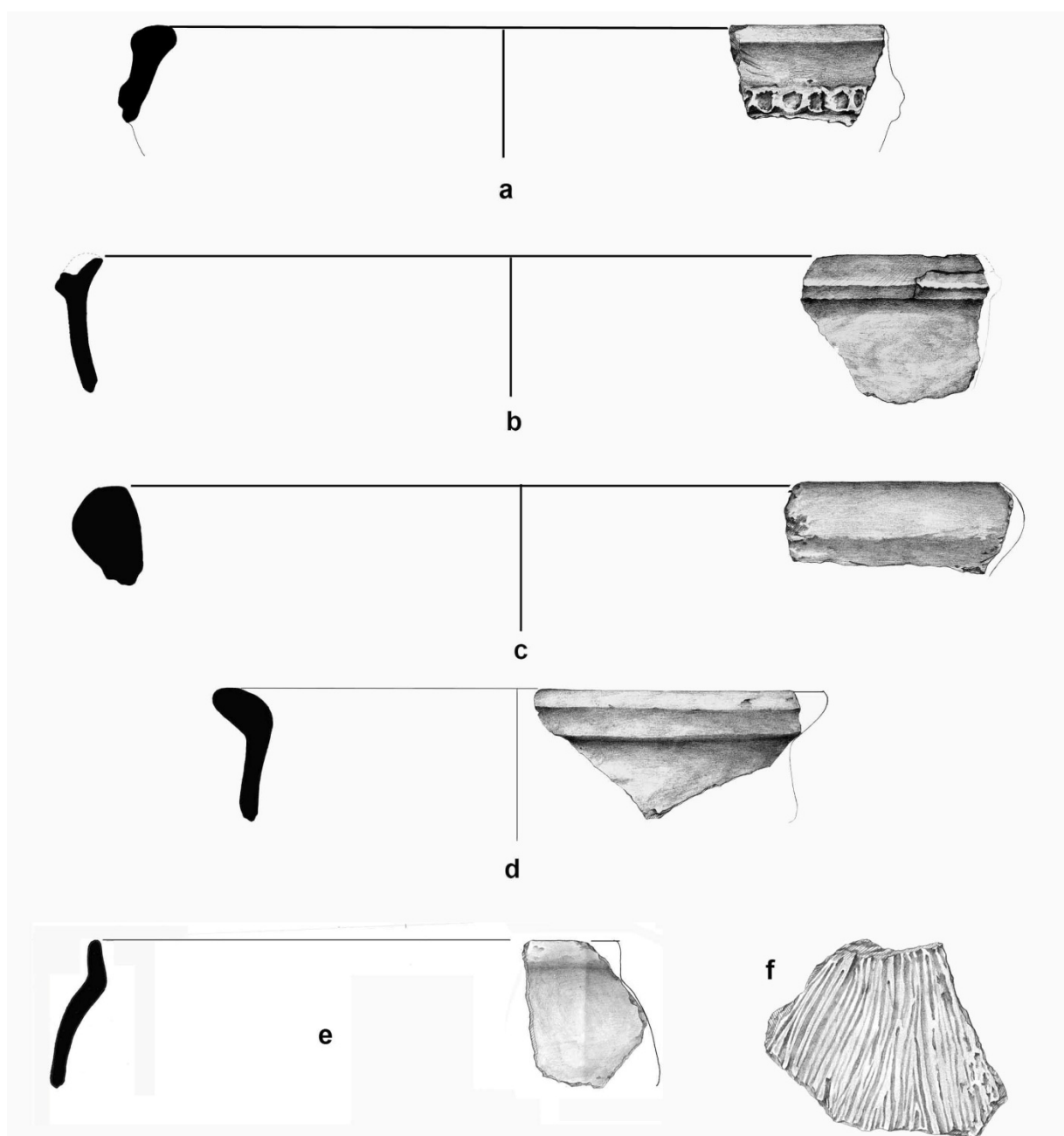
Figura 6c. Muna pizarra: Muna



Figura 6d. Teabo rojo: Teabo



Figura 6e. Ich Canzihó estriado: Ich Canzihó



ESCALA 40%

Figura 7.- frag. de cazuela de Tekal compuesto, sitio 21 de abril (a); frag. de cazuela Tiznuk compuesto; sitio Kiní (b); frag. de cazuela Muna pizarra, sitio Santa Teresa (c); frag. de borde de olla Hunabchen compuesto, sitio Ucí - cueva (d); frag. olla Navula sin engobe (e); frag. de cuerpo de olla IchCanziho estriado sitio Santa Teresa (f).

Figura 8: Muna Pizarra, del sitio Ticopo-2, Operación 4, pozo A, capa 2



Figura 9: Batres Rojo, del sitio Ticopo-2, Operación 4, pozo A, capa 2



Figura 10: Muna Pizarra, del sitio Ticopo-2, Operación 4, pozo B, capa 1



Apéndice B: Artefactos no cerámicos

Sitio	contexto	artefacto	peso (g)	largura (cm)	anchura (cm)	grosor (cm)
21 de abril	6.a.1	columnella de concha	32	8.265	2.058	na
21 de abril	5.b.2	fragmento de bivalvo	2	2.937	2.421	0.217
Sta teresa	1.g.1	fragmento de adorno de concha	1	2.167	1.98	0.16
Sta teresa	1.g.1	concha con hueco	< 1	1.788	1.698	0.081
Sta teresa	4.a.1	fragmento de concha, univalvo	13	3.28	3.27	na
Sta teresa	4.a.1	fragmento de concha, bivalvo	2	2.92	2.541	0.236
Ticopo-2	4.a.1	punta de flecha	2	2.11	1.604	0.526
Ticopo-2	4.b.2	fragmento de navaja prismática	< 1	1.481	1.142	0.214
Ticopo-2	3.c.1	fragmento de navaja prismática	2	3.514	1.147	0.284
Ticopo-2	3.c.1	fragmento de navaja prismática	< 1	1.931	0.638	0.211

Bibliografía

- Alexander, R.
1999 Mesoamerican Houselots and Archaeological Site Structure: Problems of Inference in Yaxcaba, Yucatan: Mexico, 1750-1847. In *The Archaeology of Household Activities*, edited by P. Allison, pp. 87-100. Routledge, London.
- Ancona Aragón Iliana
2005 *Análisis cerámico del Salvamento Arqueológico Ciudad Caucel Fase I*. Reporte técnico dirigido al Arqlgo. responsable Luis Pantoja Díaz. Centro INAH Yucatán.
- 2006 *Análisis cerámico del Salvamento Arqueológico del sitio “Los Álamos” de San Antonio Hool, Mérida, Yucatán*. Reporte técnico dirigido a la Arqlga. responsable Concepción Hernández. Centro INAH Yucatán.
- 2007 *Análisis cerámico del Salvamento Arqueológico del sitio “Flor de Mayo”, Mérida, Yucatán*. Reporte técnico dirigido a la Arqlga. responsable Concepción Hernández. Centro INAH Yucatán.
- 2009 *Informe del análisis cerámico del Salvamento Arqueológico de la carretera San Mateo-Chunchucmil, Yucatán*. Informe técnico del Centro INAH Yucatán.
- Ancona Aragón, Iliana y Socorro Jiménez Alvarez
2010 *Informe del análisis cerámico del sitio “Flor de Mayo”, Mérida, Yucatán (materiales de las temporadas de campo 2007,2008 y 2009)*. Mecanuscrito Archivo del Centro INAH-Yucatán. Archivo del Centro INAH-Yucatán.
- Andrews V. E. Wyllis
1989 *The Ceramics of Komchen, Yucatán*. Middle American Research Institute, Tulane University.
- Arnold, P. I.
1990 The Organization of Refuse Disposal and Ceramic Production within Contemporary Mexican Houselots. *American Anthropologist* 92:915-932.
- Ball, J. and R. Kelsay
1992 Prehistoric Intrasettlement Land Use and Residual Soil Phosphate Levels in the Upper Belize Valley, Central America. In *Gardens of Prehistory*, edited by T. Killion, pp. 234-262. University of Alabama Press, Tuscaloosa.
- Bond Tara y Eugenia Brown Mansell
2006 *Análisis cerámico preliminar del programa Economía Regional de Pakbeh*. En *Los Mayas de Ayer y Hoy. Memorias del Primer Congreso*

Internacional de Cultura Maya, Alfredo Barrera Rubio y Ruth Gubler editores, Tomo I:584-616, Gobierno del Estado de Yucatán, CONACULTA, Instituto Nacional de Antropología e Historia, Universidad Autónoma de Yucatán, Mérida.

Brainerd, George W.

1958 The Archaeological Ceramics of Yucatán. En *Antropological Records*, Vol 19. University of California, Berkeley, California.

Ceballos Gallareta Teresa

2003 *La cronología cerámica del Puerto maya de Xcambo, costa norte de Yucatán: complejo cerámico Xtampu*. Tesis profesional de la Facultad de Ciencias Antropológicas de la Universidad Autónoma de Yucatán. Mérida, Yucatán, México.

2004 *Análisis cerámico del Salvamento Arqueológico del sitio 16Qd (7) 152 Fraccionamiento "Villa Magna del sur" en la colonia Serapio Rendón del municipio de Mérida, temporada 2004*. Reporte técnico dirigido a la Arqlga. responsable Concepción Hernández. Centro INAH Yucatán.

Deal, M.

1985 Household Pottery Disposal in the Maya Highlands: An Ethnoarchaeological Interpretation. *Journal of Anthropological Archaeology* 4:243-291.

Dietler, M. and B. Hayden (editors)

2001 *Feasts: Archaeological and Ethnographic Perspectives on Food, Politics, and Power*. Smithsonian Institution Press, Washington, D. C.

Dzul Góngora Sara

2001 *Salvamento arqueológico en la colonia "Salvador Alvarado Oriente de Mérida"*. Tesis profesional de la Facultad de Ciencias Antropológicas de la Universidad Autónoma de Yucatán. Mérida, Yucatán, México.

Flannery, K. V. (editor)

1976 *The Early Mesoamerican Village*. Academic Press, New York.

Fox, J.

1996 Playing with Power: Ballcourts and Political Ritual in Southern Mesoamerica. *Current Anthropology* 37:483-509.

Garza Tarazona de Gonzalez, S. and E. B. Kurjack

1980 *Atlas Arqueológico del Estado de Yucatan*. INAH, Mexico City.

Gifford, J. C.

1960 The Type-Variety Method of Ceramic Classification as an Indicator of Cultural Phenomena. *American Antiquity* 25:341-347.

- Hayden, B. D. and A. Cannon
1983 Where the Garbage Goes: Refuse Disposal in the Maya Highlands.
 Journal of Anthropological Archaeology 2:117-163.
- Hutson, S. R.
2004 *Dwelling and Subjectification at the Ancient Urban Center of Chunchucmil, Yucatan, Mexico*. Doctoral Thesis, Department of Anthropology, University of California, Berkeley.
- 2010 *Proyecto Arqueológico Sacbe de Ucí-Cansahcab: Informe de la temporada de campo 2009*, Report submitted to the Consejo de Arqueología, INAH, Mexico.
- Hutson, S. R. and T. W. Stanton
2006 Patrones de Acumulacion de desechos en una unidad habitacional prehispanica de Chunchucmil, Yucatan. In *Los Mayas de Ayer y Hoy: Memorias del Primer Congreso Internacional de Cultura Maya, volume 1*, editado por A. Barrera Rubio and R. Gubler, pp. 73-88. Solar Servicios Editoriales, Merida, Yucatan, Mexico.
- Hutson, S. R., T. W. Stanton, A. Magnoni, R. E. Terry and J. Craner
2007 Beyond the Buildings: Formation Processes of Ancient Maya Houselots and Methods for the Study of Non-architectural Space *Journal of Anthropological Archaeology* 26:442-473.
- Jiménez Álvarez Socorro
2002 *La cronología cerámica del Puerto maya de Xcambo, costa norte de Yucatán: complejo cerámico Xcambo y complejo cerámico Cayalac*. Tesis profesional de la Facultad de Ciencias Antropológicas de la Universidad Autónoma de Yucatán. Mérida, Yucatán, México.
- 2007 *Sihó: una unidad política del occidente de Yucatán*. Tesis de maestría de la Facultad de Ciencias Antropológicas de la Universidad Autónoma de Yucatán. Mérida, Yucatán.
- Jiménez Socorro y Teresa Ceballos Gallareta
2000 *Informe de las cerámicas recuperadas durante los trabajos de Salvamento Arqueológico Misne II*. Reporte técnico dirigido al Arqlgo. Agustín Peña Castillo, responsable de este Rescate. Mecanuscrito del Archivo de la Sección de Arqueología Centro INAH Yucatán.
- Jiménez Socorro, Iliana Ancona y Dulce Góngora
2000 *Análisis cerámico del Salvamento Arqueológico San Pedro Cholul*. Reporte técnico dirigido al Arqlgo. responsable Luis Pantoja Díaz. Centro INAH Yucatán.

- Killion, T. W.
1992 Residential Ethnoarchaeology and Ancient Site Structure: Contemporary Farming and Prehistoric Settlement Agriculture at Maticapan, Veracruz, Mexico. In *Gardens of Prehistory: The Archaeology of Settlement Agriculture in Greater Mesoamerica*, edited by T. W. Killion, pp. 119-149. University of Alabama Press., Tuscaloosa.
- Kruger, R.
2000 Some Proposals on the Organization of a Rural Olmec Household. Paper presented at the 65th annual Meetings of the Society for American Archaeology, Philadelphia.
- LeCount, L.
2001 Like Water for Chocolate: Feasting and Political Ritual among the Late Classic Maya at Xunantunich, Belize. *American Anthropologist* 103(4):935-953.
- Lightfoot, K.
1986 Regional Surveys in the Eastern United States: The Strengths and Weaknesses of Implementing Subsurface Testing Programs. *American Antiquity* 51(3):484-504.
- Lohse, J. C., K. L. Sagebiel and J. P. Baron
en prensa The Ballgame, Community Ceremony, and Political Development in Northwestern Belize. In *Classic Maya Political Ecology: Resource Management, Class Histories, and Political Change in Northwestern Belize*, edited by J. C. Lohse.
- Maldonado Cárdenas, R.
1982 *Informe del Trabajo de Campo Programado por el Proyecto Aké para la Temporada de 1981*. Manuscrito en la Biblioteca del Centro Regional INAH Yucatán.
- 1984 *Informe de Trabajo de Campo Realizado por el Proyecto Aké durante La Temporada 1983-1984*. Manuscrito en la Biblioteca del Centro Regional INAH Yucatán.
- Manzanilla, L. (editor)
1987 *Coba, Quintana Roo: Analisis de Dos Unidades Habitacionales Mayas*. Universidad Nacional Autonoma de Mexico, Mexico City.
- Manzanilla, L. and L. Barba
1990 The Study of Activities in Classic Households: Two Case Studies from Coba and Teotihuacan. *Ancient Mesoamerica* 1:41-49.

- McManamon, F. P.
1984 Discovering Sites Unseen. *Advances in Archaeological Method and Theory* 7:223-292.
- Nance, J. D. and B. F. Ball
1986 No Surprises? The Reliability and Validity of Test Pit Sampling. *American Antiquity* 51(3):457-483.
- Nereida, Quiñones Loria
2001 La cerámica de T'hó en el centro Histórico. Ichcancihó "Los nacidos de la serpiente" No. 8: 8-9.
- Pool, C. A. and M. Ohnersorgen
2003 Archaeological Survey and Settlement at Tres Zapotes. In *Settlement Archaeology and Political Economy at Tres Zapotes, Veracruz, Mexico*, editado por C. A. Pool, pp. 7-30. Cotsen Institute, Los Angeles.
- Pool Cab Marcos Noe
1997 *Crecimiento de una unidad domestica*. Tesis profesional de la Facultad de Ciencias Antropológicas de la Universidad Autónoma de Yucatán. Mérida, Yucatán, México.
- Quiñones, Lucía
2003 *Del preclásico medio al clásico temprano. Una propuesta de fechamiento para el área nuclear de Izamal, Yucatán*. Tesis profesional de la Facultad de Ciencias Antropológicas de la Universidad Autónoma de Yucatán. Mérida, Yucatán, México.
- Robin, C.
2002 Outside of Houses: The Practices of Everyday Life at Chan Nòohol, Belize. *Journal of Social Archaeology* 2(2):245-267.
- Robles, Castellanos Fernando
1990 *La secuencia cerámica de la región de Coba, Quintana Roo*, colección científica No. 184, I.N.A.H, México.
- Rovner, I. and S. M. Lewenstein
1997 *Maya Stone Tools of Dzibilchaltun, Yucatan, and Becán and Chicanná, Campeche*. Middle American Research Institutem poulication No. 65. Tulane University, New Orleans.
- Schiffer, M. B.
1976 *Behavioral Archaeology*. Academic Press, New York.
- Simmons, Michael.

- 1980 *The Archaeological ceramics of Dzibilchaltún, Yucatan, México. The ceramic Typology. Catálogo inédito.*
- Smith, J. G., W. M. Ringle and T. Bond-Freeman
1998 Recent Research at Ichnul de Morley, Yucatan, Mexico, and Its Implications for Northern Lowland Maya Archaeology. In *63rd Annual Meetings of the Society for American Archaeology, Seattle.*
- Smith, Robert
1971 *The pottery of Mayapan: including studies of ceramic material from Uxmal, Kabah and Chichén Itza, 2 vols, papers of the Peabody Museum of Archaeology and Ethnology, Harvard University, Vol. 66, Cambridge.*
- Smith, Robert and James C. Gifford
1966 *Maya Ceramics Varieties, Types and Wares at Uaxactun. Supplement to Ceramic Sequence at Uaxactun, Guatemala. Middle American Research Institute, Publication No. 24, Tulane University, New Orleans, L.A.*
- Smith, R. E., G. R. Willey and J. C. Gifford
1960 The Type-Variety Concept as a basis for the Analysis of Maya Pottery. *American Antiquity* 25:330-340.
- Varela Torrecilla, Carmen
1998 *El Clásico Medio en el Noroccidente de Yucatán. La fase Oxkintok Regional en Oxkintok (Yucatán) como paradigma. BAR Internacional Series 739.*
- Webster, D., N. Gonlin and P. Sheets
1997 Copan and Cerén: Two Perspectives on Ancient Mesoamerican Households. *Ancient Mesoamerica* 8:43-61.
- Wells, E. C.
2004 Investigating Activity Patterns in Prehispanic Plazas: Weak Acid Extraction ICP-AES Analysis of Anthrosols at Classic Period El Coyote, Northwestern Honduras. *Archaeometry* 46(1):67-84.
- Willey, Gordon, Patrick Culbert y Richard Adams
1967 Maya Lowland Ceramics: A Report from the 1965 Guatemala City Conference. En *American Antiquity*, Vol. 25, no. 3, pp. 289-325.
- Wobst, H. M.
1983 We Can't See the Forest for the Trees: Sampling and the Shapes of Archaeological Distributions. In *Archaeological Hammers and Theories*, edited by J. Moore and A. Keene, pp. 37-85. Academic Press, New York.